

動力炉・核燃料開発事業団

1979年10月

PT-11 热出力較正

高速実験炉「常陽」性能試験報告書

複製又はこの資料の入手については、下記にお問い合わせ下さい。

〒311-13 群馬県東吾妻郡大洗町成田町4002

動力炉・核燃料開発事業団 大洗工学センター  
システム開発推進部 技術管理室

正誤表

頁	行	正	誤	IE
8	上から2行目	出力系検出器用内管	出力系検出器用内管	
9	上から1行目	Multi-Pump	Multi-Pump	
9	上から1行目	D-C Amplifier	D-C Amplifier	
19	下から4行目	ように、遮断定抵抗	のように、遮断定抵抗	
33	下から9行目	1次主ポンプ	1次主ポンプ	
53	下から5行目	$3.838 \times 10^{-7}$	$3.838 \times 10^{-7}$	
53	下から2行目	$2.096 \times 10^{-7}$	$2.096 \times 10^{-7}$	
87	下から2行目	8月11～16日	8月11～16日	
112	上から14行目	熱電対起動力	熱電対起動力	
113	上から7行目	$\partial W_A$	$\partial W_A$	
113	上から14行目	$1.67 + 1.6 = 3.3$	$1.67 + 1.6 = 3.3$	
113	上から16行目	$0.12 + 1.6 = 1.7$	$0.12 + 1.6 = 1.7$	
115	下から1行目	デジタル電圧計	デジタル電圧計	
119	上から10行目	直値	直値	
127	下から4行目	よく追従しております	よく追従しております	
128	上から5行目	温度依存性	温度依存性	
128	上から5行目	出力系の関係	出力系の関係	
140	上から1行目	Graphite	Graphite	
143	下から3行目	アナログデータ	アナログデータ	
144	下から16行目	比較値	比較値	
144	下から7行目	$C_1 / 4 (T_{A_1} + T_{A_2} + T_{B_1} + T_{B_2})$	$C_1 / 4 (T_{A_1} + T_{A_2} + T_{B_1} + T_{B_2})$	
145	下から11行目	FORMAT	FORMAT	
145	下から5行目	$Q_{PUMP}$	$Q_{PUMP}$	
146	下から2行目	第1 cycle	第1 cycle	
154	下から6行目	熱出力は 第に	熱出力は 第に	
154	下から5行目	再相熱出力	再相熱出力	
159	上から7行目	拡算計算	拡算計算	
162	上から5・7・	mech	mech	
170	下から2行目	外 3列	外 3列	
176	上から3行目	含む体系での 間道線内側	含む体系での 間道線内側	
183	上から5行目	2次主冷却系	2次主冷却系	
196	下から6行目			

## 高速実験炉「常陽」性能試験報告書

### PT-11 熱出力較正

石川 貞，遠藤雅行，小沢健一  
佐久間孝志，前 政敏，関口善之

#### 要旨

高速実験炉「常陽」出力上昇試験の一項目として実施された熱出力較正試験(PT-11)の結果について報告する。

本試験は、低出力から50MW 定格出力までの各段階において熱出力を測定し、核計装設備における出力系の較正を行なう事を目的とする。原子炉の熱出力は一次主冷系のNa出入口温度及び流量を測定する事によって求められ、出力系及び中間系はその指示値が熱出力に一致するよう電子回路を調整した。

本試験は1978年4月から8月まで実施され、この結果以下の主要諸点が確認された。

- (1) 出力系指示値と熱出力の間には、非常に良好な直線性がある。
  - (2) 出力系と中間系は、3デカルト以上の充分なオーバーラップを示す。
  - (3) 出力系指示値は、原子炉の運転履歴に依存して変動する。
- 起動直後の出力系指示値は、原子炉熱出力に対して小さめの値を示し、その後次第に増加して、起動後約1週間で安定する。その変動量は最大で約6%である。

\* 大洗工学センター高速実験炉部技術課  
\*\* 同 上 (現、三菱原子力工業)  
\*\*\* 大洗工学センター高速実験炉部原子炉二課

PNC TN941 79-179  
Oct., 1979

Experimental Fast Reactor "JOYO" Power-Up Test Report

Thermal Power Calibration (PT-11)

Makoto Ishikawa\*, Masayuki Endō\*\*,  
Kenji Ozawa\*\*, Takashi Sakuma\*\*\*,  
Masatoshi Soroi\*\*\* and Yoshiyuki Sakiguchi\*

Abstract

This report describes the results of the thermal power calibration test (PT-11) that was planned and performed as part of the power-up testing of the Experimental Fast Reactor "JOYO".

The purpose of this test is to calibrate the Power Range Monitors (PRM) and Intermediate Range Monitors (IRM) by measuring the reactor thermal power at several levels from low power through the rated power of 50 Mwt. The reactor thermal power was determined by measuring the inlet and outlet temperature and the flow rate of the primary main coolant.

After this procedure, PRM and IRM were adjusted to coincide with the reactor thermal power by regulating the electronic amplifiers.

This testing was made from April through August 1978, and followings were confirmed.

- (1) The PRM indicators show good linearity with the reactor thermal power.
- (2) The PRM indicators overlap with the IRM indicators over more than three decades.

\* Reactor Technology Section, Experimental Fast Reactor Division,  
O-arai Engineering Center, PNC.

\*\* The same as above. (Mitsubishi Atomic Power Industry, Ltd, present affiliation)

\*\*\* Maintenance section, Experimental Fast Reactor Division, O-arai Engineering Center, PNC.

- (3) The PRM indicators changes depending on the operating history of the reactor. The PRM indicators is lower than the reactor thermal power immediately after start-up. Then that increases gradually and comes to stable in about one week after start-up. The maximum drifting value is about 6 per cent.

次  
目

第1章 緒 言.....	1
第2章 設備概要.....	3
第3章 試験の方法.....	12
第4章 試験の経過.....	27
第5章 試験の結果.....	36
第6章 測定の誤差評価.....	112
第7章 原子炉熱出力と炉心熱出力との差.....	120
第8章 热出力校正曲線の変動.....	126
第9章 計算機による熱出力.....	143
第10章 結 言.....	153
付録 1 出力系指示値変動の解析.....	159
付録 2 燃料集合体出口温度分布試験 (NT-52) から求めた炉心熱出力 .....	167
付録 3貯蔵ラック内燃料の中性子計算に及ぼす影響.....	175
付録 4 H-350計算機による流量平均化処理プログラム .....	195

## 第1章 結言

本報告書は、1978年4月から9月まで行なわれた高速実験炉「常陽」出力上昇試験の一項目として実施された熱出力較正試験(PT-11)の結果について、報告するものである。

本試験は、低出力から定格出力までの各段階において、熱出力を測定し、核計装設備における出力系の較正を行う事を目的とする。

系統設備の要件として、出力系と熱出力との間に直線性があること、及び中間系と出力系との使用範囲が充分オーバーラップしていることの2点が満たされねばならない。

以下に、本報告書の内容を概述する。

第2章では、試験設備の概要を、主冷却系と核計装に分けて記述する。

第3章では、試験方法の詳細を記述する。

第4章では、試験の経過の詳細を記述する。

第5章では、試験の結果を、内容毎に整理して、グラフ及び生データと共に詳述する。ここでは、出力系の較正の他、中間系の較正、各核計装のオーバーラップ、制御棒の差換効果について述べる。

第6章では、測定の誤差評価について、熱出力と核計装を分けて、その算出の詳細を記述する。

第7章では、本試験において定義された熱出力と、原子炉炉心からの発熱量について、その差を検討する。

第8章では、運転歴に伴う熱出力較正曲線が変動する問題について、その現象の詳細及びその原因の検討結果を記述する。

第9章では、現在「常陽」で用いられている計算機による熱出力について、その算出方法の詳細と、算出値の本試験での熱出力測定値との比較結果について記述する。

第10章では、結論として試験結果の総括及び定格運転以後の熱出力較正の見通しを記述する。

その他、付録として、熱出力較正試験として行なったわけではないが、関連のある項目若干を記述する。

付録1では、第8章で述べた熱出力較正曲線の変動について、その原因と考えられる黒鉛遮蔽体及び安全容器温度を変化させた時の効果を、1次元拡散計算で解析した結果を記述する。

付録2では、(NT-52)燃料集合体出口温度分布試験で測定された集合体毎出入口温度差と低出力試験で実施された流量分布試験の結果から、そのヒートバランスにより炉心燃料からの発熱量を試算し、熱出力較正試験による熱出力と比較した結果を記述する。

付録3では、貯蔵ラック内の炉心燃料の有無が、中性子検出系に及ぼす影響を、試験結果と解析結果とに整理して示す。これは、今後の定格運転後の熱出力較正に対する見通しを得る一助とするためのものである。

付録4では、熱出力校正試験の重要測定項目である冷却材流量について、H-350計算機を用いた流動半均化処理プログラムを開発したので、その概要を記述する。

## 第2章 設備概要

### 2.1 主冷却系設備

主冷却系設備は、2系統からなり各系統は1次冷却系及び2次冷却系から構成される。炉心部で発生した熱は、1次主冷却系から中間熱交換器を通して2次主冷却系に伝達され、さらに主冷却器により大気中に放散される。

プラントの主要目は以下の通りである。

(1) 1次主冷却系	ループ数	2〔ループ〕
	冷却材流量	1085.6〔t/h/ループ〕
	運転温度	原子炉入口 370〔℃〕
		(50〔MW〕時) 原子炉出口 435〔℃〕
(2) 1次補助冷却系	ループ数	1〔ループ〕
	冷却材流量	56.5〔t/h〕
		(通常運転時逆流 13.5〔t/h〕)
(3) オーバフロ系	ループ数	1〔ループ〕
	冷却材流量	111〔t/h〕

原子炉冷却系統図及び温度・流量の測定点を図2-1に示す。

### 2.2 核計装設備

#### 2.2.1 3系統の概要

核計装設備は、起動系2チャンネル、中間系3チャンネル、出力系3チャンネルの合計8チャンネルにより構成され、原子炉の起動から原子炉定格出力の125%まで、これらの3系統で計測範囲をカバーしている。

##### (1) 起動系

起動系の計測範囲は、1 CPS~ $10^6$  CPSで中性子束およびペリオドを測定する。測定は、中性子検出器(核分裂計数管)からの出力パルスを前置増幅器で、適當なレベルに増幅したのち、対数計数率計に加え、この出力は、ペリオド計に接続される。

原子炉の安全を確保するため、対数計数率計は、低計数率インターロック信号(3CPS)、高計数率アラーム信号( $7 \times 10^5$  CPS)及び高計数率スクラム信号( $9.5 \times 10^1$  CPS)を発生

する。また、ペリオド計は、ペリオド短アラーム信号 (+25 sec) やおよびペリオド短スクラム信号 (+5 sec) を発生する。

## (2) 中間系

中間系の計測範囲は、原子炉定格出力の約  $1 \times 10^{-4}$  % ～ 100 % の中性子束及びペリオドを測定する。中性子検出器（核分裂計数管）からの出力は、チャンベル前置増幅器に加えられ、ここで適当なレベルに増幅したのち、中間出力計に接続する。中間出力計は、この信号を受け対数出力に比例した直流電圧に変換したのち、出力指示計に表示し、また対数出力の変化率を測定し、ペリオド指示計に表示する。原子炉の安全を確保するため、中間出力計は、低出力インタ一口ロック信号 (10<sup>-3</sup> %) 前出力アラーム信号 (70 %) 及び高出力スクラム信号 (95 %) を発する。またペリオド計は、ペリオド短アラーム (+25 sec) 及びペリオド短スクラム信号 (+5 sec) を発する。

## (3) 出力系

出力系の計測範囲は、原子炉定格出力の約  $10^{-1}$  % ～ 125 % の中性子束を測定する。中性子検出器（ガンマ線補償型電離室）からの出力電流信号は、出力系モニタで増幅され、利得の切替はスイッチコードごとに、レンジ切替スイッチにより偏置抵抗値を変更しておこなう。原子炉の安全を確保するため各レンジごとに低出力インターロック信号 (10 %)、高出力アラーム信号 (103 %) や高出力スクラム信号 (106 %) を発する。

## 中性子検出器の配置を図 2-2～3 に示す。

## 核計装系の構成を図 2-4 に示す。

## 2.2.2 出力系の構成

「常陽」核計装出力系は図 2-4～5 に示すように(1)検出器、(2)微少電流計、(3)レンジスイッチ、(4)指示計及び記録計から構成される。検出器は安全容器外側の窒素ガス部、微少電流計は中央制御室内核計装盤に設置されたモニタ内、またレンジスイッチと指示記録計は中央制御室内原子炉制御盤にそれぞれ設置されている。検出器とモニタ間のケーブル長さは約 50 ～ 80 m である。出力系は原子炉定格出力の 10 % ～ 100 % の計測範囲をもつ。

以下各部分の概要を示す。

## (1) 検出器

中性子を検出する役割を持ち、米国 Reuter-Stokes 社製 7 線組成形電離室 (SK-400) が用いられている。

## (2) 微少電流計

微少電流計は検出器からの出力信号を増幅し、さらに各指示計への入力信号を調整する役割をもち、電圧利得で 8 ～ 13 倍の変更が可能である。

## (3) レンジスイッチ

レンジスイッチは微少電流計增幅部前段の利得設定回路帰還抵抗を切換える役割をもち約 1 % アカードずつ 10 領域に切換えることができる。（実際には 0.125 ～ 125 % までの 7 レンジを使用している。）

## (4) 指示計及び記録計

計測された原子炉出力を指し、記録する役割をもち、レンジスイッチ位置に対応して 0 ～ 35 % と 0 ～ 125 % の 2 目盛がある。さらに記録計は 2 ペン式によりレンジスイッチ位置が出力とともに記録される。

## 2.3 炉心の構成

出力上昇試験期間は、昭和 53 年 4 月 18 日～9 月 16 日までであった。PT-11 熱出力較正試験は、4 月 26 日から 8 月 16 日 (100 時間連続運転終了) まで実施され、この間、炉心及び燃料炉殻ラックの配置に変更はなかった。試験中の炉心構成図を、図 2-6 に示す。

## (1) 炉心構成

炉心燃料	70 体
ブランケット燃料	内側棒 44 体 外側棒 143 体
制御棒	調整 2 体 安全 4 体
反射体	スリット有 12 体 スリット無 36 体
中性子源	1 体 (7 F 1)
バイオルシーラー	1 体 (5 F 2)
炉心燃料	1 体 (R 11)
炉心用計装燃料	4 体 (R 10・R 15・R 17・R 19)
ブランケット燃料	3 体
ブランケット用計装燃料	5 体
サーベイランス	5 体
ダミー要素	1 体
中性子源 (Be 部)	1 体
ア線源取納体	1 体

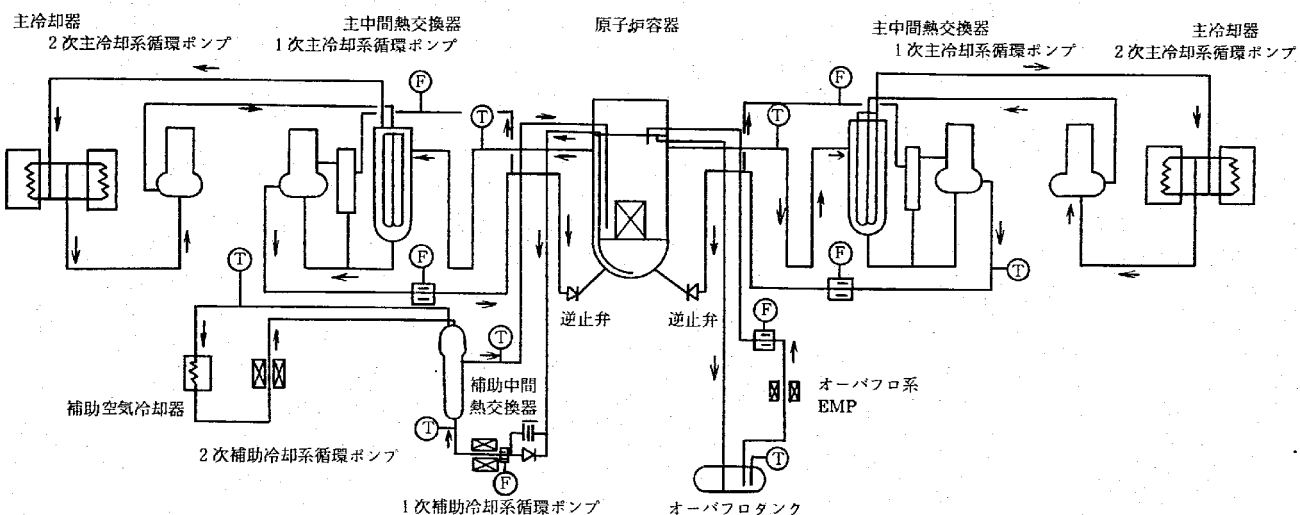


図2-1 原子炉冷却系統図

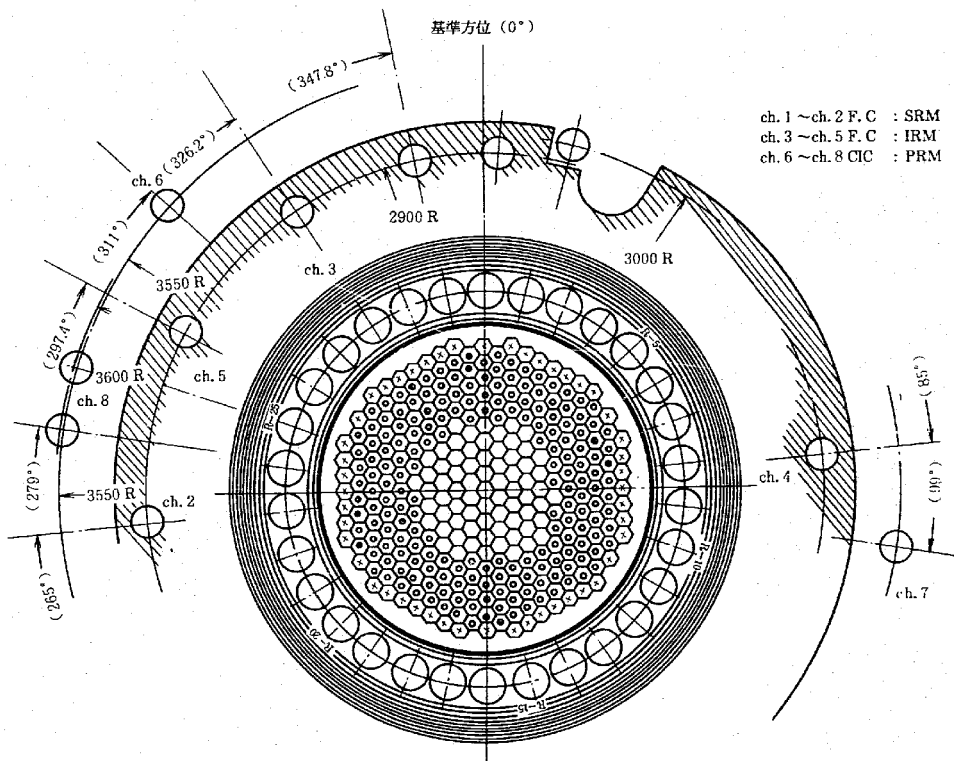


図2-2 中性子検出器配置図(平面図)

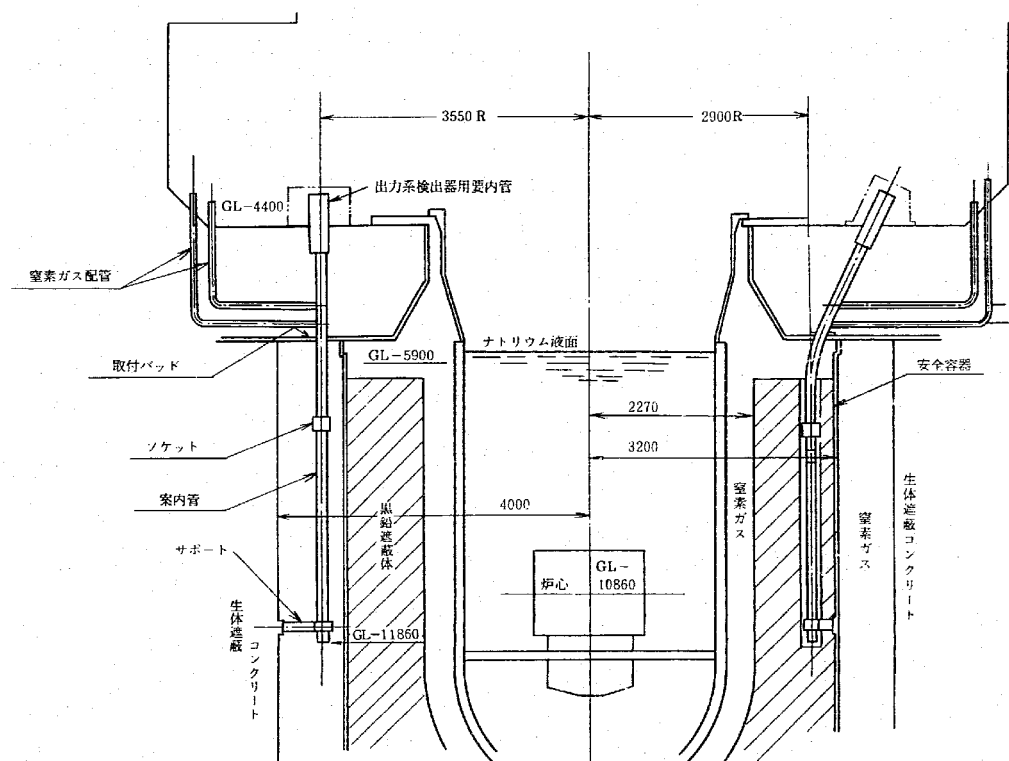


図2-3 中性子検出器配置図(断面図)

-8-

-9-

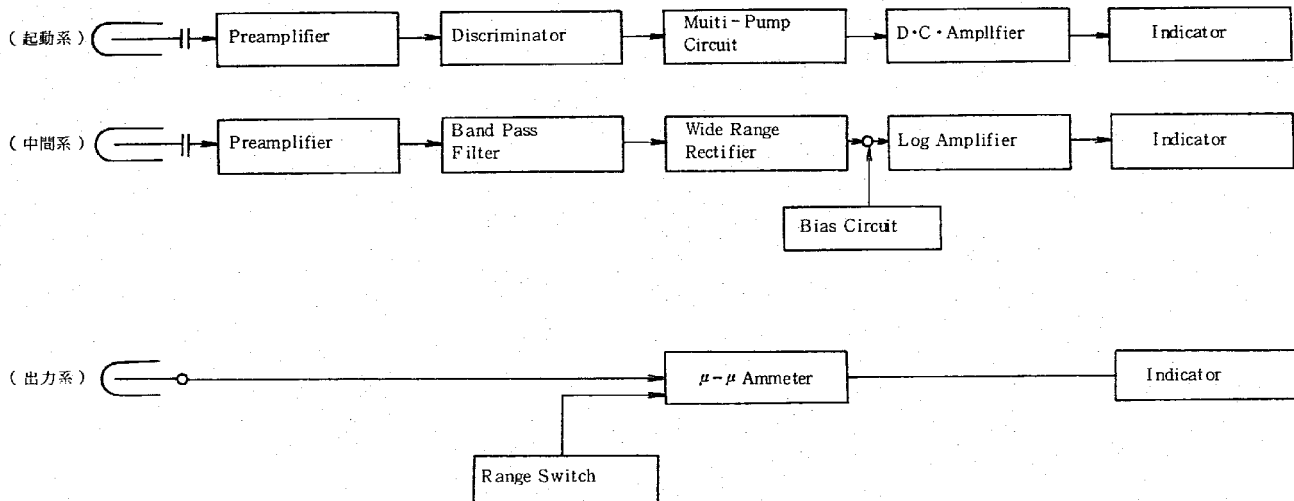


図2-4 「常陽」核計装系の構成

圖 2-6 53年4月26日現在  
爐心構成圖

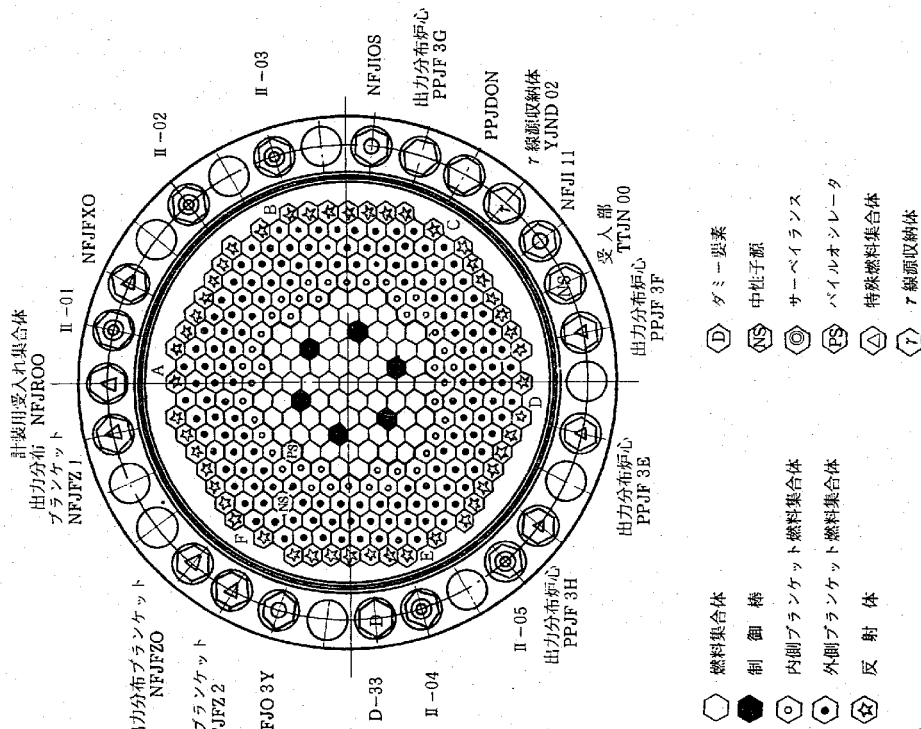
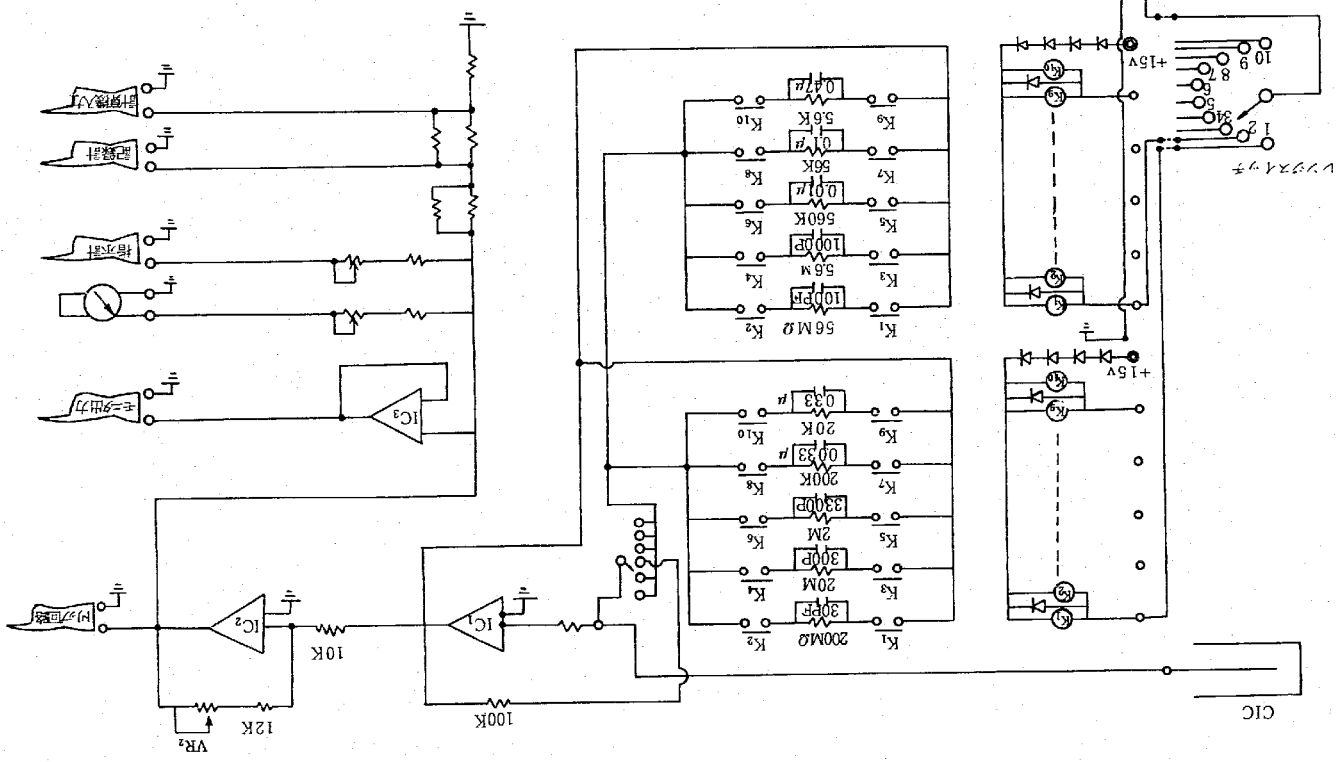


图 2-5 出力率の構成



### 第3章 試験の方法

#### 3.1 原子炉熱出力の定義

「常陽」原子炉設置許可申請書により、原子炉熱出力は1次冷却材が中間熱交換器により2次冷却材へ伝達する熱、すなわち、原子炉内で発生する熱と1次冷却材ポンプからのエネルギーを加え、これから原子炉及び1次冷却設備の放射熱損失と原子炉補助設備の熱損失を差引いたものとして定義されている。

従って、本試験での原子炉熱出力は下式から求めた。

$$Q_R = Q_{MA} + Q_{MB} + Q_{AP} - Q_{LOSS} \quad (1)$$

ここで、  
 $Q_R$  : 原子炉熱出力  
 $Q_{MA}$  : 1次主冷却系流量と炉容器出入口温度差から求まる熱量 (Aループ)

$Q_{MB}$  : 同上 (Bループ)

$Q_{AP}$  : 1次主循環ポンプからの入熱のうち、炉容器出入口温度計位置から主中間熱交換器までの配管による人熱

$Q_{LOSS}$  : 炉容器出入口温度計位置から主中間熱交換器までの配管からの放熱量  
 このうち、 $Q_{AP}$  及び  $Q_{LOSS}$  は微少であり、直接の測定が不可能なので無視する。

従って、式(1)は

$$Q_R = Q_{MA} + Q_{MB} \quad (2)$$

$$= \frac{1}{860 \times 10^3} [ T_{MAi} W_{MA} ( I_{MAO} - I_{MAi} ) + T_{MBi} W_{MB} ( I_{MBO} - I_{MBi} ) ]$$

ここで、

$T_{MAi}$  :  $T_{MAi}$  (Aループ炉容器入口温度)での比重 [ $\text{kg}/\text{m}^3$ ]

$T_{MAO}$  :  $T_{MAO}$  (Aループ炉容器出口温度)でのエンタルピー [ $\text{kcal}/\text{kg}$ ]

$I_{MBO}$  :  $I_{MBO}$  (Bループ炉容器入口温度)での比重 [ $\text{kg}/\text{m}^3$ ]

$I_{MAi}$  :  $T_{MAi}$  のエンタルピー [ $\text{kcal}/\text{kg}$ ]

$I_{MBi}$  :  $T_{MBi}$  のエンタルピー [ $\text{kcal}/\text{kg}$ ]

※ 但し、上式の中で、A・Bのループ流量については本来は、中間熱交換器を通る流量即ち、メイン流量からサイフォンブレーカー流量を差し引いた値でなければならないが、サイフォンブレーカー流量は、メイン流量の1%以下であるので、本試験ではこれを無視し、メイン流量を  $W_{MA}$ ・ $W_{MB}$ とした。このサイフォンブレーカー流量の効果、また、オーバーフローネット・補助系・ポンプ・放射熱などを考慮した原子炉炉内出力(即ち原子炉炉心からの発熱量)について、その評価結果を第6章に記す。

#### 3.2 試験時のプラント状態

本試験の開始前に、以下の各系統設備が正常に運転可能であることを確認する。

系統設備名	確認事項	備考
1. 原子炉本体	(1) 原子炉出力が目標出力* (7.5, 15, 25, 40, 50 [MW]) の定常運転状態にあること。 (2) 原子炉入口温度が約370 [°C] であること。	* 目標出力は予備チャート記録出力による。 サンヘルレコード指示を参考にする。
2. 原子炉冷却設備	(1) 1次主冷却系が定格流量 (1085.6 [t/h]) の運転状態にあること。 (2) 2次主冷却系が定格流量 (1085.6 [t/h]) の運転状態にあること。 (3) 辅助冷却系が起動可能な状態にあること。	
3. 計測制御設備	(1) 中性子計装が正常動作であること。 (2) プロセス計装が正常動作であること。 (3) 制御系が正常動作であること。 (4) 原子炉安全保護系が正常なこと。	

#### 3.3 原子炉熱出力の測定方法

##### 3.3.1 試験器具

本試験で使用した計器を以下に示す。

名 称	仕 様	用 途
デジタルマルチ温度計 TYPE 2572 確度土(0.05% of rdg+0.2°C)	YEW社製 炉出入口(A・B) ○オーバーフロータンク ○1次補助IHX出入口	Na温度測定用
高精度デジタル電圧計 TYPE 2501	YEW社製 分解能 0.1 $\mu$ V 許容差士(0.01% of rdg + 2 digit)	Na流量測定用 (1次主冷却A・B)
デジタルマルチメータ タケダ理研社製 -TR - 6856	中性子束測定用 ○出力系 ○中間系 ○起動系	オーバーフロータンクNa温度
	分解能 100 $\mu$ V 確度土(0.01% of rdg + 0.001% f.s.) ±1 digit	オーバーフロー系液上流量

## 3.3.2 測定項目及び方法

本試験では、下記の項目につき測定を行なった。

測 定 項 目	測 定 場 所	検出端番号	測 定 方 法
原子炉入口Na温度 (A)	421盤 k002-03A	TE31.1-7A	デジタルマルチ温度計の 読み
" (B)	421盤 k002-03B	TE31.1-7B	"
原子炉出口Na温度 (A)	421盤 k002-01A	TE31.1-1A	"
" (B)	421盤 k002-01B	TE31.1-1B	"
1次主冷却系流量 (A)	419盤 k011-04	FX31.1-1A	高精度デジタル電圧計の 値を較正式で換算
" (B)	419盤 k013-04	FX31.1-1B	"
中間系 ch 3	403盤 J4コネクタ	—	デジタルマルチメータの 電圧値を換算
" ch 4	同 上	—	"

測 定 項 目	測 定 場 所	検出端番号	測 定 方 法
中間系 ch 5	403盤 J4コネクタ	403盤 J4コネクタ	デジタルマルチメータの 圧値を換算
出力系 ch 6	同 上	—	"
" ch 7	同 上	—	"
" ch 8	同 上	—	"
起動系 ch 1	403盤 J4コネクタ	403盤 J4コネクタ	デジタルマルチ温度計の 読み
" ch 2	同 上	—	"
オーバーフロータンクNa温度	k042-04	TE33-1	デジタルマルチ温度計の 読み
"	① k042-05 ② H-350	FX33-1	デジタルマルチ温度計の 読み
1次補助系 IHX入口Na温度	361-3盤 7KXIA(13-14)	TE32.1-1	デジタルマルチ温度計の 読み
" 出口Na温度	361-3盤 7KXIA(15-16)	TE32.1-2	"
1次補助系流量	① k033-05 ② H-350	FX32.1-1	デジタルマルチ温度計の 読み
サイフォンシテラーグ流量 (A)	H-500 (入力点B16)	FE31.1-5A	online 計算機 output
" (B)	H-500 (入力点B17)	"	"

デジタル電圧計を使用している測定項目について換算式を示す。

- (1) 1次主冷却系流量 (A・B ループ)
- $$Q (\text{m}^3/\text{hr}) = 162,602 \text{ V (mV)} - 60,165$$
- (1000  $\leq Q \leq 1400$ ,  $T = 370^\circ\text{C}$ )

(出典) 「常陽」一次主冷却系電磁流量計  
検査試験表 (書類番号 311-5-301, 日立, S. 48.5.25) のグラフ (図 3-1 ~ 2  
参照)

(2) オーバーフロー系及上流量

$$Q \text{ (m}^3/\text{hr}) = 2830V \text{ (mV)} \quad V : \text{volt (0} \leq V \leq 10)$$

(0 \leq Q \leq 15)

(出典) 「常陽」オーバーフロー系電磁流量計

検査成績表 (製番 792312-1, 日立, S. 48. 6. 21) のグラフ及び総合計器校正記録

(3) 1 次補助系流量

$$V \geq 0 \quad mV \text{ の時 } Q \text{ (m}^3/\text{hr}) = 17.054V \text{ (mV)} + 0.017 \quad V : \text{volt (0} \leq V \leq 10)$$

(0 \leq Q \leq 80)

$$V < 0 \quad " \quad Q \text{ (m}^3/\text{hr}) = 17.055V \text{ (mV)} + 0.017 \quad V : \text{volt (0} \leq V \leq 10)$$

(-30 \leq Q &lt; 0)

(出典) 一次補助冷却系電磁流量計

(4) 中間系出力 (ch 3 ~ ch 5)

$$P(\%) = 10^{(0.6V-1)} \quad V : \text{volt (0} \leq V \leq 10)$$

$$P : 100\% = 50 \text{ MW}$$

(出典) 仕様による。

(5) 出力系出力 (ch 6 ~ 8)

(1) range 1 (full scale 0.125 %)

$$P(\%) = 1.25 \times 10^{-2} \times V \quad V : \text{volt (0} \leq V \leq 10)$$

(2) range 2 (full scale 0.35 %)

$$P(\%) = 3.5 \times 10^{-2} \times V \times 1.275$$

(3) range 3 (full scale 1.25 %)

$$P(\%) = 1.25 \times 10^{-1} \times V$$

(4) range 4 (full scale 3.5 %)

$$P(\%) = 3.5 \times 10^{-1} \times V \times 1.275$$

(5) range 5 (full scale 12.5 %)

$$P(\%) = 1.25 \times 10^0 \times V$$

(6) range 6 (full scale 35 %)

$$P(\%) = 3.5 \times 10^0 \times V \times 1.275$$

(7) range 7 (full scale 125 %)

$$P(\%) = 1.25 \times 10 \times V$$

(出典) 仕様及び作業連絡表 (原 2-53-17, S. 53. 6. 9)

(6) 起動系出力 (ch 1 ~ 2)

$$C \text{ (cps)} = 10^{0.00V} \quad V : \text{volt (0} \leq V \leq 10)$$

(出典) 仕様による。

本試験で、使用した物性値を以下に示す。

ナトリウム比重  $\gamma$ 

$$\gamma = 950.01 - 0.229774T - 1.46065 \times 10^{-5}T^2$$

$$+ 5.63796 \times 10^{-9}T^3 \quad (\text{kg/m}^3)$$

ナトリウムエンタルピー  $I$ 

$$I = 83.559 + 0.343253T - 6.93429 \times 10^{-5}T^2$$

$$+ 3.6850 \times 10^{-8}T^3 \quad (\text{kcal/kg})$$

ここで  $T$  : Na 温度 ( $^{\circ}\text{C}$ )

(引用文献)

**TERMOPHYSICAL PROPERTIES  
OF SODIUM ANL-7323 (1967)**

## 3.3.3 データの整理方法

熱出力較正のデータ整理手順を図 3-3 に示す。(3.1 参照)

また、表 3-1-1 ~ 3-3 に Na 温度・Na 流量・核計装出力測定のデータフローマットを示し、表 3-2 に測定データから原子炉熱出力を求めたための様式を示す。

## 3.4 核計装系の較正方法

## 3.4.1 出力系の較正

## (1) 概要

出力系の較正は、熱的方法によって求められた原子炉熱出力に対するモニタ出力電圧を出力指示に変換して求めた値) の関係を求めることがある。

モニタ出力(%)とモニタ出力電圧(V)との関係は次式から求められる。

$$(V) = \frac{10}{125 \times 10^x} \times P \times \left( \frac{1}{K} \right) \quad (35)$$

但し、P : 原子炉出力を%で表わした値

K : 35 full scale レンジ時に使用する補正係数 (= 1.275)

x : レンジスイッチの選択位置により決定する値で次の関係がある。

(レンジスイッチ位置)	(x の値)
0.35 及び 1.25	-3
3.5 及び 12.5	-2
35 及び 125	-1
	0

算出されたモニタ出力電圧値への設定はモニタ内微少電流計の利得を調整して行なう。

## (2) 方 法

熱的方法により得られた原子炉出力に供給系指示を合わせるべく以下の調整を行う。

i) 初期熱出力時に核出力試験結果もふまえて微少電流計の利得値での調整が可能かどうかの検討を行なう。

ii) 原子炉出力上昇に応じて約10 [MW], 20 [MW], 25 [MW], 40 [MW], 50 [MW] で微少電流計の利得調整抵抗 (VR<sub>2</sub>) を調整して指示計の指示値を原子炉出力に合致させること。

iii) 原子炉停止後出力を段階的に上昇させながら炉出力と指示値の対応をチェックする。炉出力 50 [MW] で指示値を合致するように必要に応じて利得調整を行ない非線形性の補償を行う。

## 3.4.2 中間系の校正

### (1) 概 要

中間系の校正は熱的方法によって求められた原子炉出力に対するモニタ出力 (モニタ出力電圧) を出力指示に変換して求めた値) の関係を求めて行なう。

「常陽」の中間系では、その炉出力計測範囲 (定格出力の10<sup>-4</sup> % - 100 %) でLOGの対数化特性は入力電圧 V が

$$V = 0.124 \times \sqrt{P} \text{ (V)}$$

(但し、P は原子炉出力を % で表わした値)

に対して出力電圧 V が

$$V = \frac{10}{6} \times \log_{10}(P \times 10^4)$$

$$= \frac{10}{3} \times \log_{10}\left(\frac{100}{0.124} \times v\right)$$

となるよう設計されている。

従って前置増幅器、帯域増幅器及び広帯域整流器の可変定数を調整して校正を行なう。

### (2) 方 法

i) 核出力試験時に校正された状態で熱出力領域における指示を読みとり、較正するに最も原子炉出力を決定する。

ii) 原子炉出力を較正するに最も適な状態で安定させ前置増幅器及び帯域増幅器の利得を調整して指示計の指示を原子炉出力に合致させる。

iii) 原子炉出力を起動領域から出力領域まで段階的に上昇させながら炉出力と指示値の対応をチェックする。

## 3.4.3 核計装系計測範囲の確認

原子炉出力を起動し出力領域まで段階的に上昇され、起動系、中間系及び出力系指示と炉出力の対応をチェックし、核計装系の機能を確認する。

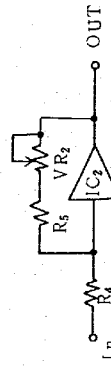
### 利得調整幅の変更

#### (1) 概 要

第1回較正において原子炉出力 12.1 [MW] に対して出力系の指示値が 1.75 [MW] (oh8 指示値 3.5 [%]) となつており、現状利得の 6.91 倍必要であり、現状利得幅では調整不可能であることが判明した。そのため利得調整回路の抵抗値を変更し利得幅を広げた。

#### (2) 内 容

利得調整回路の概略を下図に示す。この回路における利得は  $\frac{R_5 + VR_2}{R_4}$  となる。



変更前の利得は  $\frac{VR_2 \text{ max}}{12K+50K}$  とある。

$$\frac{12K+50K}{10K} = 6.2 \text{ 倍} \quad \frac{12K+0K}{10K} = 1.2 \text{ 倍}$$

従つて VR<sub>2</sub> min 時の利得を 6.91 倍となるように 選定抵抗 R<sub>5</sub> を 80 [kΩ] に変更した。変更後の各抵抗値を下図に示す。



(変更前)

(変更後)

#### (3) 変更前後の特性

変更後にモニタの各特性データを測定した結果、変更による差異は生じなかった。

表 3-1-1

様式 1

表 3-1-2

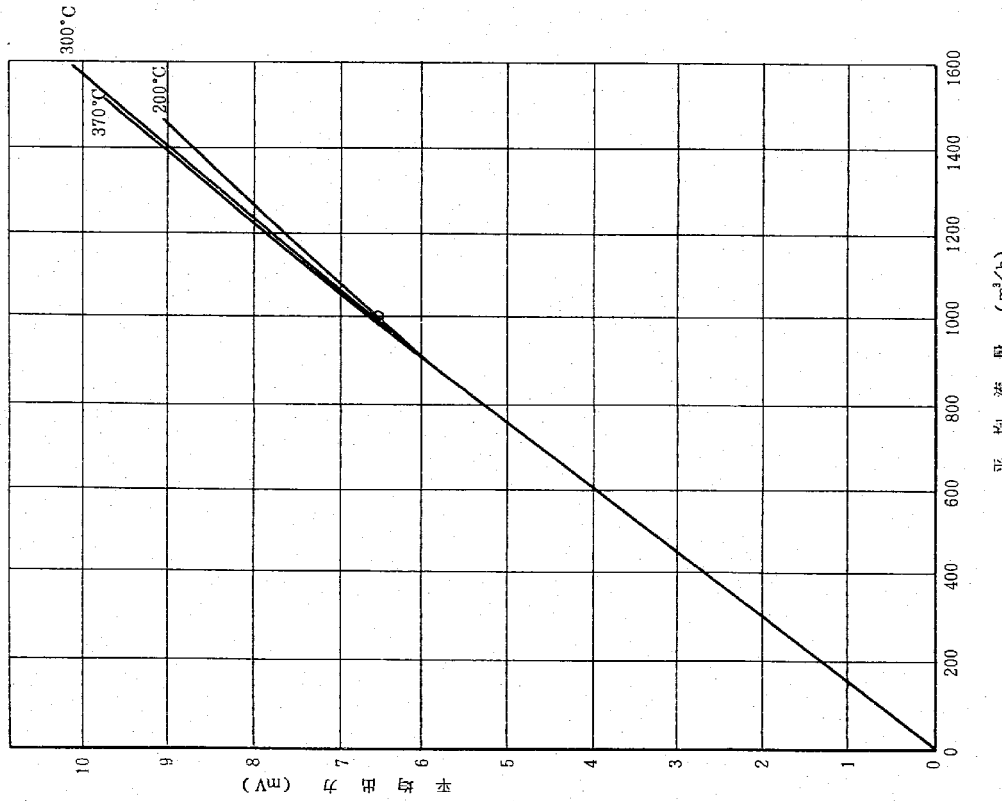
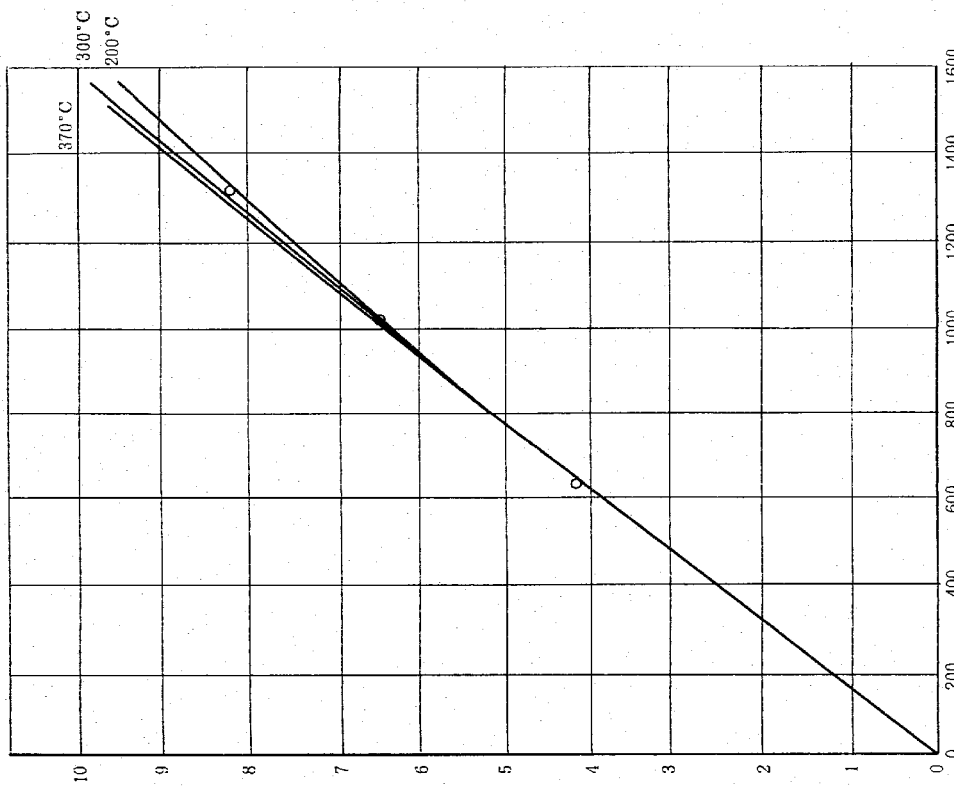
様式 2

試験番号	試験名	試験出力	試験出力	試験名	試験出力
PT-11	熱出力較正	MW 11	MW 11	熱出力較正	MW 11
	測定項目	測定箇所	測定箇所	測定箇所	測定箇所
		時刻	時刻	時刻	時刻
	原子炉入口Na温度	421盤 k.002-03A (1 2)		419盤 k.011-04 (1 2)	
	(A)	平均値		平均値	
		421盤 k.002-03B (1 2)		419盤 k.013-04 (1 2)	
	(B)	平均値		平均値	
	原子炉出口Na温度	421盤 k.002-01A (1 2)		1 次補助系 Na流量	V H-350
	(A)	平均値		平均値	
		421盤 k.002-01B (1 2)		オーバーフロータンク	V H-350
	(B)	平均値		Na温度	V H-350
	オーバーフロータンク	419盤 k.042-04		平均値	
	Na温度	平均値		平均値	
	1 次補助 IHX 入口	7Kx1A (13 14)		1 次主冷却系流量	
	Na温度	平均値		Q=162602V-601.65 (m³/h)	
	1 次補助 IHX 出口	364-3盤 7Kx1A (15 16)		V [mV]	
	Na温度	平均値		平均値	
		平均値		平均値	

試験番号	試験名	試験出力	試験出力
PT-11	熱出力較正	年月日	年月日
	測定期間	測定期間	測定期間
	時刻	時刻	時刻
	1 次主冷却系 Na流量 (A)	419盤 k.011-04 (1 2)	mV
	Na流量 (B)	419盤 k.013-04 (1 2)	mV
	平均値	平均値	
	1 次補助系 Na流量	H-350	V
	平均値		
	オーバーフローポート 液上Na流量	H-350	V
	平均値		
	オーバーフロータンク	419盤 k.042-04	V
	Na温度	平均値	
	1 次補助 IHX 入口	7Kx1A (13 14)	1 次主冷却系流量
	Na温度	平均値	Q=162602V-601.65 (m³/h)
	1 次補助 IHX 出口	364-3盤 7Kx1A (15 16)	V [mV]
	Na温度	平均値	平均値
		平均値	平均値



図3-1 一次主冷却電磁流量計 (ブルーブ) FE 31.1-3A

図3-1 一次主冷却電磁流量計 (ブルーブ) FE 31.1-3A  
較正曲線図3-2 一次主冷却電磁流量計 (ブルーブ) FE 31.1-3B  
較正曲線図3-2 一次主冷却電磁流量計 (ブルーブ) FE 31.1-3B  
較正曲線

## 第4章 試験の経過

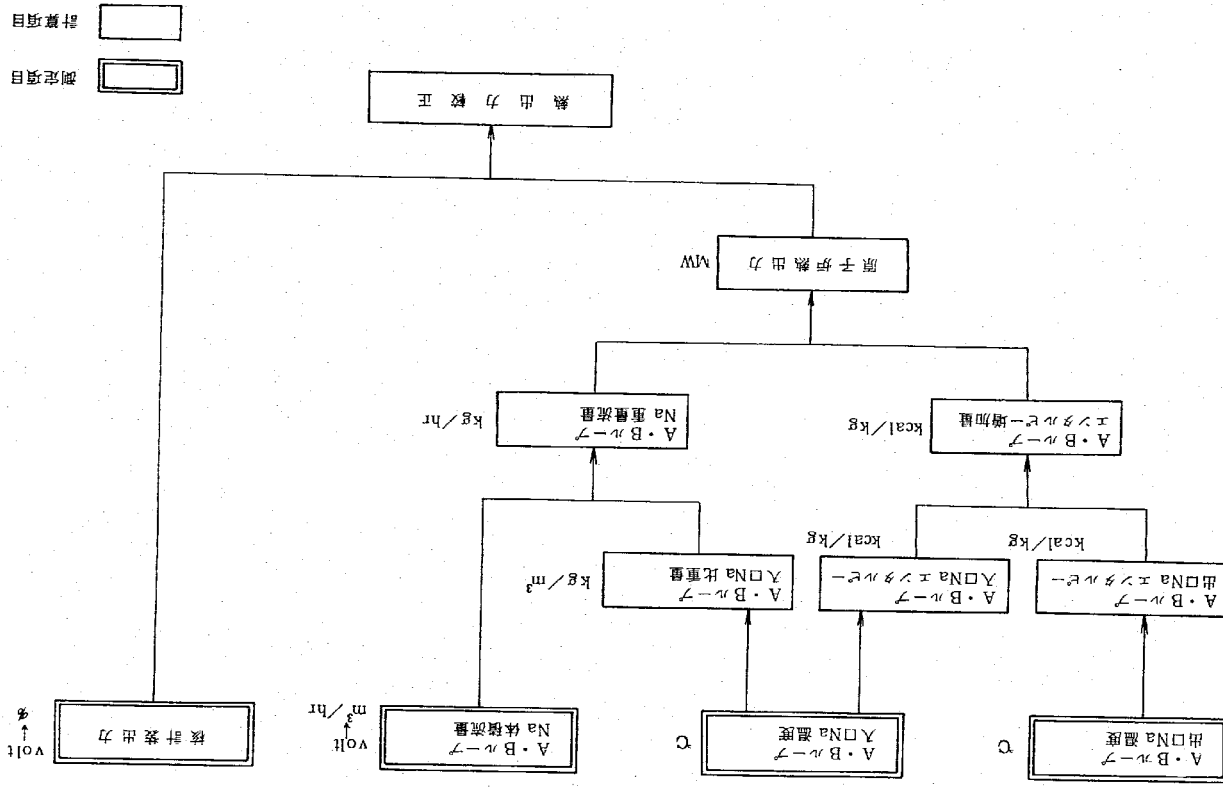


図3-3 熱出力校正の一ルーチン手順

PT-11熱出力校正試験は、1978年4月26日から、8月16日まで実施され、計78回の測定が行なわれた。

測定実績の一覧を表4-1に、原子炉運転履歴とともに図示したものを図4-1～5に示す。  
試験経過は以下のように整理される。

No.1～11（4月26日～7月7日）

熱出力較正曲線の作成はしていない。炉出力が、新しいレベルに達する毎に校正を行ない、適宜出力系の調整を行なった。この間、計5回の出力系調整がなされた。

No.12～20（7月8日）

前日、熱出力50.6MWで第5回出力系調整がなされた後、11MWから50MWまで炉出力を上昇する途中で、5MWステップ毎に熱出力校正を行なった。このような方法で作成した校正曲線は、非常に良好な直線性を持つ事が判明した。出力系100%での熱出力は50.5MWであった。なお、No.13の熱出力16.3MWで中間系の調整を行なっている。(出力上昇試験期間中、中間系を調整したのは、この時のみである。)

No.21～37（7月20日）

ch.1で10<sup>3</sup>cpsからch.6で5%まで核計装(起動系・中間系・出力系)のオーバーラップの確認試験を行なった。出力が低いため、熱出力の測定はしていない。この結果、核計装のオーバーラップは充分であり、また、出力系のrange切換によるずれもない事が判明した。

No.38～42（7月21日）

熱出力較正試験官庁立合のリハーサルを行なった。直線性は良好であったが、出力系100%で熱出力53.3MWとなり、6%オーバーした。

No.43（7月24日）

50MW運転時に再度測定を行なった。出力系96%で熱出力49.6MWとなり、7月8日と7月21日の中間の値を示した。この熱出力で第6回出力系調整を行なった。

No.44～47（7月25日）

炉出力16～50MWで熱出力較正試験の官庁立合を受け、出力系100%で熱出力49.6MWとなり、合格した。

No.48～51（7月26日）

中間系と出力系のオーバーラップ確認の官庁立合を受け、合格した。

No.52～62（8月6～7日）

出力を降下していく際の熱出力校正曲線を測定した。出力上昇時との差異は見られなかった。

No.63～78 (8月11～16日)

50 MW連続100時間運転試験時に、熱出力校正を1日約2回実施した。調整操作により、出力系は100%に保持されたが、熱出力は、50.7 MWから48.5 MWまで、徐々に減少した。

表4-1 热出力校正試験実績(1)

通し番号	測定月日	時刻	熱出力(MW)	備考
1	4月26日		7.56	
2	4月27日		12.21	
3	5月8日		12.05	第1回出力系調整 (5/9～10, ch.6～8及び予備モニタの調整)
4	5月19日	9:11	19.37	第2回出力系調整 (ch.7～8, ch.6不要)
5	5月25日		23.40	第3回出力系調整 (ch.6～8)
6	6月10日		25.77	
7	6月23日		40.28	
8	7月4日		38.56	
9	7月6日	10:50	45.66	
10	"	11:49	46.17	第4回出力系調整 (ch.6～8)
11	7月7日	9:38	50.62	第5回出力系調整 (ch.6～8)
12	7月8日	9:14	11.32	
13	"	10:17	16.29	中間系校正
14	"	13:05	21.76	
15	"	14:05	27.19	
16	"	15:00	31.42	
17	"	16:10	36.12	
18	"	17:15	40.62	
19	"	18:34	45.68	
20	"	20:09	50.51	

表4-1 つづき(2)

通し番号	測定月日	時刻	熱出力(MW)	備考
21	1978年7月20日	9:53		ch.1で10 <sup>3</sup> cps 電圧
22	"	10:18		5×10 <sup>3</sup> "
23	"	10:35		1×10 <sup>4</sup> "
24	"	10:52		5×10 <sup>4</sup> "
25	"	11:08		1×10 <sup>5</sup> "
26	"	11:31		ch.6で0.06% (range 1)
27	"	13:10		0.09% (" 1 )
28	"	13:18		" (range 2)
29	"	13:49		0.2% (" )
30	"	14:23		0.3% (" )
31	"	14:28		" (range 3)
32	"	14:48		0.6% (" )
33	"	15:09		0.9% (" )
34	"	15:15		" (range 4)
35	"	15:35		2% (" )
36	"	16:06		3% (" )
37	"	16:12		" (range 5)
38	7月21日	9:04	12.06	
39	"	13:05	18.13	
40	"	14:14	28.47	
41	"	15:45	43.50	
42	"	17:11	53.26	
43	7月24日	17:31	49.56	第6回出力系調整 (ch.6～8)
44	7月25日	13:21	16.59	熱出力校正試験局立合
45	"	14:45	27.35	"
46	"	16:15	40.81	"
47	"	17:33	49.64	"
48	7月26日	13:20	(約0.5)	中間系-出力系オーバーラップ確認試験局立合

表4-1 つづき(3)

通し番号	測定期日	時 刻	熱出力(MW)	備 考	
				中間系一出力系オーバーラップ確 認試験局立合	"
49	1978年 7月 26日	13 : 39	(約1)		
50	"	14 : 29	(約5)		
51	"	15 : 09	(約10)		
52	8月 6日	19 : 15	48.81		
53	"	21 : 10	48.65		
54	"	22 : 40	39.63		
55	8月 7日	0 : 30	39.82		
56	"	1 : 50	30.72		
57	"	10 : 40	30.33		
58	"	13 : 10	25.58		
59	"	14 : 30	25.79		
60	"	16 : 05	19.42		
61	"	18 : 10	19.27		
62	"	19 : 40	13.36		
63	8月 11日	11 : 10	17.45	連続100時間運転時	
64	"	12 : 50	27.09	"	
65	"	14 : 30	41.43	"	
66	"	16 : 00	50.76	"	
67	8月 12日	9 : 00	50.15	"	
68	"	17 : 00	49.86	"	
69	8月 13日	9 : 00	49.15	"	
70	"	17 : 00	48.95	"	
71	8月 14日	9 : 00	48.58	"	
72	"	17 : 00	48.70	"	
73	8月 15日	9 : 00	48.35	"	
74	"	13 : 00	48.76	"	
75	"	17 : 00	48.61	"	
76	"	23 : 30	48.61	"	
77	8月 16日	9 : 30	48.74	"	
78	"	12 : 50	12.07	"	

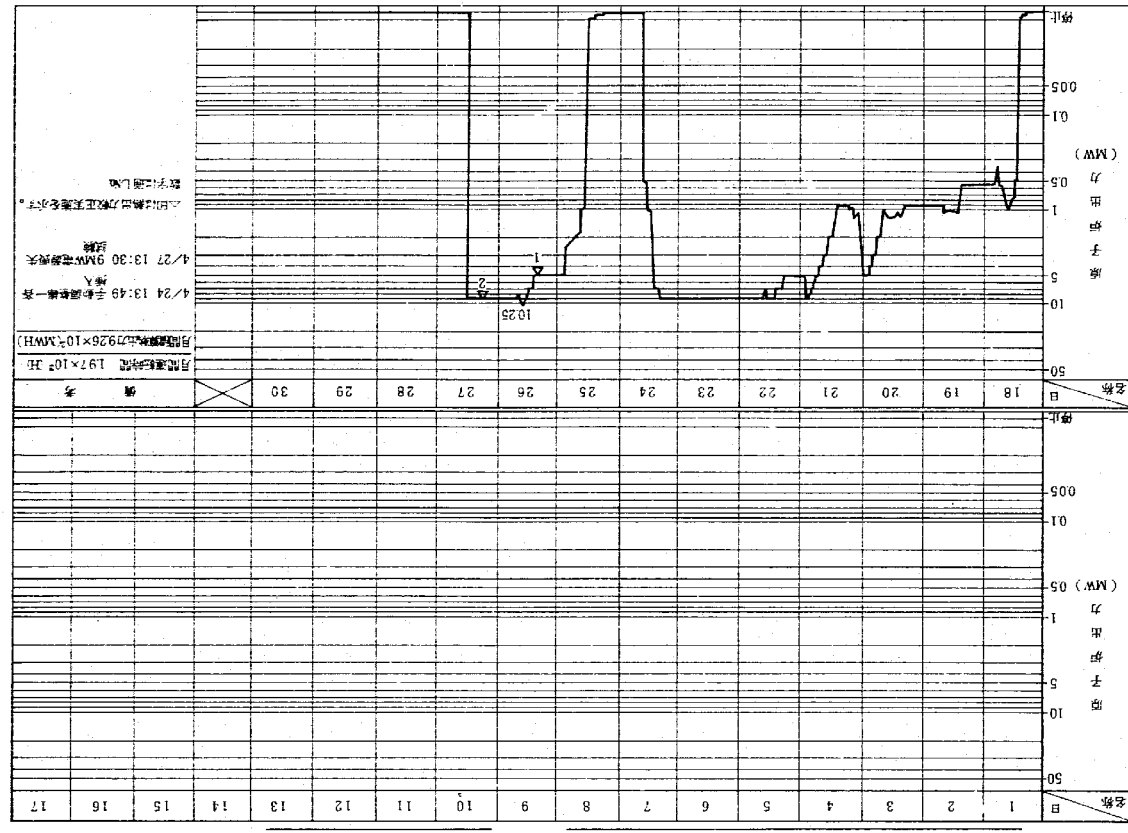


図4-1 原子炉運転実績表

図4-2 原子炉運転実績表 昭和53年5月分

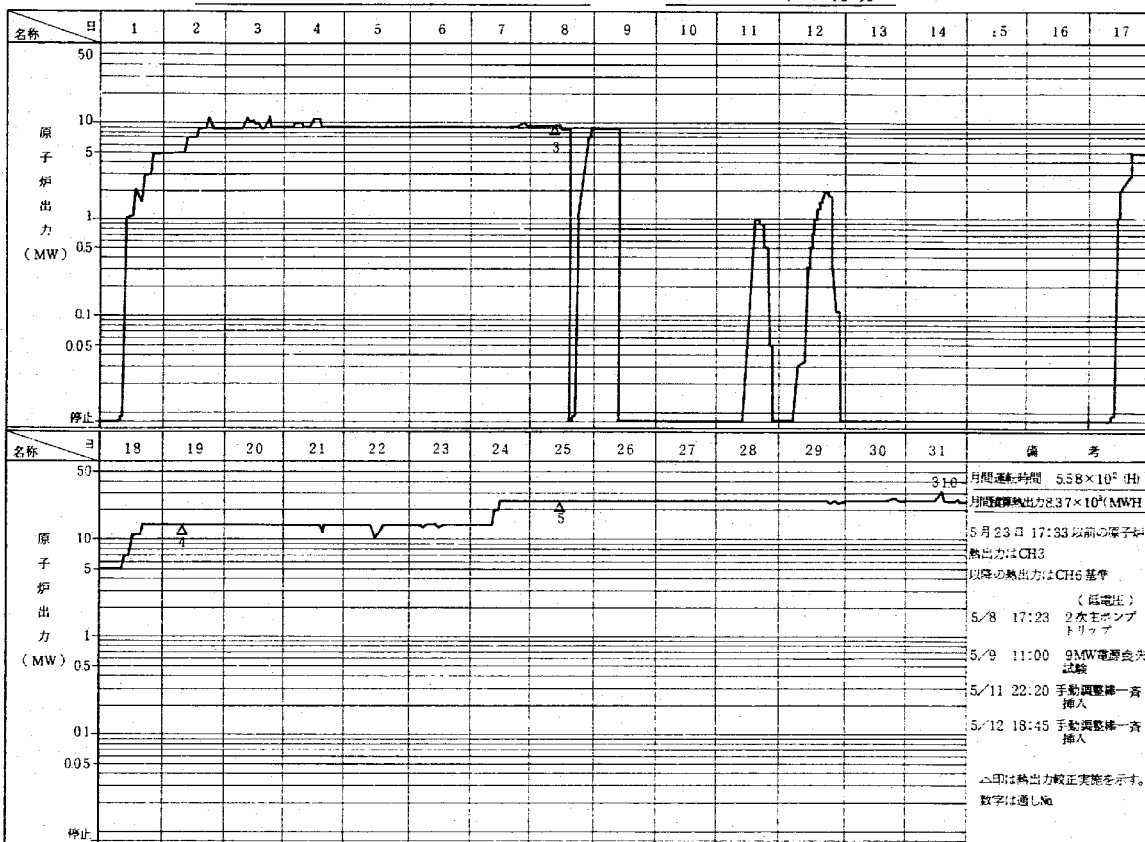


図4-3 原子炉運転実績表 昭和53年6月分

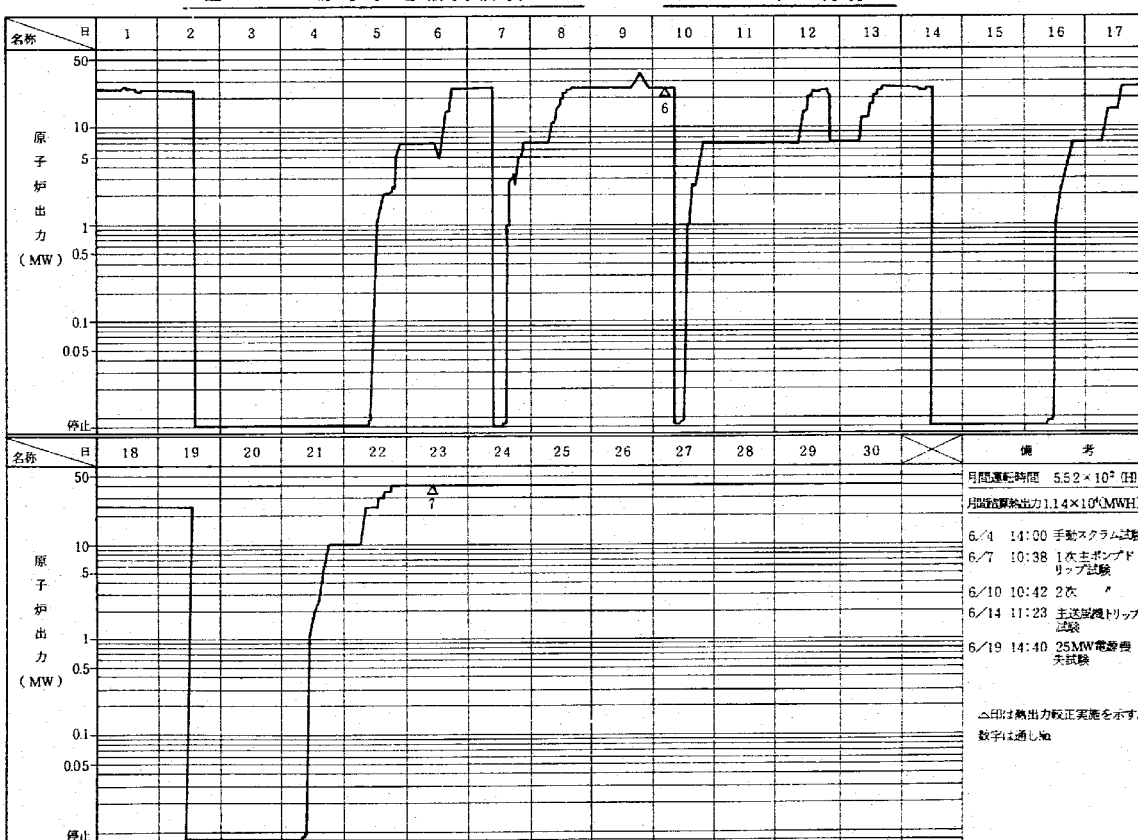
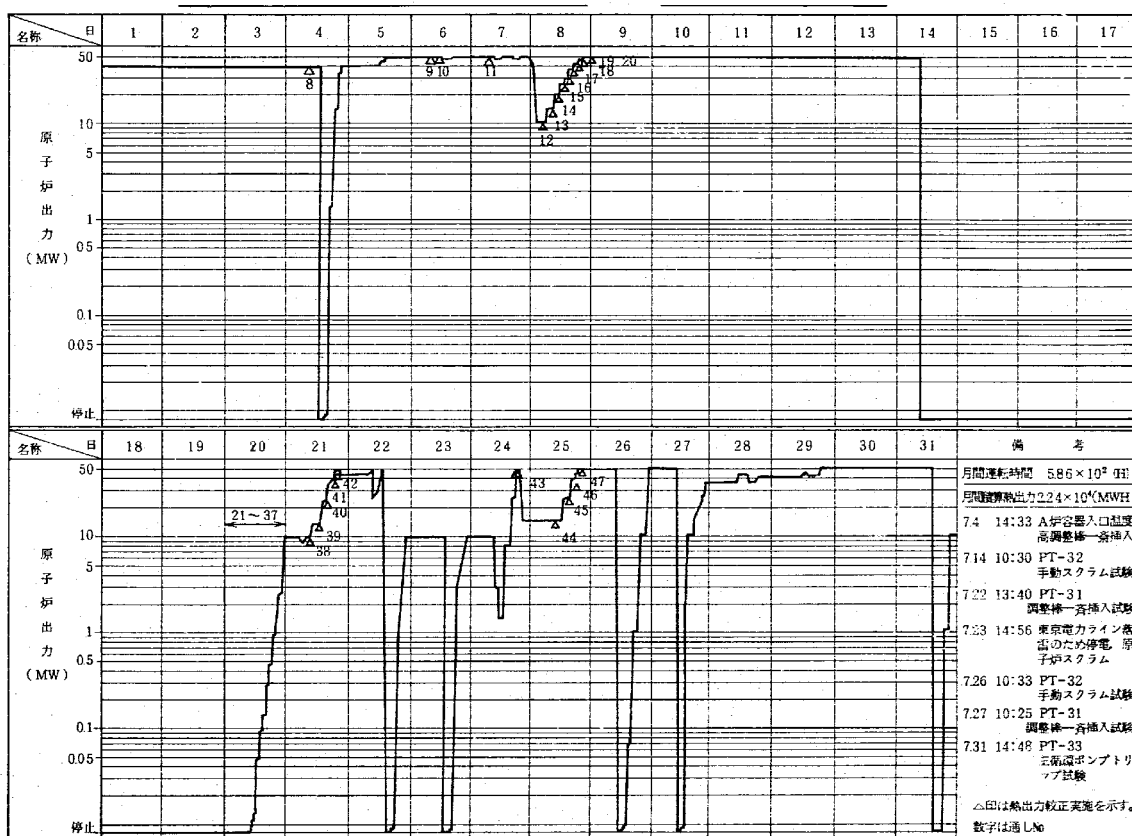
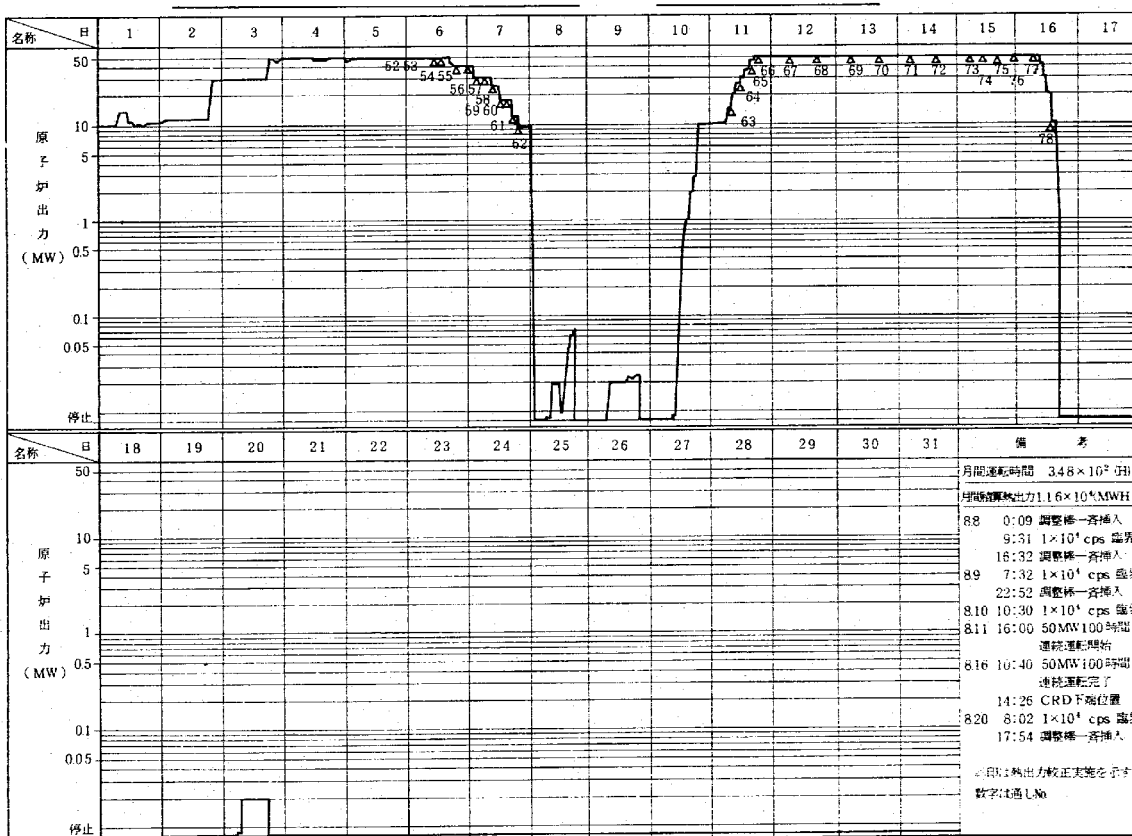


図4-4 原子炉運転実績表 昭和53年7月分



- 34 -

図4-5 原子炉運転実績表 昭和53年8月分



- 35 -

## 第5章 試験の結果

本章では、熱出力校正試験の測定結果について、その詳細を、各イベント毎に整理して記述する。

表5-1に、全測定点の詳細データを示す。なお、出力系及び中間系の調整に関する詳細については、「常陽1号計装系の校正（その2）－出力上昇試験時における較正－」を参照されたい。

### 5.1 出力系の較正及び調整結果

#### 5.1.1 5月9～10日第1回出力系調整

5月8日に測定した熱出力12.05MW(№3)を基準として出力系の第1回調整を行なった。

今回の調整は、微少電流計の利得調整回路の固定抵抗( $R_s$ )の変更及び利得調整抵抗( $VR_2$ )を調整する方法である。

調整の概要を以下に示す。

① 熱出力12.05MWに対して、出力系指示値は1.75MW(ch.8指示3.5%)となつており、現在の利得を6.91倍とするため( $R_s$ )を12kから80kに交換した。

② ( $R_s$ )交換により、利得増に伴い確認された応答速度はmax. 7.0secから7.8secの変化であり、問題ない事を確認した。

③ 応答速度の測定中に上限スクーム信号用補助Relayによるノイズが発見された。

④ 調査の結果、利得調整により新たに発生したものではないこと、また運転操作の上で特に問題ないことを確認した。

調整の詳細を以下に記す。

#### 熱出力較正(熱出力12.05MW)のデータに基づく核計算出力系の第1回調整データ (補助リレーによるノイズ調査含む)

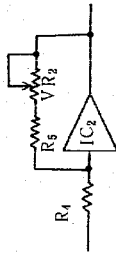
実施日：○データ測定 S. 53.5.8

○モニタ調整 S. 53.5.9～10

#### 1. 概要

(1) 热出力較正(PT-11)の第1回測定をS.53.5.8に実施し、その時の熱出力12.05[MW]を基準として出力系(ch.6～8及び予備モニタ)の較正を行なった(原子炉運転中実施したもののではなく、データにもとづいて計算から得られた値を用いて出力系の貪較正を実施した。)

(2) 出力系の較正は微少電流計の利得調整回路の固定抵抗( $R_s$ )の変更及び利得調整抵抗( $VR_2$ )の調整により行なった。



利得調整回路の概略図

(注) S. 53年10月の500kW出力時(ch.3指示)の出力系指示値から出力系の利得は現在の約6.45倍必要であるとのデータを得ていた。この時のVR<sub>2</sub>の調整だけは利得がとれないとの判断から較正方法として、①レンジシフト、②利得調整回路の変更の2案について検討し、その結果、既設モニタ機能の保持並びに作業の容易性等を考慮して、利得調整回路の変更による方法で決定した。

#### 2. 較正方法

##### (1) 調整幅の検討

熱出力12.1(MW)に対して、出力計表示が1.75(MW)(ch.8指示3.5(%))となつており現在の利得を6.91倍(12.1/1.75 = 6.91)すればよい。

##### (2) 固定抵抗( $R_s$ )の決定

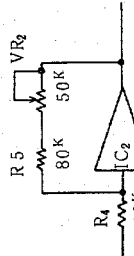
現在の利得は

$$\frac{(12k + 50k)}{10k} = 6.2 \text{倍} \quad \frac{(12k + 0k)}{10k} = 1.2 \text{倍}$$

従ってVR<sub>2</sub>Min時の利得を6.91倍となる様にR<sub>s</sub>の抵抗を変更する。R<sub>s</sub>の抵抗値は約83(kΩ)(12k × 6.91倍 = 83k)となるがVR<sub>2</sub>の調整範囲(S. 53.4.23)の調整で現在のVR<sub>2</sub>の位置は大体50kの1.2/5にある)を考慮して80(kΩ)と決定した。



$R_s$  変更後



$R_s$  変更前

(3)  $R_s$  変更に伴う入力電流 / full scale の関係  
各Rangeにおける入力電流 / full scale は現在の1/6.91倍以下の一様になる。

Range (full scale)	変更後	入力電流 / full scale
	変更前	
1 (0.125 %)	5.07 × 10 <sup>-9</sup> (A)	3.5 × 10 <sup>-8</sup> (A)
2 (0.35 %)	1.81 × 10 <sup>-8</sup>	1.25 × 10 <sup>-7</sup>
3 (1.25 %)	5.07 × 10 <sup>-8</sup>	3.5 × 10 <sup>-7</sup>
4 (3.5 %)	1.81 × 10 <sup>-7</sup>	1.25 × 10 <sup>-6</sup>
5 (12.5 %)	5.07 × 10 <sup>-7</sup>	3.5 × 10 <sup>-6</sup>
6 (35 %)	1.81 × 10 <sup>-6</sup>	1.25 × 10 <sup>-5</sup>
7 (125 %)	5.07 × 10 <sup>-6</sup>	3.5 × 10 <sup>-5</sup>
8 (予備)	1.81 × 10 <sup>-5</sup>	1.25 × 10 <sup>-4</sup>
9 ("")	5.07 × 10 <sup>-5</sup>	3.5 × 10 <sup>-4</sup>
10 ("")	1.81 × 10 <sup>-4</sup>	1.25 × 10 <sup>-3</sup>

## § 3. 調正後データ

## (1) 応答速度の測定

i) 方法 線形出力が full scale の 0 から 65 % に達するまでの時間を探しで測定する。

## (予備モニタと ch. 8 で採取実施)

## ii) 結果

- ① 予備モニタ (Range 6.7) ○ 変更前 7.0 msec ○ 変更後 7.6 msec  
 ② ch.8 モニタ (Range 1.6 及び 7) ○ 変更後 7.8 msec

判定基準 10 msec (工場検査要領書より)

## 結果 良好

## (2) 入出力特性の測定

i) 方法 標準微少電流計からの模擬信号入力により線形モニタ出力電圧の精度を確認する。

## ii) 結果

判定基準 : Range 1~2 ± 5.5 %	" 3~4 ± 4.5 %	(工場検査要領書より)
" 5~10 ± 2.5 %	"	

結果 良好

表 1~4 に試験記録を示す。

## (3) 校正出力試験

i) 方法 「校正 1」にしたとき 1.81 × 10<sup>-7</sup> A (Range 4) 及び「校正 2」にしたとき

(Range 10) での各モニタ出力指示を確認する。

ii) 結果	判定基準 10 V ± 2.5 % (工場検査要領書より)
結果 良好	

表 1~3 に試験記録を示す。

- (4) 校正信号設定値の変更  
 利得調整に伴ない校正信号設定値 (校正 1 及び校正 2) を変更し調整抵抗 (VR<sub>6</sub> 及び VR<sub>5</sub>) により full scale 調整を行なった。

モード SW	校正信号設定値 (Range)		
	変	更	後
「校正 1」	1.81 × 10 <sup>-7</sup> A (Range 4)	3.5 × 10 <sup>-7</sup> A (Range 3)	
「校正 2」	1.81 × 10 <sup>-4</sup> A (Range 10)	3.5 × 10 <sup>-4</sup> A (Range 9)	

表 1 ch 6 試験データ

	入力電流 (A)	モニタ出力 測定値 (V)		ユーニット 指示 (%)	(* ) VR <sub>2</sub> 調整前 101%指示
		モニタ基準 (V)	モニタ出力 測定値 (V)		
Range 7	5.07 × 10 <sup>-6</sup>	10.0	10.004	125(*)	
	4.87 "	9.6	9.61	120	
	4.06 "	8.0	8.018	100.2	
(0 ~ 125 %)	3.24 "	6.4	6.406	80	
	2.43 "	4.8	4.816	59.6	
	1.62 "	3.2	3.227	40	
	0.81 "	1.6	1.634	20	
	0 "	0	0	0	
Range 6	1.81 × 10 <sup>-6</sup>	10.0	10.007	35	
(0 ~ 35 %)	1.55 "	8.571	8.574	30.2	
	1.03 "	5.714	5.712	20	
	0.52 "	2.857	2.902	10	
	0 "	0	0	0	

## (2) 校正出力試験

表3 ch8 試験データ

モード	Range	モニタ出力(V)	モニタ指示(%)	判定基準	判定
校正1	$1.81 \times 10^{-7}$ (A)	10.001	3.5	±2.5%	良
校正2	$1.81 \times 10^{-4}$ (A)	10.000	full scale	±2.5%	良

表2 ch7 試験データ

## (1) 入出力直線性

モード	Range	人力電流(A)	モニタ出力(V)	モニタ指示(%)	判定基準	判定
Range 6	$1.81 \times 10^{-6}$	10.0	10.008	125(*)	(*) VR <sub>2</sub> 調整前 101多指示	
(0 ~ 125 %)	$4.87 \times 10^{-6}$	9.6	9.611	120		
Range 7	$4.06 \times 10^{-6}$	8.0	8.007	99.8		
(0 ~ 125 %)	$3.24 \times 10^{-6}$	6.4	6.384	79.8		
	$2.43 \times 10^{-6}$	4.8	4.781	60.2		
	$1.62 \times 10^{-6}$	3.2	3.178	41		
	$0.81 \times 10^{-6}$	1.6	1.574	21		
	0	0	0	0		
Range 6	$1.81 \times 10^{-6}$	10.0	10.003	35		
(0 ~ 35 %)	$1.55 \times 10^{-6}$	8.571	8.562	29.8		
	$1.03 \times 10^{-6}$	5.714	5.68	19.8		
	$0.52 \times 10^{-6}$	0	0	0		

## (2) 応答速度試験

## ・調整後 Data

モード	Range	人力電流(A)	モニタ出力(V)	モニタ指示(%)	(*) VR <sub>2</sub> 調整前 101多指示	判定
Range 7	$1.81 \times 10^{-6}$	10.0	10.004	125(*)		
(0 ~ 101 %)	$4.87 \times 10^{-6}$	9.6	9.611	120		

## (3) 校正出力試験

モード	Range	モニタ出力(V)	モニタ指示(%)	判定基準	判定
校正1	$1.81 \times 10^{-7}$ (A)	10.011	3.5	±2.5%	良
校正2	$1.81 \times 10^{-4}$ (A)	10.008	full scale	±2.5%	良

表4 モニタ試験データ

- ① 入出力直線性  
② 応答速度試験

## 5.1.2 5月19日～7月7日の熱出力較正結果

(No 4～11)

5月9～10日の第1回出力系調整後、7月7日までの間に、8回の熱出力較正を行なった。この較正結果を、各 channel 毎に、図5-1-1～3に示す。このうち、No 4, 5, 10, 11の点で、出力系の調整を行なったが(第2～5回)、因からわかるように、出力系の指示値は、45°勾配の基準線から、最大7%のずれを示し、再現性及び直線性がない。

一般的傾向として、図4-1～4の運転履歴と比べ合わせると、較正以前に、休止期間がある場合(No 4)は、熱出力に對して、出力系指示値は小さく、高出力で長時間運転した場合(No 5, 9, 10)は、その程度に応じて、出力系指示値は大きくなる。

	入力電流 (A)	モニタ出力 出力基準 (V)	測定値 (V)	ユニット 指 示 (%)
Range 7 (0～125 %)	5.07×10 <sup>-6</sup>	10.0	10.001	125 (*)
	4.87 "	9.6	9.605	120
	4.06 "	8.0	8.001	100
	3.24 "	6.4	6.378	80
	2.43 "	4.8	4.774	57
	1.62 "	3.2	3.172	37.5
	0.81 "	1.6	1.568	19
	0	0	-0.036	0
	1.81×10 <sup>-6</sup>	10.0	9.986	35
	1.55 "	8.571	8.542	29.8
Range 6 (0～35 %)	1.03 "	5.714	5.657	19.2
	0.52 "	2.857	2.827	9.4
	0	0	0	0
	5.07×10 <sup>-9</sup>	10.0	10.061	0.126
	4.87 "	9.6	9.670	0.121
Range 1 (0～0.125 %)	4.06 "	8.0	8.059	0.100
	3.24 "	6.4	6.437	0.078
	2.43 "	4.8	4.828	0.058
	1.62 "	3.2	3.221	0.038
	0.81 "	1.6	1.613	0.020
	0	0	0	0

実施日 : S. 53. 5. 19 (金)

## 1. 較正方法

熱出力較正データ 19.37 [MWt] にともとづいてモニタ出力電圧を利用調整抵抗 VR<sub>2</sub> の調整により較正した。またその際のモニタ及び原子炉制御盤の指示計表示を調整した。

## 2. モニタ出力電圧

熱出力 19.37 [MWt] での出力系指示は 38.74 % (19.37 × 100 % / 50 MW) となる。  
(Range 7 125 %)

## ② 応答速度試験

38.74 %のモニタ出力電圧は

$$38.74 \% \times \frac{10 \text{ V}}{125 \%} = 3.099 (\text{V})$$

に相当する。

3. 檢正	
(1) ch. 8	
○測定モニタ出力 3.105[V]	熱出力と一致しており利得及び各指示計の調整せず。
○ " モニタ指示計 39 [%]	
○ " # 423 " 39 [%]	
(2) ch. 7	
○測定モニタ出力 3.102[V]	熱出力ヒークしておらず利得調整は行なわず各指示値を 39 [%]に調整した。
○ " モニタ指示計 40 [%]	
○ " # 423 " 38.5 [%]	
(3) ch. 6	
測定モニタ出力 2.758[V]をVR <sub>2</sub> を操作して3.103[V]に調整した。VR <sub>2</sub> で調整後 # 423 指示計は 39 %で良好であった。またユニット指示計 38 %を 39 %に調整した。	
○利得調整操作により入力電流 / full scale の関係は第1回調整データの 2.758/3.099 倍となつた。	

Range	第1回入力電流 / full scale	第2回入力電流 / full scale	4.51 × 10 <sup>-9</sup> [A]
1 (0.125)	5.07 × 10 <sup>-9</sup> [A]		4.51 × 10 <sup>-9</sup> [A]
2 (0.35)	1.81 × 10 <sup>-8</sup>		1.61 × 10 <sup>-8</sup>
3 (1.25)	5.07 × 10 <sup>-8</sup>		4.51 × 10 <sup>-8</sup>
4 (3.5)	1.81 × 10 <sup>-7</sup>		1.61 × 10 <sup>-7</sup>
5 (12.5)	5.07 × 10 <sup>-7</sup>		4.51 × 10 <sup>-7</sup>
6 (35)	1.81 × 10 <sup>-6</sup>		1.61 × 10 <sup>-6</sup>
7 (125)	5.07 × 10 <sup>-6</sup>		4.51 × 10 <sup>-6</sup>
8 (ヨビ)	1.81 × 10 <sup>-5</sup>		1.61 × 10 <sup>-5</sup>
9 ( "	5.07 × 10 <sup>-5</sup>		4.51 × 10 <sup>-5</sup>
10 ( "	1.81 × 10 <sup>-4</sup>		1.61 × 10 <sup>-4</sup>

\* 校正信号 1・2は調整せず。

(注) モニタ出力電圧の小数点2桁以下は不安定のため上記調整データは熱出力換算出力電圧と一致したものとはなっていない。

5.1.4 5月25日第3回出力系調整  
熱出力較正データ 23.40 MW (No.5)に基いて出力系の調整を、第2回と同様の方法で行なつた。  
調整前に、熱出力 23.40 MWに対して、出力系指示は 50% (25 MW) であった。23.40 MW

に対するモニタ出力電圧は 3.744 volt であるので、VR<sub>2</sub>の操作により、これを調整し、指示計の指示値を 47 %とした。

調整の詳細を以下に記す。

実施日 : S. 53.5.25 (火)  
1. 較正方法  
熱出力較正データ 23.4 [MW] にもとづいてモニタ出力電圧を利得調整抵抗 VR<sub>2</sub>の調整により較正した。またその際のモニタ及び原計表計の指示値を調整した。

2. モニタ出力電圧  
熱出力 23.4 [MW]での出力系指示は 46.8 [%] (23.4 × 100 % / 50 MW) となる。  
(Range 7 125 %)  
46.8 [%]のモニタ出力電圧は

$$46.8 [\%] \times \frac{10 [V]}{125 [\%]} = 3.744 [V]$$

に相当する。

3. 較正

項目	モニタ出力電圧 (V)	モニタ指示計 [%]	制御盤指示計 [%]		
			較正前	較正後	較正前
ch. 8	3.954	37.44	50.0	47.0	50.0
ch. 7	3.951	37.44	50.0	47.0	50.0
ch. 6	3.995	37.44	50.1	* 47.5	50.1
				* 47.5	

\* 47 %に調整した。

5.1.5 7月6日第4回出力系調整

熱出力較正データ 46.17 MW (No.10)に基づいて、出力系の調整を前回と同様の方法で行なつた。  
調整の詳細を以下に記す。

熱出力較正 (46.17 MW 計較正)

実施日 : S. 53.7.6

1. 較正方法

原子炉熱出力 46.17 [MW] 時における出力系各ch の較正をモニタ利得調整用 VR<sub>2</sub>によりモニタ出力電圧では 7.387 [V] に調整し、さらに指示計指示値の調整を実施

した。以下に較正前の値を記す。

○較正前

ch	423盤 指示計	記録計	モニタ盤 指示計	モニタ出力 電圧
ch 6	99.5	99.5	99.5	7.952 (V)
ch 7	96	96	96	7.782
ch 8	96	96	96	7.785

○較正後

ch	423盤 指示値	記録計	モニタ盤 指示計	モニタ出力 電圧
ch 6	92	92	94	7.385 (V)
ch 7	91.5	91.5	88.5	7.385
ch 8	91	91.5	92	7.385

○モニタ電圧調整後、記録計、指示計を 92% に調整

○ 423盤指示計

モニタ VR-4 により調整

○ モニタ指示計

モニタ VR-3 により調整

○ 指示計

指示計スパン調整

5.1.6 7月7日第5回出力系調整

熱出力較正データ 50.62 MW (No.11) に基づいて、出力系の調整を、前回と同様の方法で行った。

調整の詳細を以下に記す。

1. 較正方法

実施日 S. 53. 7. 7  
熱出力較正 (熱出力 50.62 MW) のデータにもとづく核計装出力系の第5回調整データ

○較正後

ch	423盤 指示計	記録計	モニタ盤 指示計	モニタ出力 電圧
ch - 6	100	99.5	99.5	7.965 (V)
ch - 7	99	99	99	7.932
ch - 8	100	99.5	99.5	7.935

○較正後

ch	423盤 指示計	記録計	モニタ盤 指示計	モニタ出力 電圧
ch - 6	101	101	101	8.083 (V)
ch - 7	101	101.5	101	8.084
ch - 8	101.5	101.5	101	8.082

5.1.7 7月8日の熱出力較正曲線  
(No.12～20)

これ以前の較正において、再現性及び直線性的欠如していた原因が、原子炉の運転履歴にある可能性を勘案して、短時間での出力上昇を行ない、その際適当な出力レベルで数十分の出力保持をし、各々熱出力較正を行なった。  
熱出力の範囲は、11 MW から 50 MW である。ここで、出力系は前日の7月7日に熱出力 50.62 MW で、第5回の調整がなされた状態であった。

- ① 热出力及び出力系指示値の測定の誤差を考えると、較正曲線は、充分な直線性を持っている。
- 結果を図 5-2-1～3 に示す。

- ④ 50 MW の点では、出力系指示値と熱出力は一致し、15 MW 程度の低出力では、出力系指示値は熱出力よりも、約 2 ～ 3 % 小さい。
- ⑤ ch.7 と ch.8 については、range 6 と 7 の切替によるシフトは見られないが、ch. 6 については、若干のずれがある。

- 5.1.8 7月21日の熱出力較正曲線  
(No.38～42)
- 7月8日と同様に、出力上昇時ににおける各出力レベルでの熱出力較正を行なった。  
原子炉熱出力 50.62 (MW) 時において出力系各 ch モニタ利得調整用 VR2 調整により較正を実施した。以下に較正後の出力系各 ch の指示値、モニタ出力電圧を記す。

熱出力の範囲は、12～53MWで、インターバルは約10MWである。ここで、出力系は、7月7日の第5回調整を受けたままで、7月8日の校正時と同じ状態である。

- (1) 今回も、直線性は非常に良好である。
- (2) 出力系指示値100%において、熱出力は53.3MWとなり、出力系指示値の100%が熱出力よりも6%ほど小さくなつた。熱出力15MW時に、出力系の方が4～5%小さい。
- (3) 今回も、ch.7とch.8については、range 6と7の切替によるシフトは見られないが、ch.6については、1%のずれがある。

運転履歴の点から見ると、7月8日時点は、それ以前に40～50MWの高出力連続運転を半月以上行なっているのに對して、7月21日時点は、約6日の休止直後という差異がある。

### 5.1.9 7月24日第6回出力系調整

熱出力校正データ49.56MW(No.43)に基づいて、出力系の調整を前回と同様の方法で行なつた。

調整の詳細を以下に記す。

熱出力校正(熱出力49.56Mwt)のデータにともづく核計算出力系の第6回調整データ

実施日 : S.58.7.24

#### 1. 調整方法

熱出力49.56(Mwt)のデータにともづいてモニタ出力電圧を利得調整抵抗VR<sub>2</sub>の調整により校正した。またその際のモニタ及び原子炉制御盤の指示値を調整した。(VR<sub>3</sub>及びVR<sub>4</sub>)

#### 2. モニタ出力電圧

熱出力49.56(Mwt)での出力系指示は99.12(%)となる。

$$99.12(\%) \times \frac{10(V)}{125(\%)} = 7.830(V)$$

に相当する。

#### 3. 調整データ

モニタ出力電圧[V]	モニタ指示計[%]	#423指示計[%]		#423記録計[%]
		較正前	較正後	
ch.6 7.693	7.932	95.0	98.0 (99.0)	99.0 96.0 99.5
ch.7 7.751	7.930	96.0 (99.0)	97.0	99.0 97.0 99.3
ch.8 7.646	7.931	95.5	99.0 (99.0)	95.8 99.5 99.9 99.5

### 5.1.10 7月25日の熱出力較正曲線(官庁立合)

(No.44～47)

前日の7月24日に第6回の調整を行なった状態で、PT-11熱出力校正の官庁立合を受け、合格した。

熱出力の範囲は、16～50MWで、インターバルは約10MWである。

結果を、図5-4-1～3に示す。

- ① 直線性は、非常に良好である。
- ② 50MWの点では、出力系指示値と熱出力は良く一致し(ch.8は若干ずれた。) 16MWの

低出力では、出力系指示値の方が、熱出力よりも2～3%小さい。

### 5.1.11 8月6～7日の出力降下時における熱出力較正曲線

(No.52～62)

今までの熱出力較正曲線は、すべて出力上昇時に得られたものであったので、今回、出力降下時ににおける熱出力較正曲線を測定した。熱出力の範囲は、50～13MWで、インターバルは5～10MWである。ここで出力系は、7月24日の第6回調整を受けた状態のままである。

他の試験との関係で、各出力レベルでの保持時間が長かっただので、それぞれ、保持開始と終了の2点を測定している。

結果を図5-5-1～3に示す。

- ① 直線性は良好である。
- ② 50MWでは、熱出力よりも出力系指示値の方が2～3%ほど大きく、13MWでは、2%ほど小さい。
- ③ 出力下降時と上昇時の較正曲線に差異はみられない。

### 5.1.12 8月11日の100時間連続運転開始時の熱出力較正曲線

(No.63～66)

100時間連続運転の開始時に、測定したものである。出力系の状態は、7月24日に第6回の調整をしたままであるが、但し、運転前に、約3日の休止期間があった。

熱出力の範囲は、17～50MWであり、約10MWインターバルで測定を行なつた。

結果を図5-6-1～3に示す。

- ① 直線性は、非常に良好である。
- ② 50MWでは、熱出力よりも出力系指示値の方が1～2%ほど小さく、17MWでは2～3%ほど小さい。

## 5.1.13 8月11～16日 の 100時間連続運転中の熱出力較正

(No. 66～77)

100時間連続運転時は、ch. 6 出力系指示値が 100 %を維持するように、1日に約2回調整器を引き抜く運転が行なわれた。この間、1日に約2回の熱出力較正を行なった。この結果を図5-7-1～3に示す。

この測定は、今までの熱出力較正曲線とは違って、運転測定時の出力系指示値に対する熱出力の変化を時間を使って、測定したものであり、熱出力較正の直線性ではなく、再現性に関するものであると言える。

結果の図を見ると、(出力系指示値) / (熱出力) の rate が、運転の経過とともに、次第に大きくなるようシフトしていく事がわかる。特に、これは、運転開始の初期において著しい。

ch. 6について、これを見やすくするために、横軸に測定日を、縦軸に、(出力系指示値) / (熱出力) の rate をとったものを図5-8及び表5-2に示す。

測定誤差による若干のバツキはあるが、運転が進むにつれて、熱出力に対して出力系指示値が上に凸で世論なカーブで増加している。

ch. 7・8も同様である。

## 5.2 中間系の較正及び調整結果

## 5.2.1 7月8日の調整以前の熱出力較正曲線

(No. 1～10, 12～13)

中間系の調整は、熱出力 16.29 MW (No. 13) で、7月8日に行なわれたが、それ以前の熱出力較正データをまとめて図5-9～1～3に示す。

この時点での中間系の状態は、低出力試験時に NT-41 核出力較正試験で 1977年6月20日に調整されたままであった。

① ch.3～5とも、熱出力約 10～30 MW の範囲では、熱出力に対して、良い直線性を持っている。

② ch.3とch.4は、熱出力 11 MW で約 10 % 热出力よりも指示値が小さい。

③ ch.5は、前2者と相當に異なっていて、熱出力 11 MW で約 13 %, 26 MW で約 25 % 热出力よりも、指示値が小さい。

④ ch.3～5とも熱出力約 30 MW を越えると、急激に指示値が上昇する。熱出力 46 MW 時に、ch.3は 116 %, ch.4は 106 %, ch.5は 56 % の指示値を示した。

## 5.2.2 7月8日の中間系調整

熱出力較正データ 16.29 MW (No. 13) に基づいて、中間系 ch. 3～5 のキャンセル前置増幅器利得調整用抵抗 VR<sub>1</sub> 及び帯域増幅器利得調整用抵抗 VR<sub>1</sub> の操作により、中間系の調整を実施し

た。  
(No. 66～77)

また、モニタ指示出力の調整を、対数増幅器 VR<sub>2</sub> で実施した。  
調整の詳細を以下に記す。

熱出力較正 (16.29 MWt) のデータにもとづく核計装中間系の調整データ

実施日 : S. 53. 7. 8

## 1. 調整方法

原子炉熱出力 16.29 [MWt] 時において中間系各 ch のキャンセル前置増幅器 (Pre Amp) 利得調整用抵抗 VR<sub>1</sub> 及び帯域増幅器 (BPS) 利得調整用抵抗 VR<sub>1</sub> の操作により較正を実施した。  
モニタ指示計調整は対数増幅器 VR<sub>2</sub> で実施した。  
(モニタ出力電圧の算出)

$$\text{モニタ出力電圧} : x = 1.666 (\log 10^6 + \log 3.258) = 8.333 + 0.855 = 9.188 [\text{V}]$$

$$16.29 \text{ MWt} \times \frac{50}{100} = 32.58 \% \text{ より}$$

モニタ電圧 : x

調整データ)

ch	項目	較正前	較正後	調整	備考
ch. 3	モニタ出力 電圧 [V]	8.961	9.188	—	○ Pre Amp VR <sub>1</sub> で 9.141 V まで 9.141 V → 9.211 V までは BPS VR <sub>1</sub> で調整し、さらに Pre Amp VR <sub>1</sub> で 9.211 V → 9.188 V に調整した。
	# 423 指示計 (%)	25	33	—	
	モニタ指示計 [%]	28	40	33	
ch. 4	モニタ出力 電圧 [V]	8.990	9.188	—	○ Pre Amp VR <sub>1</sub> で 9.188 V に調 整した。
	# 423 指示計 (%)	26	33	—	
	モニタ指示計 [%]	30	40	33	
ch. 5	モニタ出力 電圧 [V]	8.627	9.188	—	○ Pre Amp VR <sub>1</sub> で 9.188 V に調 整した。
	# 423 指示計 (%)	16	33	—	
	モニタ指示計 [%]	15	40	33	

(\*) # 423 記録計は較正後 33 % 値示で正常であった。

### 5.2.3 7月8日の熱出力較正曲線

(No.13～17)

7月8日に、熱出力16.29MWで中間系の調整を行なったのち、出力を上昇して、熱出力較正曲線を作成した。

較正熱出力の範囲は16～36MWであり、インターバルは約5MWである。

結果を図5-10-1～3に示す。

- ① ch.3～5とも、16MWの時点で既に、直線性は失われている。
- ② 調整以前は、ch.5のみ他チャンネルと異なる指示値を示したが、調整後は、いずれも同様の挙動を示すようになった。

③ 热出力36MWにおいて、ch.3指示値は108%，ch.4は98%，ch.5は116%となつた。

但し、中間系は対数出力であり、上記値を電圧に換算すると、順に10.057volt, 9.989volt, 10.108voltとなり、各ch間のずれは1%以内で、測定誤差及び調整誤差の範囲内である。

### 5.2.4 7月21日の熱出力較正曲線

(No.38～40)

7月8日と同様に、出力上昇時において、各出力レベルで熱出力較正を行なつた。但し、測定期点は12MW, 18MW, 28.5MWの3点のみである。

結果を図5-11-1～3に示す。

- ① 热出力12MWの辺り、既に、直線性が失われ始めているようである。
- ② 7月8日の調整レベル16MWでは、熱出力より中間系指示値の方が約2%大きいと推測される。これは、変化の幅は小さいが、傾向は、出力系で見られた再現性の欠如と同様の現象である。

運転履歴の点から見ると、7月8日時点は、それ以前に40～50MWの高出力連続運転を半月以上行なつているのにに対して、7月21日時点は約6日の休止直後という差異がある。

### 5.3 核計装のオーバーラップ確認

#### 5.3.1 中間系と出力系のオーバーラップ

中間系と出力系のオーバーラップ確認試験は、7月20日と7月26日(局立)の2回行なわれた。

いずれの場合も低出力の試験であるため、熱出力測定は行なえず、中間系と出力系の45°直線性をもってオーバーラップ確認とした。

7月20日の試験は、 $1 \times 10^{-3}$ % (500W) から3% (1.5MW) の範囲にわたつて行なわれた。

中間系は7月8日の調整後であり、出力系は7月7日の第5回調整後の状態である。

出力系は、 $2 \times 10^{-3}$ % (1kW) から有感性を示し、 $1.6 \times 10^{-2}$ % (8kW) から3% (1.5

MW) の間に、中間系と出力系は非常に良好な45°直線性を示した。また、出力系のレンジ切換による指示値れども全くない。

7月26日の試験は、官房立合のもとに1% (500kW) から20% (10MW) の範囲にわたつて行なわれた。中間系は7月8日の調整後であり、出力系は7月8日の第6回調整後の状態である。

中間系と出力系は、この試験範囲の間で、非常に良好な45°直線性を示した。

図5-12-1～3に7月20日の試験結果を、ch.3～ch.6, ch.4～ch.7, ch.5～ch.8をそれぞれ組として示す。

図5-13-1～3に7月26日の試験結果を示す。

上記の2回の測定をまとめてみると、出力系は $2 \times 10^{-3}$ % (1kW) から感じ始め、 $1.6 \times 10^{-2}$ % (8kW) から、20% (10MW) の間で中間系と出力系は、非常に良好な45°直線性を持つ。しかし、5.2で示したように、中間系は24% (12MW) 付近から直線性を失い始め、使用できなくなる。

以上のまとめを図5-16に図示する。

### 5.3.2 起動系と中間系のオーバーラップ

7月8日に、中間系を熱出力16.29MW許に、これに合わせて調整しているため、起動系と中間系のオーバーラップ確認を7月20日に行なつた。試験範囲は1～ $10^{-3}$ % (500W) から $7 \times 10^{-2}$ % (35kW) である。

中間系は $1 \times 10^{-3}$ % (500W) で感じ始めており、 $3 \times 10^{-3}$ % (1.5kW) から $4 \times 10^{-2}$ % (20kW) の範囲で起動系と良好な45°直線性を持つ。

図5-14-1～3に、ch.1に対するch.3・4・5の指示値を示す。  
 $3 \times 10^{-3}$ % (1.5kW) より下で直線性が失われるのは中間系のノイズによるものと考えられる。  
 $4 \times 10^{-2}$ % (20kW) より上で直線性が失われるのは、起動系のカウント数の飽和によるものである。

上の対応には、起動系としてch.1を用いたので、図5-15に起動系ch.1とch.2の相関を示す。

起動系と中間系のオーバーラップ状態をまとめて図5-16に示す。

各チャンネルのオーバーラップ領域を最小自乗法によりfittingした結果を示す。

① ch.1とch.3

$$(ch.3) \% = 3.838 \times 10^{-7} (ch.1)^{0.9875}$$

(fitting 誤差 log 値で $1.4 \times 10^{-2}$ 以下)

② ch.1とch.4

$$(ch.4) \% = 2.096 \times 10^{-7} (ch.1)^{1.049}$$

(fitting 誤差 log 値で $5.1 \times 10^{-3}$ 以下)

③ ch. 1 と ch. 5  
 $(ch. 5) \eta_6 = 2.266 \times 10^{-7} (ch. 1)^{0.040}$   
 $(ch. 2)_{GPs} = 1.000 (ch. 1)^{0.9801}$   
 (fitting 誤差 log 値で  $5.2 \times 10^{-3}$  以下)

<試験結果>  
 case 1 を 0 に規格した ch. 6 に対する  
 变動量

	調整棒位置		出力系変動量	
	RR 1	RR 2	ch. 7	ch. 8
case. 1	504 mm	504 mm	0.0	0.0
case. 2	700	401	+1.2%	-1.2%
case. 3	399	700	-0.8%	+1.9%

#### 5.4 制御棒差換効果

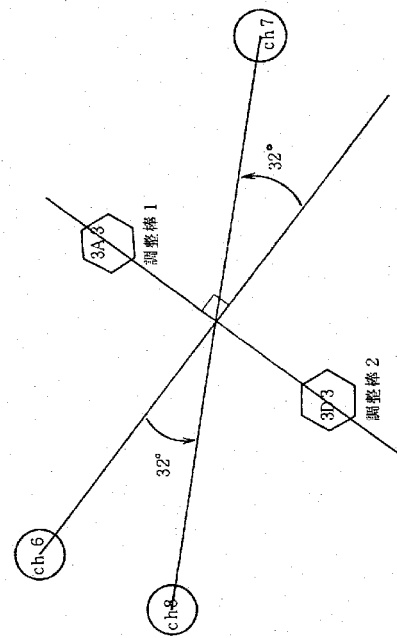
7月21日に、制御棒の差し換えが、出力系の各ch.に与える影響を見るための試験を行なった。  
 試験は、熱出力約48MWで、以下の3ケースにおける各ch.の指示値を比較する方法をとった。

case. 1 調整棒1 (3A.3) と調整棒2 (3D.3) を均等引抜

case. 2 調整棒1を全引抜

case. 3 調整棒2を全引抜

出力系の各chの調整棒に対する配置を以下に示す。 (図2-2参照)



配置から、ch. 6 には制御棒差換の影響はないと考えられる。従って、試験結果は、ch. 6 に対する変化量として、ch. 7, ch. 8 の指示値を整理する方法をとった。

k5-1 (4) PPT 日燃出力停止試験測定結果

1978年

項目	1	2	3	4	5	6	7	8	9	10	11	12	13	14	15	16	17	18
月	11	4.26	4.27	5.8	5.19	5.25	6.10	6.23	7.4	7.6	7.6	7.8	7.8	7.8	7.8	7.8	7.8	
年	7.56	1.221	1.225	19.37	23.40	25.77	40.28	38.56	45.66									
出力	5.77	5.01	9.86	11.78	13.43	20.38	19.59	23.24										
(MW)	4.15	6.44	6.64	9.51	11.62	12.30	19.90	18.97	22.42									
Na	A	372.4	374.1	372.4	370.6	371.9	369.9	373.2	372.57	368.98								
Al	B	368.4	369.7	367.2	369.7	370.4	370.9	372.5	372.43	369.73								
変更	A	381.2	388.8	386.8	386.2	402.1	404.5	428.2	423.40	431.48								
(CC)	B	379.1	386.3	384.2	384.2	403.3	402.5	428.8	421.23	429.55								
Na	M <sub>1</sub> M <sub>2</sub> M <sub>3</sub>	A	1257.5	1276.4	1221.55	1252.0	1257.4	1262.7	1255.4	1257.17	1211.92							
Al	B	1258.2	1259.2	1267.61	1261.8	1263.7	1271.2	1265.2	1267.89	1222.07								
油循環	RR1 (mm)	457.4	468.4	460.1	448.0	444.1	463.0	458.9	470.0	470.0								
位罫	RR2 (mm)	451.1	451.1	452.5	450.0	468.4	463.0	508.8	506.5	530.0								
閾	指示値	10	18	18	30	40	40	75	70	100以上								
ch	記録計	10	18	18	30	38	40	72	70	100以上								
中	3	計算機(log)	0.429	1.246	1.477	1.388	0.286	1.876	1.856	2.056								
閾	モニタ出力	10.38	17.50	17.06	29.44	38.18	41.88	71.78	72.48	113.40								
ch	指示値	10	20	19	30	40	40	75	70	100以上								
ch	記録計	10	18	18	38	40	40	70	70	100以上								
系	4	計算機(log)	0.436	1.259	1.475	1.41	0.305	1.863	1.846	2.025								
閾	モニタ出力	10.67	17.78	17.30	30.27	41.98	71.78	70.46	107.45									
ch	指示値	7	12	12	30	30	50	40	60	100以上								
ch	記録計	6.4	12	12	18	25	42	40	50	100以上								
系	5	計算機(log)	0.273	1.080	1.295	1.295	0.108	1.661	1.642	1.753								
閾	モニタ出力	7.05	11.75	11.27	19.65	26.55	41.26	43.41	56.29									
ch	指示値	1.5	3.2	3.2	34	50.1	81	78	99									
ch	記録計	1.5	3.3	3.2	34	45.8	51	80	78	99								
出	6	計算機	1.42	2.91	2.88	31.02	46.41	47.38	77.20	75.0	93.35							
力	7	計算機	1.63	3.56	3.44	38.50	49.02	50.51	70.41	77.6	97.25							
ch	モニタ出力	1.64	3.8	3.4	38.5	50.0	51	79	76	96								
ch	記録計	1.62	3.5	3.42	39	49.8	51	79	77	96								
ch	モニタ出力	1.61	3.5	3.4	38.5	49.0	50	79.8	77	96								
ch	記録計	1.61	3.45	3.38	38.55	48.63	50.16	79.65	77.35	96.75								
8	計算機	1.61	3.45	3.38	38.55	49.43	50.63	80.13	78.06	97.18								
備考	range No.	(4.42)	(2.80)	(2.25)	7	7	7	7	7	7								

1978年

k5-1 (2)

項目	1	2	3	4	5	6	7	8	9	10	11	12	13	14	15	16	17	18	
月	11	4.27	5.8	5.19	5.25	6.10	6.23	7.4	7.6	7.6	7.6	7.8	7.8	7.8	7.8	7.8	7.8	7.8	
年	7.56	1.221	1.225	19.37	23.40	25.77	40.28	38.56	45.66										
出力	5.77	5.01	9.86	11.78	13.43	20.38	19.59	23.24											
(MW)	4.15	6.44	6.64	9.51	11.62	12.30	19.90	18.97	22.42										
Na	A	372.4	374.1	372.4	370.6	371.9	369.9	373.2	372.57	368.98									
Al	B	368.4	369.7	367.2	369.7	370.4	370.9	372.5	372.43	369.73									
変更	A	381.2	388.8	386.8	386.2	402.1	404.5	428.2	423.40	431.48									
(CC)	B	379.1	386.3	384.2	384.2	403.3	402.5	428.8	421.23	429.55									
Na	M <sub>1</sub> M <sub>2</sub> M <sub>3</sub>	A	1257.5	1276.4	1221.55	1252.0	1257.4	1262.7	1255.4	1257.17	1211.92								
Al	B	1258.2	1259.2	1267.61	1261.8	1263.7	1271.2	1265.2	1267.89	1222.07									
油循環	RR1 (mm)	457.4	468.4	460.1	448.0	444.1	463.0	458.9	470.0	470.0									
位罫	RR2 (mm)	451.1	451.1	452.5	450.0	468.4	463.0	508.8	506.5	530.0									
閾	指示値	10	18	18	30	40	40	75	70	100以上									
ch	記録計	10	18	18	30	38	40	72	70	100以上									
中	3	計算機(log)	0.429	1.246	1.477	1.388	0.286	1.876	1.856	2.056									
閾	モニタ出力	10.38	17.50	17.06	29.44	38.18	41.88	71.78	72.48	113.40									
ch	指示値	10	20	19	30	40	40	75	70	100以上									
ch	記録計	10	18	18	38	40	40	70	70	100以上									
系	4	計算機(log)	0.436	1.259	1.475	1.41	0.305	1.863	1.846	2.025									
閾	モニタ出力	10.67	17.78	17.30	30.27	41.98	71.78	70.46	107.45										
ch	指示値	7	12	12	30	30	50	40	60	100以上									
ch	記録計	6.4	12	12	18	25	42	40	50	100以上									
系	5	計算機(log)	0.273	1.080	1.295	1.295	0.108	1.661	1.642	1.753									
閾	モニタ出力	7.05	11.75	11.27	19.65	26.55	41.26	43.41	56.29										
ch	指示値	1.5	3.2	3.2	34	50.1	81	78	99										
ch	記録計	1.5	3.3	3.2	34	45.8	51	80	78	99									
出	6	計算機	1.42	2.91	2.88	31.02	46.41	47.38	77.20	75.0	93.35								
力	7	計算機	1.63	3.56	3.44	38.50	49.02	50.51	70.41	77.6	97.25								
ch	モニタ出力	1.64	3.8	3.4	38.5	50.0	51	79	76	96									
ch	記録計	1.62	3.5	3.42	39	49.8	51	79	77	96									
ch	モニタ出力	1.61	3.5	3.4	38.5	49.0	50	79.8	77	96									
ch	記録計	1.61	3.45	3.38	38.55	48.63	50.16	79.65	77.35	96.75									
8	計算機	1.61	3.45	3.38	38.55	49.43	50.63	80.13	78.06	97.18									
備考	range No.	(4.42)	(2.80)	(2.25)	7	7	7	7	7	7									

1978年

k5-1 (2)

項目	1	2	3	4	5	6	7	8	9	10	11	12	13	14	15	16	17	18
月	11	4.27	5.8	5.19	5.25	6.10	6.23	7.4	7.6	7.6	7.6	7.8	7.8	7.8	7.8	7.8	7.8	7.8
年	7.56	1.221	1.225	19.37	23.40	25.77	40.28	38.56	45.66									
出力	5.77	5.01	9.86	11.78	13.43	20.38	19.59	23.24	</td									



1978 年											
A & 5 - 1 (6)						A & 5 - 1 (6)					
No.	W	39	40	41	42	43	44	45	46	47	48
1	II	7.20	7.21	7.21	7.21	7.24	7.25	7.25	7.25	7.26	7.26
出力	401 全体	1206	1813	2847	4350	5326	4956	1639	2735	7.26	8.6
A & -ア		926	1441	2196	2715	2538	857	1401			8.6
(MW)	B & -ア	581	887	1406	2154	2612	2418	802	1334		8.6
No.	A	3695	3698	3699	3697	3690	3695	3700			8.6
A	A11	B	3694	3692	3689	3690	3711	3697	3704		8.6
度	A		385.7	393.8	407.3	426.9	410.2	434.8	406.4		8.6
(°C)	B		384.3	392.0	405.0	424.5	438.3	431.9	389.9	404.7	427.45
Na (M <sup>3</sup> )	A		1252.95	1253.88	1253.82	1253.61	1256.59	1257.7	1251.85	1252.85	427.45
Na (M <sup>3</sup> )	B		1266.67	1264.50	1267.20	1265.55	1268.62	1267.78	1271.27	1265.42	427.45
調節機	R.R.1 (cm)		363.4	454.3	454.3	454.3	454.3	454.3	535.0	465.2	427.45
電流	RR2 (mm)		481.0	481.0	492.0	513.0	509.9	582.7	483.3	504.5	427.45
ch 計 總	2.9	2.9	2.9	2.9	3.7	6.0			330	620	427.45
ch 計 總	2.8	2.8	2.8	2.8	3.5	6.5			320	620	427.45
出力	モニタ出力		2.75	21.53	35.27	63.51	91	91	32.69	61.65	427.45
ch 計 總	2.9	2.9	2.9	2.9	3.8	6.5			330	620	427.45
出力	モニタ出力		2.85	22.0	35	62.0			320	620	427.45
ch 計 總	2.85	2.85	2.85	2.85	3.5	6.3			320	620	427.45
出力	モニタ出力		4	0.412	1.337	1.543	1.786	1.513	1.778		427.45
ch 計 總	4	4	4	0.412	1.337	1.543	1.786	1.513	1.778		427.45
出力	モニタ出力		5	0.414	1.345	1.546	1.808	1.514	1.785		427.45
ch 計 總	5	5	5	0.414	1.345	1.546	1.808	1.514	1.785		427.45
出力	モニタ出力		6	2.77	21.37	35.37	62.64	32.35	59.93		427.45
ch 計 總	6	6	6	2.77	20.1	31.9	59.0	79.3	99.7	96.0	427.45
出力	モニタ出力		7	2.75	20.4	31.9	50.1	80.1	99.9	95.9	427.45
ch 計 總	7	7	7	2.75	20.1	31.7	51.0	80.1	99.7	96.0	427.45
出力	モニタ出力		8	2.45	15.97	24.99	51.44	80.62	99.67	96.82	427.45
ch 計 總	8	8	8	2.45	20.0	31.9	50.4	80.6	100.5	95.8	427.45
出力	モニタ出力		range No.	5	6	6/7	7	7	7	7	427.45
ch 計 總	9	9	9	2.45	20.6	32.0	52.0	81.4	100.9	95.8	427.45
出力	モニタ出力		9	2.64	20.40	31.94	51.65	80.59	99.81	96.86	427.45
ch 計 總	10	10	10	2.64	20.45	31.95	51.92	81.35	100.70	95.59	427.45
出力	モニタ出力		10	2.64	20.45	31.95	51.99	81.35	100.70	95.59	427.45
ch 計 總	11	11	11	2.64	20.45	31.95	51.99	81.35	100.70	95.59	427.45
出力	モニタ出力		11	2.64	20.45	31.95	51.99	81.35	100.70	95.59	427.45
ch 計 總	12	12	12	2.64	20.45	31.95	51.99	81.35	100.70	95.59	427.45
出力	モニタ出力		12	2.64	20.45	31.95	51.99	81.35	100.70	95.59	427.45
ch 計 總	13	13	13	2.64	20.45	31.95	51.99	81.35	100.70	95.59	427.45
出力	モニタ出力		13	2.64	20.45	31.95	51.99	81.35	100.70	95.59	427.45
ch 計 總	14	14	14	2.64	20.45	31.95	51.99	81.35	100.70	95.59	427.45
出力	モニタ出力		14	2.64	20.45	31.95	51.99	81.35	100.70	95.59	427.45
ch 計 總	15	15	15	2.64	20.45	31.95	51.99	81.35	100.70	95.59	427.45
出力	モニタ出力		15	2.64	20.45	31.95	51.99	81.35	100.70	95.59	427.45
ch 計 總	16	16	16	2.64	20.45	31.95	51.99	81.35	100.70	95.59	427.45
出力	モニタ出力		16	2.64	20.45	31.95	51.99	81.35	100.70	95.59	427.45
ch 計 總	17	17	17	2.64	20.45	31.95	51.99	81.35	100.70	95.59	427.45
出力	モニタ出力		17	2.64	20.45	31.95	51.99	81.35	100.70	95.59	427.45
ch 計 總	18	18	18	2.64	20.45	31.95	51.99	81.35	100.70	95.59	427.45
出力	モニタ出力		18	2.64	20.45	31.95	51.99	81.35	100.70	95.59	427.45
ch 計 總	19	19	19	2.64	20.45	31.95	51.99	81.35	100.70	95.59	427.45
出力	モニタ出力		19	2.64	20.45	31.95	51.99	81.35	100.70	95.59	427.45
ch 計 總	20	20	20	2.64	20.45	31.95	51.99	81.35	100.70	95.59	427.45
出力	モニタ出力		20	2.64	20.45	31.95	51.99	81.35	100.70	95.59	427.45
ch 計 總	21	21	21	2.64	20.45	31.95	51.99	81.35	100.70	95.59	427.45
出力	モニタ出力		21	2.64	20.45	31.95	51.99	81.35	100.70	95.59	427.45
ch 計 總	22	22	22	2.64	20.45	31.95	51.99	81.35	100.70	95.59	427.45
出力	モニタ出力		22	2.64	20.45	31.95	51.99	81.35	100.70	95.59	427.45
ch 計 總	23	23	23	2.64	20.45	31.95	51.99	81.35	100.70	95.59	427.45
出力	モニタ出力		23	2.64	20.45	31.95	51.99	81.35	100.70	95.59	427.45
ch 計 總	24	24	24	2.64	20.45	31.95	51.99	81.35	100.70	95.59	427.45
出力	モニタ出力		24	2.64	20.45	31.95	51.99	81.35	100.70	95.59	427.45
ch 計 總	25	25	25	2.64	20.45	31.95	51.99	81.35	100.70	95.59	427.45
出力	モニタ出力		25	2.64	20.45	31.95	51.99	81.35	100.70	95.59	427.45
ch 計 總	26	26	26	2.64	20.45	31.95	51.99	81.35	100.70	95.59	427.45
出力	モニタ出力		26	2.64	20.45	31.95	51.99	81.35	100.70	95.59	427.45
ch 計 總	27	27	27	2.64	20.45	31.95	51.99	81.35	100.70	95.59	427.45
出力	モニタ出力		27	2.64	20.45	31.95	51.99	81.35	100.70	95.59	427.45
ch 計 總	28	28	28	2.64	20.45	31.95	51.99	81.35	100.70	95.59	427.45
出力	モニタ出力		28	2.64	20.45	31.95	51.99	81.35	100.70	95.59	427.45
ch 計 總	29	29	29	2.64	20.45	31.95	51.99	81.35	100.70	95.59	427.45
出力	モニタ出力		29	2.64	20.45	31.95	51.99	81.35	100.70	95.59	427.45
ch 計 總	30	30	30	2.64	20.45	31.95	51.99	81.35	100.70	95.59	427.45
出力	モニタ出力		30	2.64	20.45	31.95	51.99	81.35	100.70	95.59	427.45
ch 計 總	31	31	31	2.64	20.45	31.95	51.99	81.35	100.70	95.59	427.45
出力	モニタ出力		31	2.64	20.45	31.95	51.99	81.35	100.70	95.59	427.45
ch 計 總	32	32	32	2.64	20.45	31.95	51.99	81.35	100.70	95.59	427.45
出力	モニタ出力		32	2.64	20.45	31.95	51.99	81.35	100.70	95.59	427.45
ch 計 總	33	33	33	2.64	20.45	31.95	51.99	81.35	100.70	95.59	427.45
出力	モニタ出力		33	2.64	20.45	31.95	51.99	81.35	100.70	95.59	427.45
ch 計 總	34	34	34	2.64	20.45	31.95	51.99	81.35	100.70	95.59	427.45
出力	モニタ出力		34	2.64	20.45	31.95	51.99	81.35	100.70	95.59	427.45
ch 計 總	35	35	35	2.64	20.45	31.95	51.99	81.35	100.70	95.59	427.45
出力	モニタ出力		35	2.64	20.45	31.95	51.99	81.35	100.70	95.59	427.45
ch 計 總	36	36	36	2.64	20.45	31.95	51.99	81.35	100.70	95.59	427.45
出力	モニタ出力		36	2.64	20.45	31.95	51.99	81.35	100.70	95.59	427.45
ch 計 總	37	37	37	2.64	20.45	31.95	51.99	81.35	100.70	95.59	427.45
出力	モニタ出力		37	2.64	20.45	31.95	51.99	81.35	100.70	95.59	427.45
ch 計 總	38	38	38	2.64	20.45	31.95	51.99	81.35	100.70	95.59	427.45
出力	モニタ出力		38	2.64	20.45	31.95	51.99	81.35	100.70	95.59	427.45
ch 計 總	39	39	39	2.64	20.45	31.95	51.99	81.35	100.70	95.59	427.45
出力	モニタ出力		39	2.64	20.45	31.95	51.99	81.35	100.70	95.59	427.45
ch 計 總	40	40	40	2.64	20.45	31.95	51.99	81.35	100.70	95.59	427.45
出力	モニタ出力		40	2.64							

[978-17]

1978年

K5-118												1978.4.															
No.	B	66	67	68	69	70	71	72	No.	B	66	67	68	69	70	71	72										
燃出力	単位	8.11	8.11	8.12	8.12	8.13	8.13	8.14	燃出力	単位	8.11	8.11	8.12	8.12	8.13	8.13	8.14	8.14	8.14	8.14	8.14	8.14	8.14				
J	A. $\mu$ -T	27.09	41.43	50.76	50.15	49.86	49.15	48.95	J	A. $\mu$ -T	21.13	25.71	25.39	25.29	25.02	24.93	24.64	24.72	48.98	48.70	48.50	48.30	48.10				
(NW)	B. $\mu$ -T	13.85	20.31	29.31	24.98	24.76	24.57	24.13	(NW)	B. $\mu$ -T	11.23	20.70	31.03	31.01	36.9	37.0	36.945	37.01	35.98	23.94	23.98	23.94	23.98	23.98			
Na	単位	37.01	37.0	37.0	37.05	37.04	37.02	37.04	Na	単位	37.03	37.0	37.05	37.04	37.02	37.04	37.02	37.01	35.98	35.98	35.98	35.98	35.98	35.98			
度	単位	A	A	A	A	A	A	A	度	単位	B	B	B	B	B	B	B	B	度	単位	B	B	B	B			
(°C)	単位	40.61	42.23	43.48	43.75	43.62	43.57	43.50	(°C)	単位	42.03	42.23	43.48	43.75	43.62	43.57	43.50	43.43	43.41	43.41	43.41	43.41	43.41	43.41	43.41		
Na <sup>M<sup>3</sup></sup>	単位	A	A	A	A	A	A	A	Na <sup>M<sup>3</sup></sup>	単位	B	B	B	B	B	B	B	B	Na <sup>M<sup>3</sup></sup>	単位	A	A	A	A			
電離能	RRI (mm)	125.675	125.220	125.220	125.326	125.326	125.326	125.326	電離能	RRI (mm)	126.740	126.236	126.407	126.538	126.611	126.726	126.415	126.415	126.415	126.415	126.415	126.415	126.415	126.415			
位置	RRS2 (mm)	494.9	515.0	515.0	515.0	515.0	515.0	515.0	位置	RRS2 (mm)	490.5	500.0	523.7	524.0	524.0	524.0	515.0	515.0	515.0	515.0	515.0	515.0	515.0	515.0			
ch	指示 値	3	記録 計	中	計算機(log)	中	中	中	ch	指示 値	4	記録 計	中	計算機(log)	中	中	中	ch	指示 値	5	記録 計	中	計算機(log)	中			
モニタ出力	引	引	引	引	引	引	引	モニタ出力	引	引	引	引	引	引	引	引	モニタ出力	引	引	引	引	引	引	引			
ch	指示 値	6	記録 計	中	計算機	中	中	中	ch	指示 値	7	記録 計	中	計算機	中	中	中	ch	指示 値	8	記録 計	中	計算機	中			
モニタ出力	引	引	引	引	引	引	引	モニタ出力	引	引	引	引	引	引	引	引	モニタ出力	引	引	引	引	引	引	引			
ch	指示 値	50.0	79.4	100.0	100.0	100.0	100.0	100.0	ch	指示 値	50.3	79.4	100.0	100.0	99.9	99.8	99.8	99.8	ch	指示 値	51.8	80.2	100.0	99.9	99.8	99.8	
6	記録 計	50.3	79.4	100.0	100.0	100.0	100.0	100.0	6	記録 計	47.44	76.84	96.5	96.58	96.47	96.33	96.37	96.37	6	記録 計	51.23	80.5	100.19	100.14	100.01	99.90	
計算機	モニタ出力	80.37	90.57	99.59	99.55	99.48	99.40	99.33	計算機	モニタ出力	51.39	80.25	95.58	93.56	93.47	99.43	99.37	99.33	計算機	モニタ出力	51.39	80.25	95.58	93.56	93.47	99.33	
ch	指示 値	51.2	79.9	100.0	100.0	100.0	100.0	100.0	ch	指示 値	50.1	79.5	100.0	100.1	100.1	100.0	100.0	100.0	ch	指示 値	52.0	80.9	100.7	100.4	100.2	100.0	
7	記録 計	51.8	80.2	100.0	99.9	99.8	99.7	99.6	7	記録 計	51.37	80.47	100.00	99.92	98.79	99.57	99.47	99.38	7	記録 計	51.70	80.68	100.32	100.19	99.91	99.82	
計算機	モニタ出力	99.57	99.55	99.48	99.40	99.36	99.32	99.32	計算機	モニタ出力	7	7	7	7	7	7	7	7	計算機	7	7	7	7	7	7		
ch	指示 値	range No.	7	7	7	7	7	7	ch	指示 値	range No.	7	7	7	7	7	7	7	ch	指示 値	range No.	7	7	7	7	7	7
8	記録 計	99.88	99.82	99.77	99.77	99.77	99.77	99.77	8	記録 計	99.91	99.88	99.82	99.77	99.77	99.77	99.77	99.77	8	記録 計	99.90	99.86	99.82	99.77	99.77	99.77	
計算機	モニタ出力	同左	同左	同左	同左	同左	同左	同左	計算機	モニタ出力	同左	同左	同左	同左	同左	同左	同左	計算機	モニタ出力	同左	同左	同左	同左	同左	同左		

卷5-2 100時間連續測定時の熱出力修正値(2)遷移

Na 66 ~ 77)

較正通しNo.	測定月日時刻	ch. 6 出力系指示値 (%)	熱出力×2 (MW)
66	8/11 16 : 00	0 9 8 6 9	
67	8/12 9 : 00	0 9 9 8 4	
68	8/12 17 : 00	1 0 0 2 9	
69	8/13 9 : 00	1 0 1 7 4	
70	8/13 17 : 00	1 0 1 9 4	
71	8/14 9 : 00	1 0 2 6 3	
72	8/14 17 : 00	1 0 2 4 0	
73	8/15 9 : 00	1 0 2 8 9	
74	8/15 13 : 00	1 6 2 7 5	
75	8/15 17 : 00	1 0 3 1 0	
76	8/15 23 : 30	1 0 2 8 3	
77	8/16 9 : 30	1 0 3 1 2	

1978 44

制御棒差換-1

表 5-3-1 PT-11 熱出力校正試験測定結果  
1978年7月21日 18時35分

炉 热 出 力	*1 (48・38) MW	Aルーブ(25・13)MW Bルーブ(23・25)MW
制御棒位置	調 整 棒 1	調 整 棒 2
	504・3 mm	504・3 mm
	Aルーブ	Bルーブ
炉入口Na温度	369・8 °C	371・0 °C
炉出口Na温度	434・4 °C	431・3 °C
*2 Na 流 量	1243・ m <sup>3</sup> /hr	1264・ m <sup>3</sup> /hr

核計装出力

測 定 項 目		ch. 1	ch. 2	ch. 3	ch. 4	ch. 5
指 示 値	CPS					
記 録 計	CPS					
起 動 系 計 算 機	CPS					
モニタ出力	CPS					
		ch. 3	ch. 4	ch. 5		
指 示 値	%					
中 間 系 計 算 機	log %					
モニタ出力	%					
		ch. 6	ch. 7	ch. 8		
指 示 値	%	90.0	90.0	90.0		
出 力 系 計 算 機 (range)	%					
モニタ出力	%	90.01	90.54	90.01		
ch 6との差		+ 0.53	0.0			

\* 1) 熱出力計チャート読み値  
\* 2) H-500出力

制御棒差換-2	表 5-3-2 PT-11 熱出力校正試験測定結果 1978年7月21日 19時05分
炉 熱 出 力	*2 (48・30) MW
調 整 棒 1	調 整 棒 2
調 整 棒 位置	700・6 mm
	400・7 mm
Aルーブ	Bルーブ
炉入口Na 温度	369・8 °C
炉出口Na 温度	434・3 °C
*2 Na 流 量	1245・ m <sup>3</sup> /hr
	1260・ m <sup>3</sup> /hr

核計装出力	測 定 項 目	ch. 1	ch. 2
	指 示 値 CPS	CPS	
起 動 系 計 算 機	CPS	CPS	
	モニタ出力 CPS	CPS	
		ch. 3	ch. 4
中 間 系 計 算 機	log %		
モニタ出力	%		
		ch. 6	ch. 7
指 示 値	%	90.0	90.0
出 力 系 計 算 機 (range)	%		
モニタ出力	%	90.16	91.86
ch 6との差		+ 1.7 %	+ 1.17 %
		- 1.15 %	- 1.15 %

\* 1) 熱出力計チャート読み値  
\* 2) H-500出力

制御盤老換 - 3		表 5-3-3 PT-11 熱出力校正試験測定結果			1978年7月21日 19時29分		
炉 热 出 力	* 1) (48・00) MW	Aループ (24・82) MW	Bループ (23・18) MW				
制御棒位置	調 整 棒 1	調 整 棒 2					
	398・9 mm	700・1 mm					
炉入口Na 温度	Aループ	Bループ					
	369・7 °C	371・1 °C					
炉出口Na 温度	433・2 °C	432・0 °C					
* 2) Na 流 量	1242・m³/hr	1259・m³/hr					

核計装出力							
測 定 項 目		ch. 1	ch. 2	ch. 3	ch. 4	ch. 5	ch. 6
指 示 値	CPS						
記 錄 計	CPS						
起 動 系	計算 機	CPS					
	モニタ出力	CPS					
中 間 系	指 示 値	%					
	記 錄 計	%					
	計 算 機	log%					
(range)	モニタ出力	%					
出 力 系	指 示 値	%	ch. 6	ch. 7	ch. 8		
	記 錄 計	%					
	計 算 機	%					
	モニタ出力	%					
(range)	ch 6 と の 差		89.9	89.9	91.9		
	均等引抜を 0 とする						

\* 1) 熱出力計チャート読み込み値

\* 2) H-500 出力

PT-11 熱出力校正試験測定結果

1978年7月21日 19時29分

核計装出力 (%)

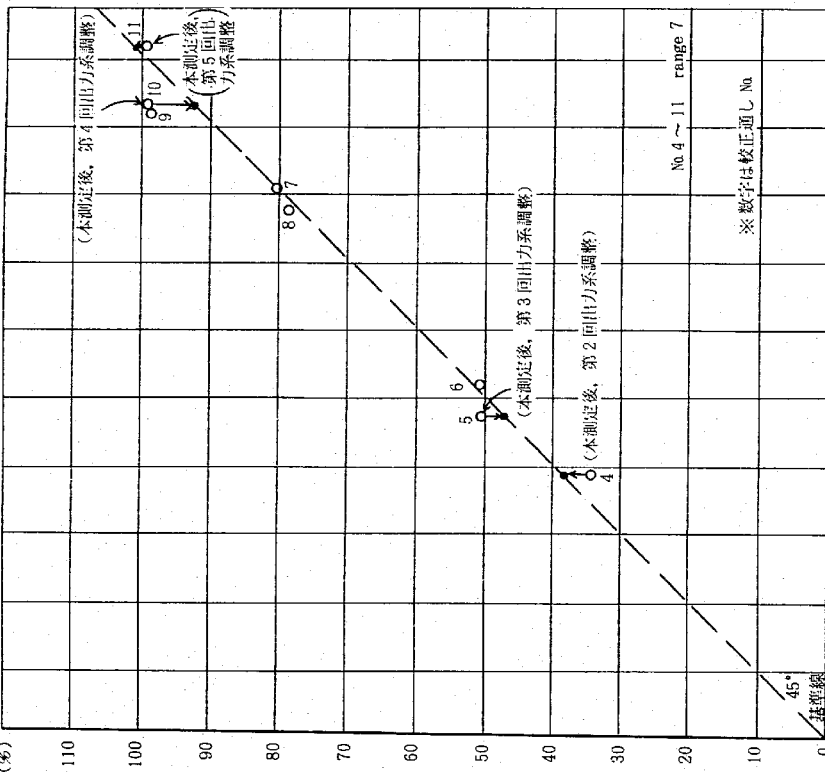


図 5-1-1 熱出力較正曲線 (No. 4 ~ 11)

出力系 ch. 6 < 5月19日～7月7日の測定値  
(第2～5回出力系調整を含む) >

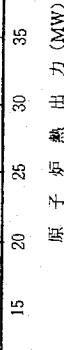


図 5-1-1 熱出力較正曲線 (No. 4 ~ 11)

出力系 ch. 6 < 5月19日～7月7日の測定値  
(第2～5回出力系調整を含む) >

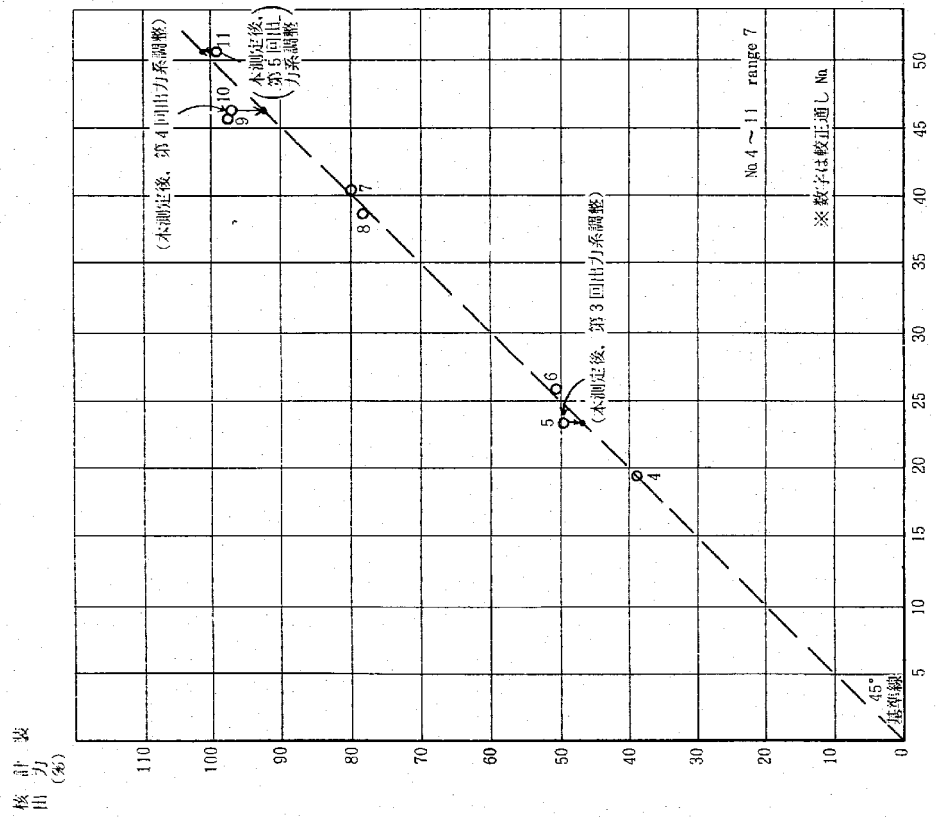


図 5-1-2 熱出力較正曲線 (No. 4 ~ 11)

出力系 ch. 7 < 5月19日～7月7日の測定値  
(第3～5回出力系調整を含む) >

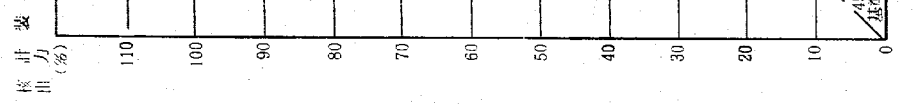


図 5-1-3 熱出力較正曲線 (No. 4 ~ 11)

出力系 ch. 8 < 5月14日～7月7日の測定値  
(第3～5回出力系調整を含む) >

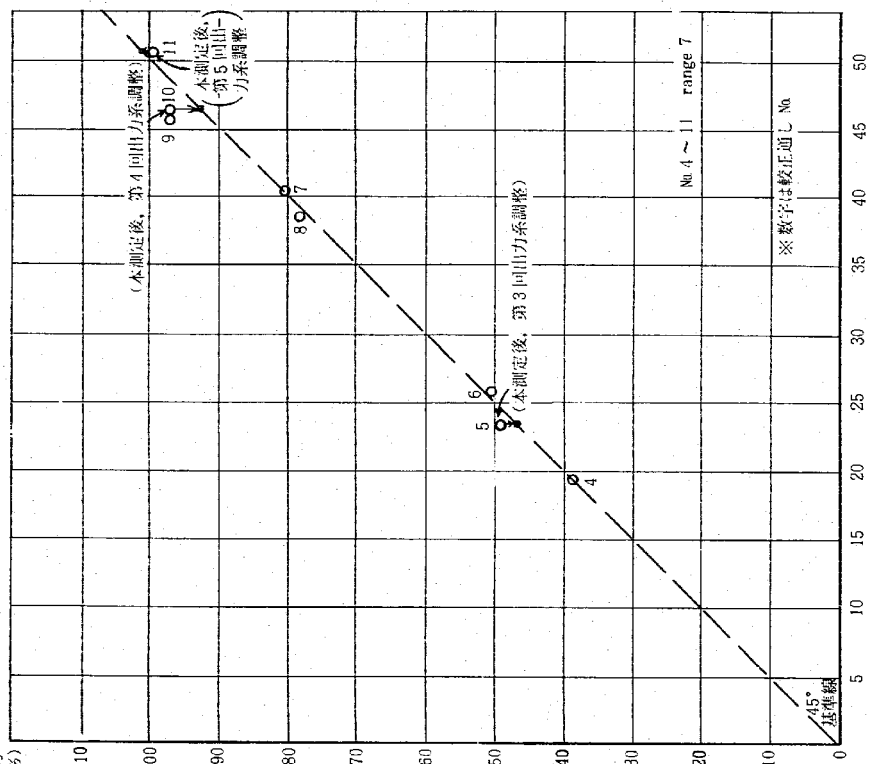


図 5-1-4 熱出力較正曲線 (No. 4 ~ 11)

出力系 ch. 9 < 5月14日～7月7日の測定値  
(第3～5回出力系調整を含む) >

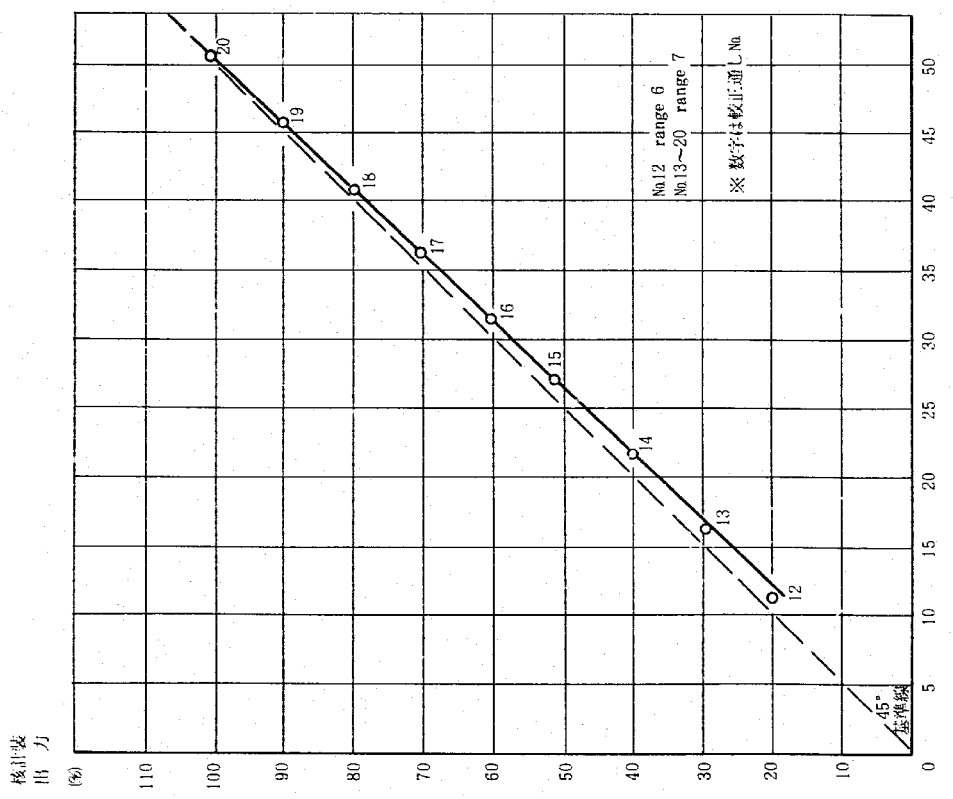


図 5-2-1 熱出力較正曲線 (No. 12~20)  
出力系 ch. 6 <7月8日の測定値, 7/7 第5回出力系調整後>

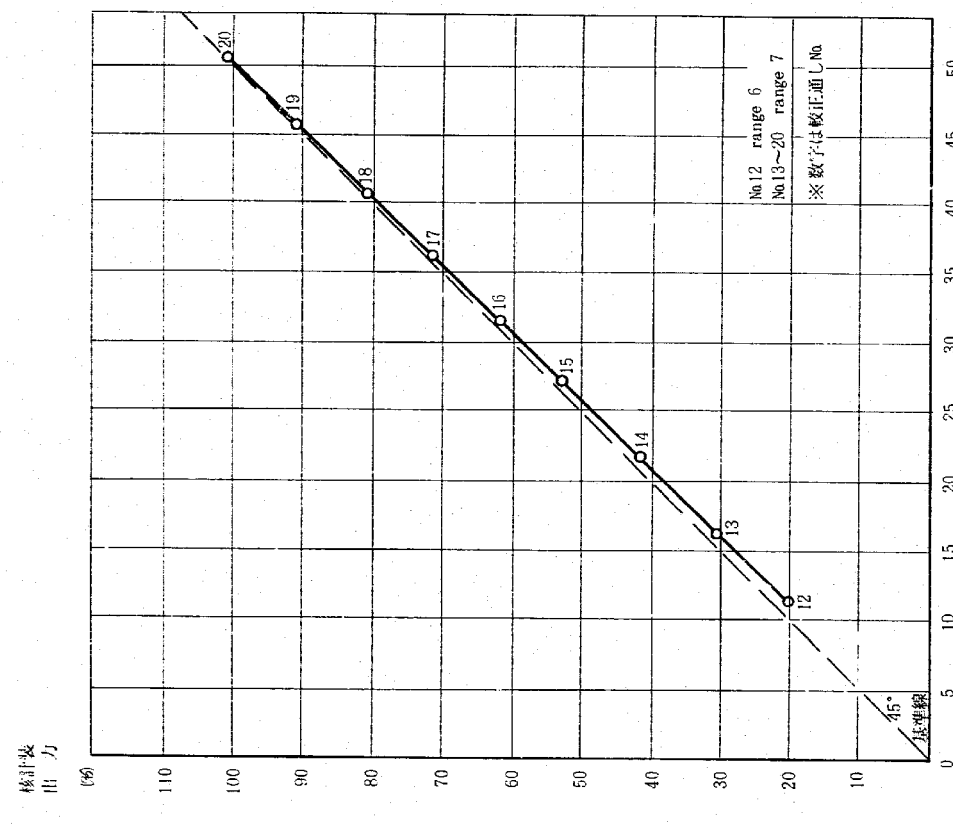


図 5-2-2 熱出力較正曲線 (No. 12~20)  
出力系 ch. 7 <7月8日の測定値, 7/7 第5回出力系調整後>

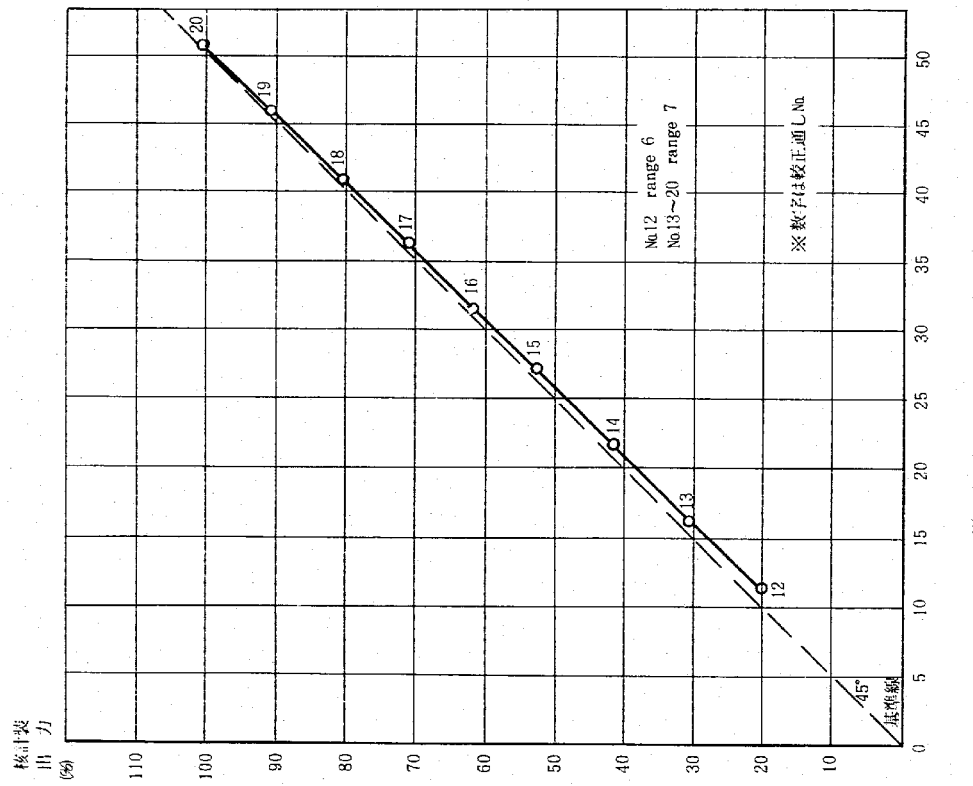


図 5-2-3 热出力校正曲線 (No.12~20)  
出力系 ch.8 < 7月8日の測定値, 7/7  
第5回出力系調整後>

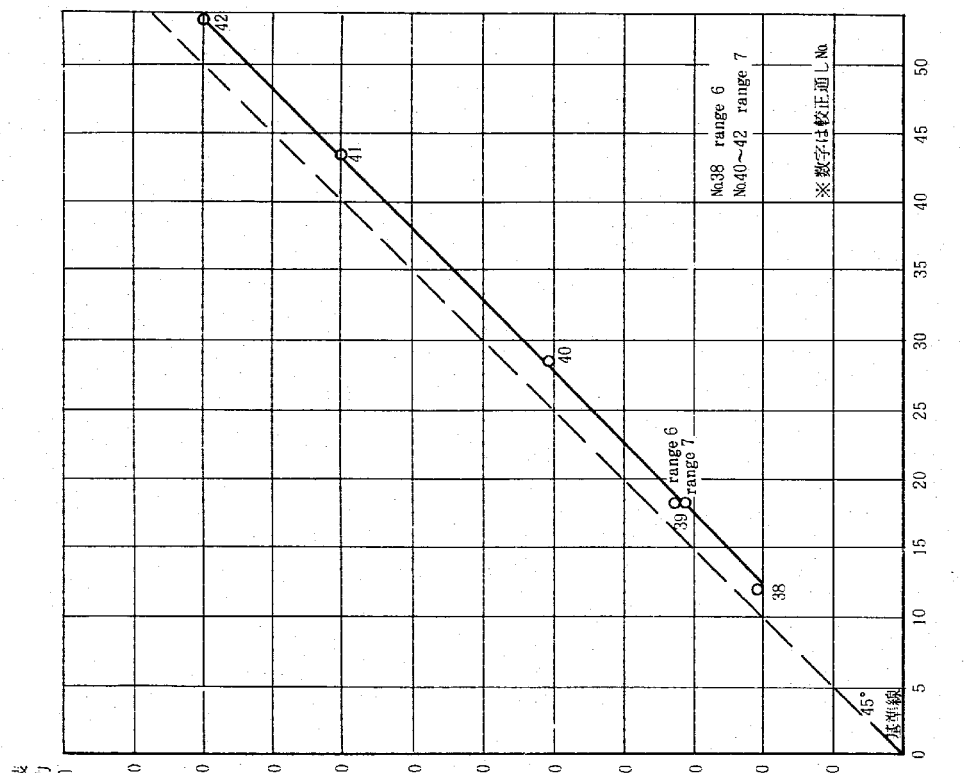


図 5-3-1 热出力校正曲線 (No.38~42)  
出力系 ch.6 < 7月21日の測定値, 7/7  
第5回出力系調整後>

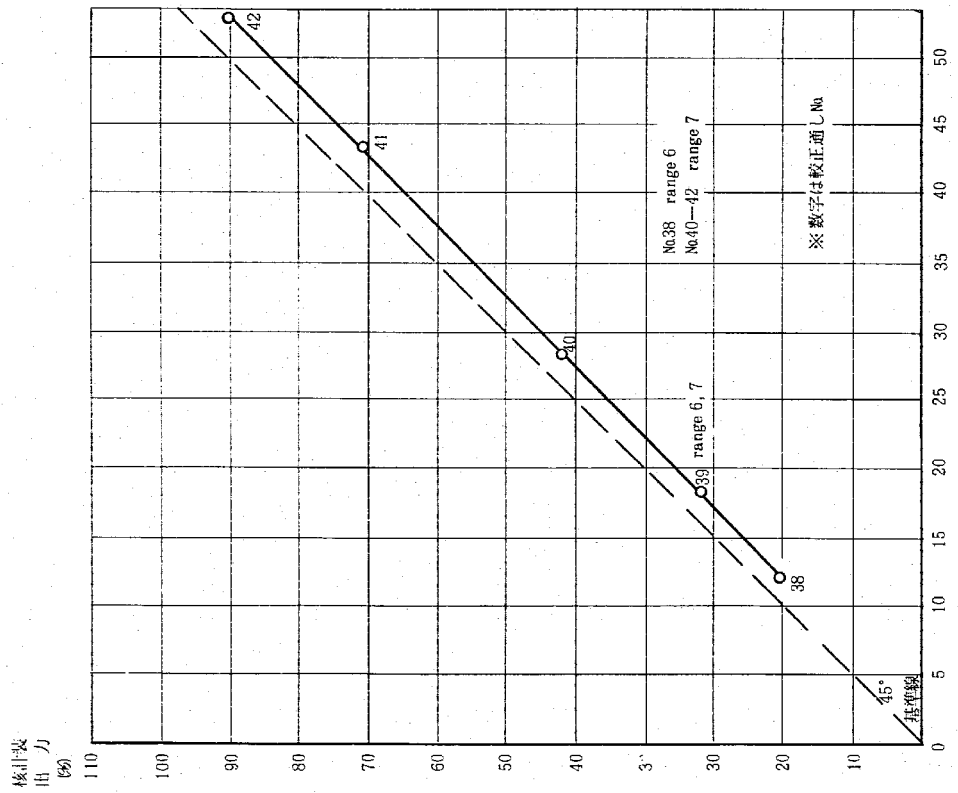


図 5-3-2 热出力較正曲線 (No.38~42)

出力系 ch.7 < 7月21日測定値, 7/7  
第5回出力系調整後>

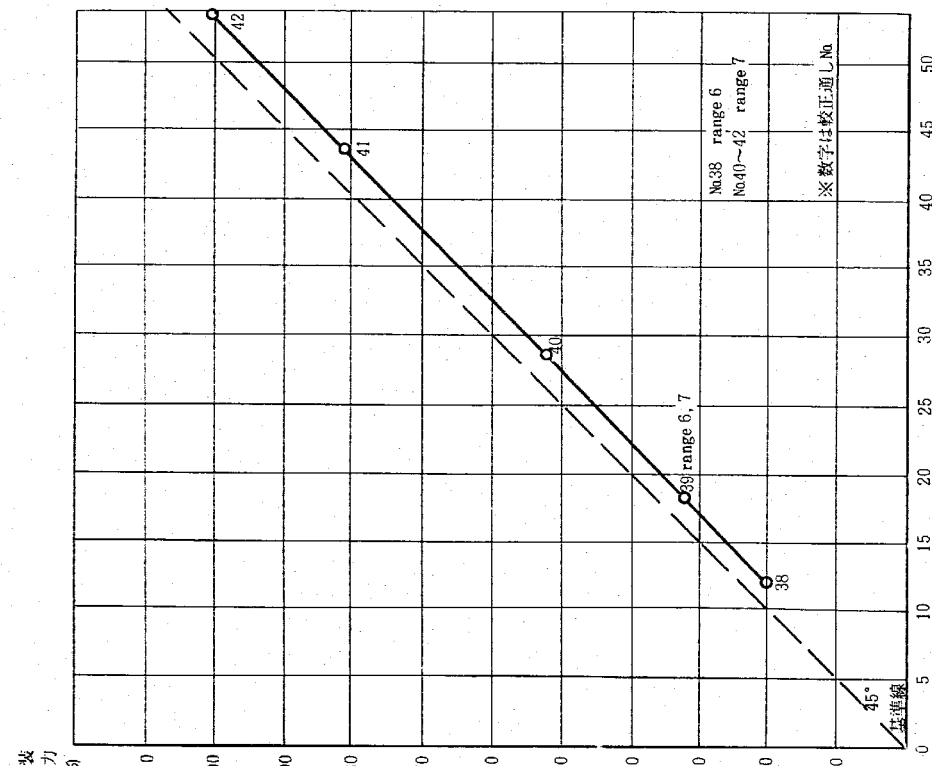


図 5-3-3 热出力較正曲線 (No.38~42)

出力系 ch.8 < 7月21日測定値, 7/7  
第5回出力系調整後>

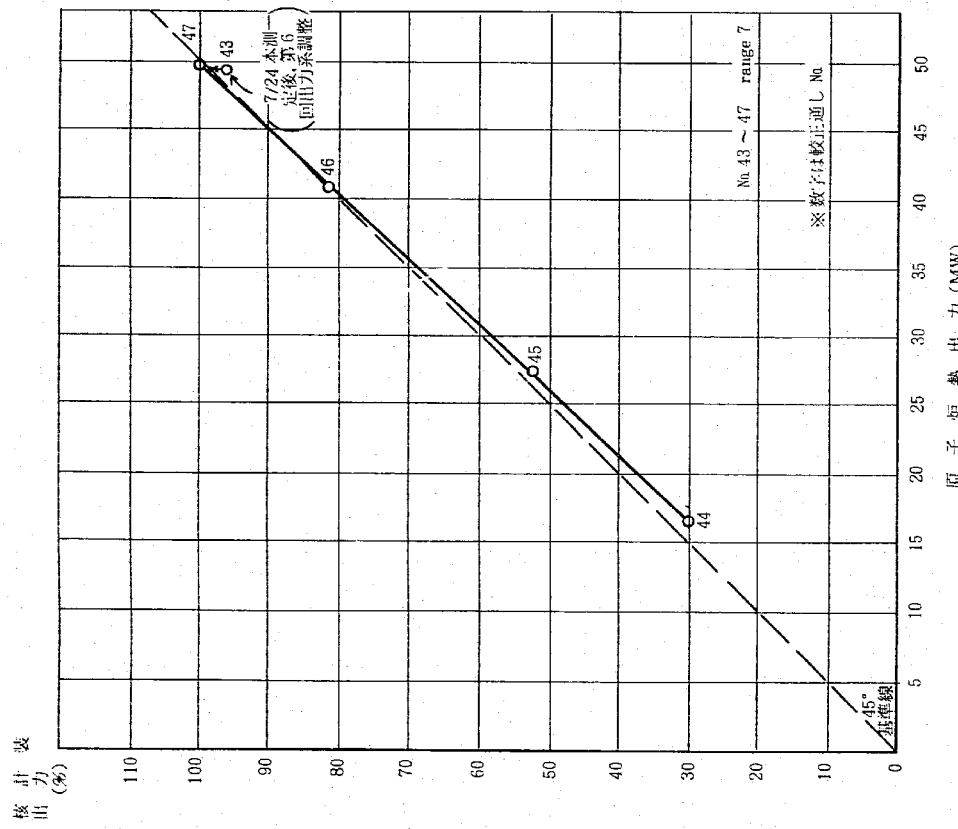


図 5-4-1 热出力較正曲線 (No. 43, 44 ~ 47)  
出力系 ch.6 <7月25日測定値 (局立),  
7/24 第6回出力系調整後>

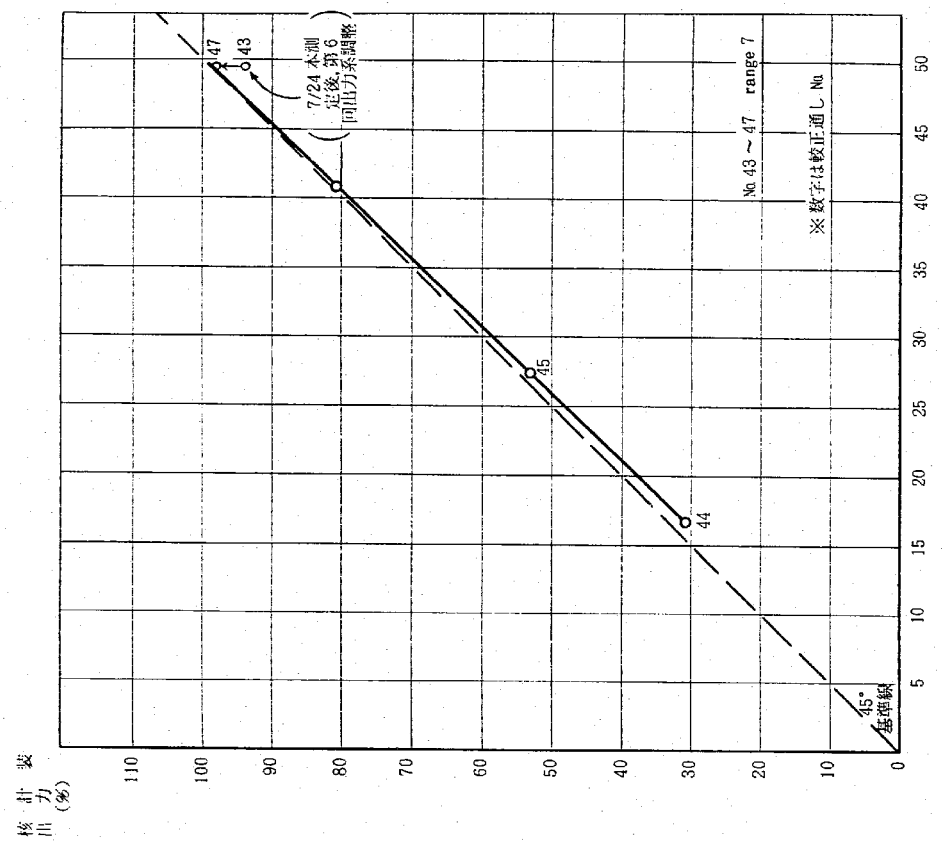


図 5-4-2 热出力較正曲線 (No. 43, 44 ~ 47)  
出力系 ch.7 <7月25日測定値 (局立),  
7/24 第6回出力系調整後>

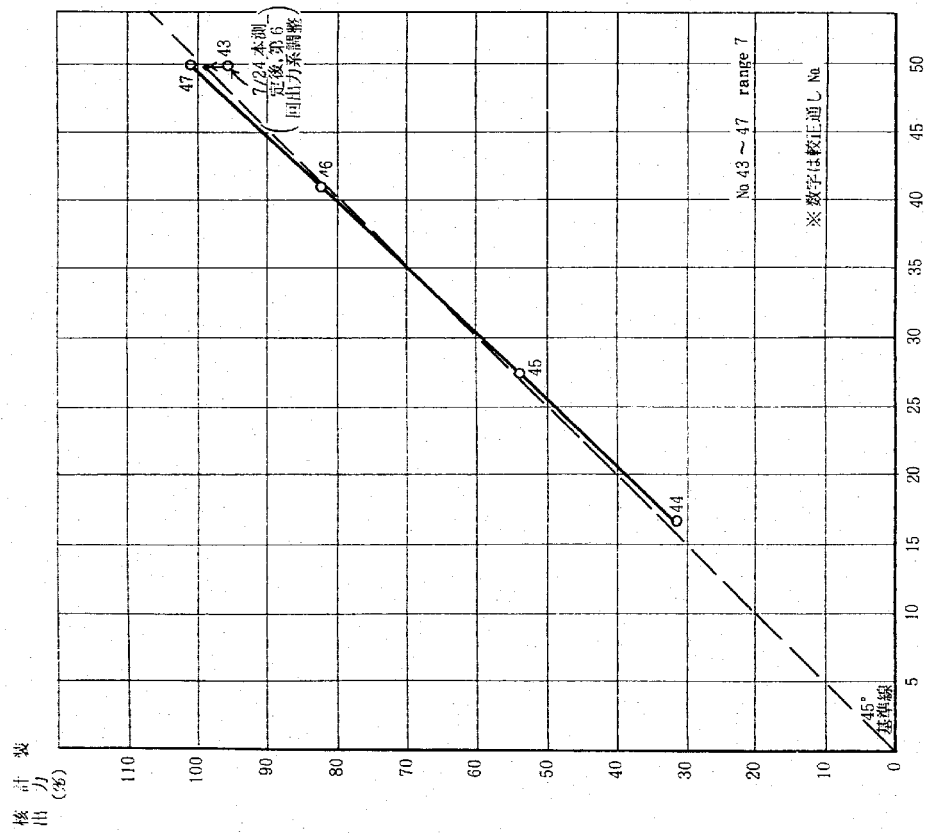


図 5-4-3 热出力較正曲線 (No. 43, 44 ~ 47)  
熱出力系 ch. 8 < 7月25日測定値 (局立),  
7/24 第6回出力系調整後>

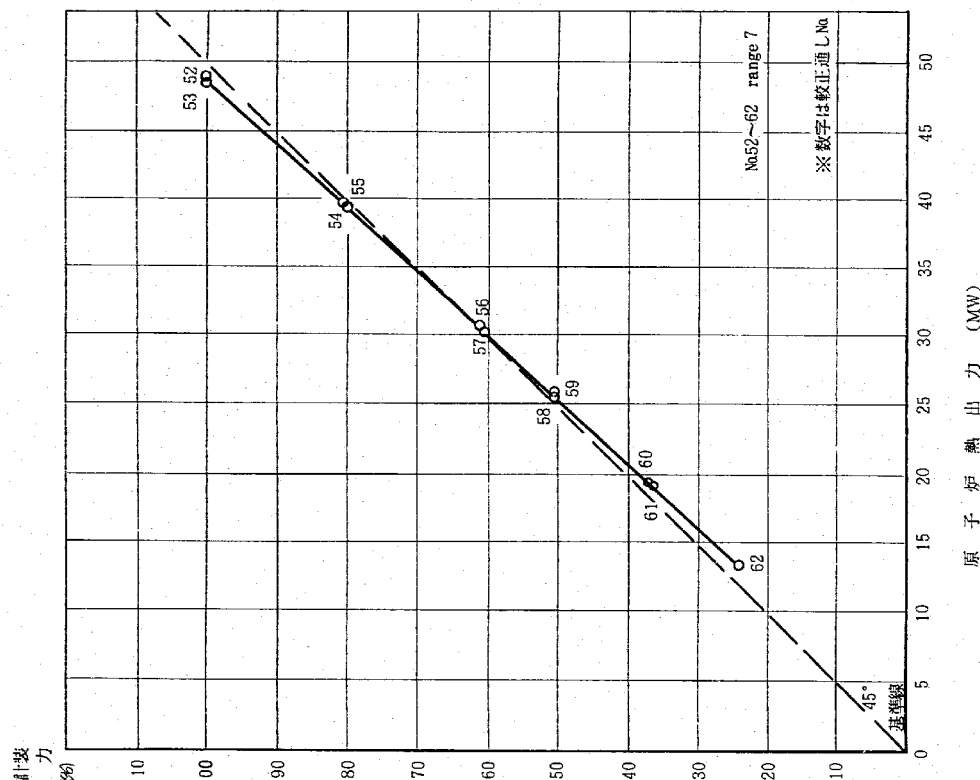


図 5-5-1 热出力較正曲線 (No.52~62)  
熱出力系 ch. 6 < 8月6~7日測定値, 出力降下時,  
7/24 第6回出力系調整後>

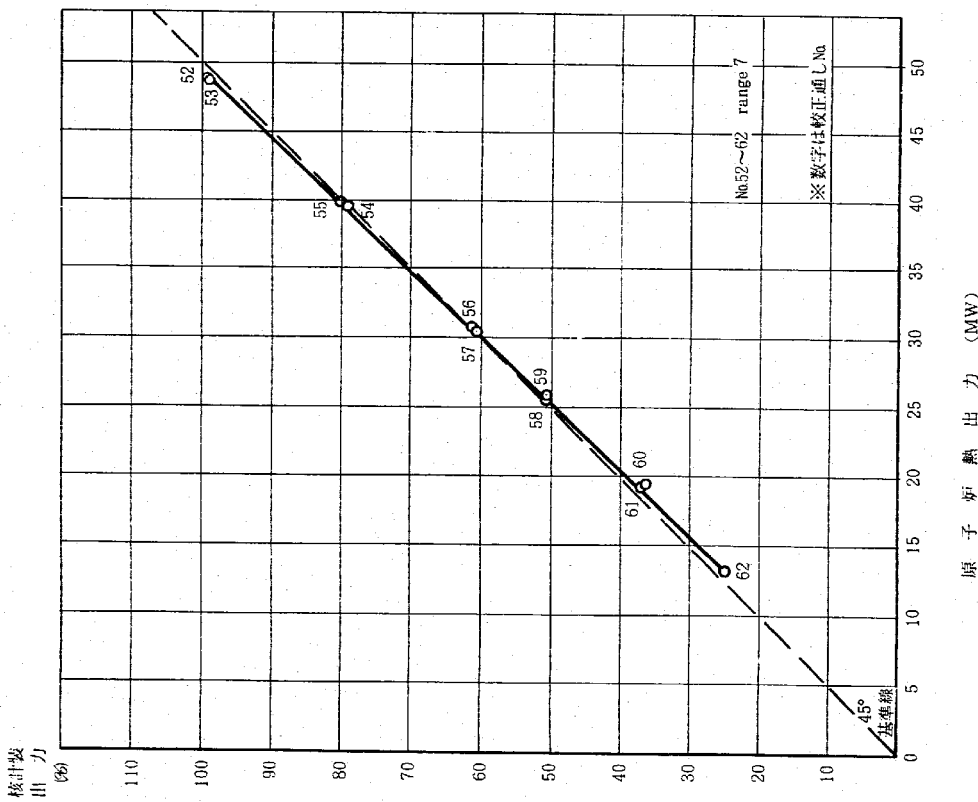


図 5-5-2 热出力較正曲線 (No.52~62)

出力系 ch.7 < 3月6~7日測定値、出力降下時、  
7/24 第6回出力系調整後>

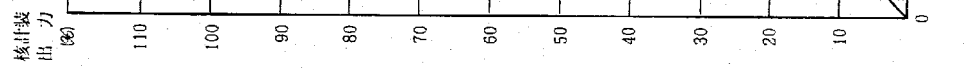


図 5-5-3 热出力較正曲線 (No.52~62)

出力系 ch.8 < 8月6~7日測定値、出力降下時、  
7/24 第6回出力系調整後>

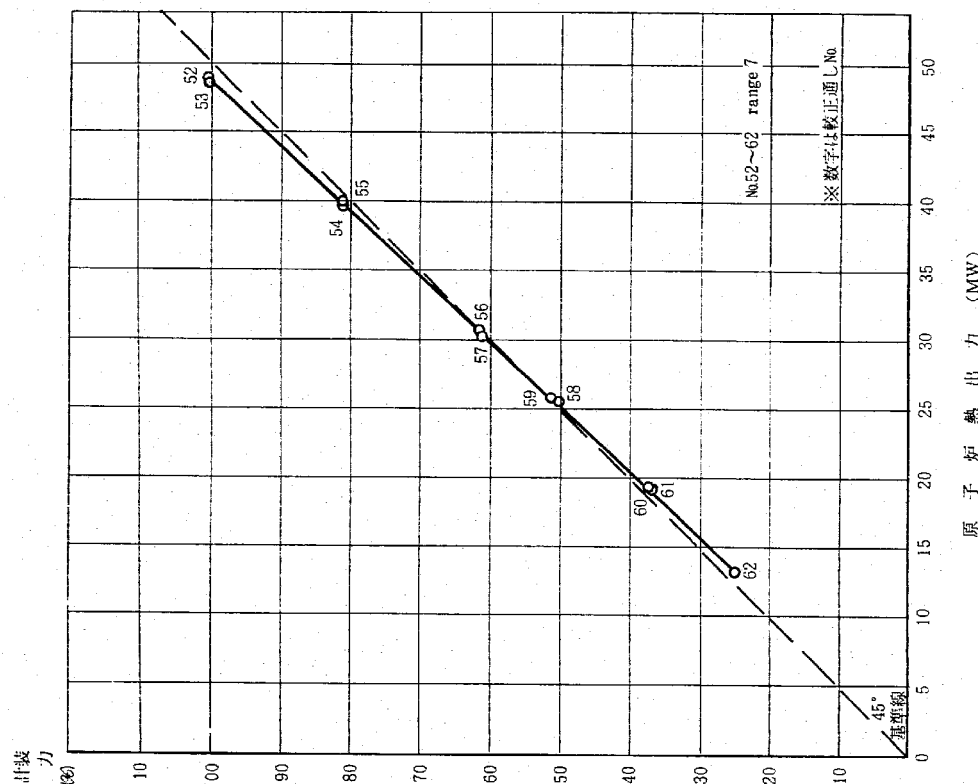


図 5-5-3 热出力較正曲線 (No.52~62)

出力系 ch.8 < 8月6~7日測定値、出力降下時、  
7/24 第6回出力系調整後>

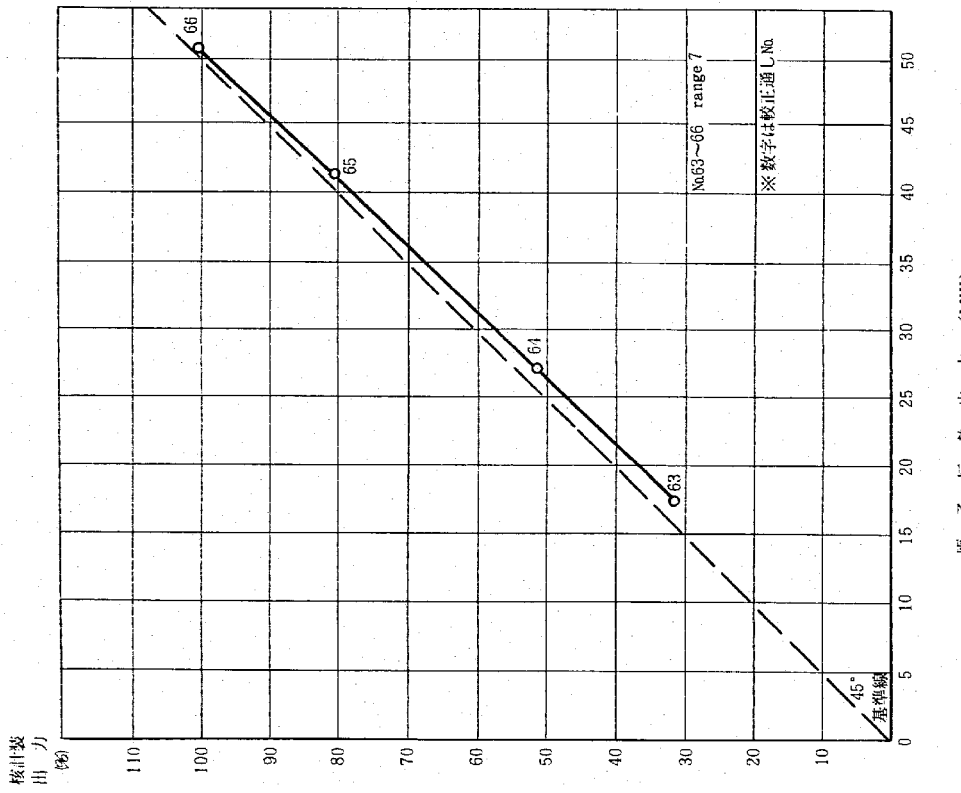


図 5-6-1 热出力較正曲線 (No.63~66)

出力系 ch.6 < 8月11日測定値, 100時間連続運転  
開始時, 7/24 第6回出力系調整後>

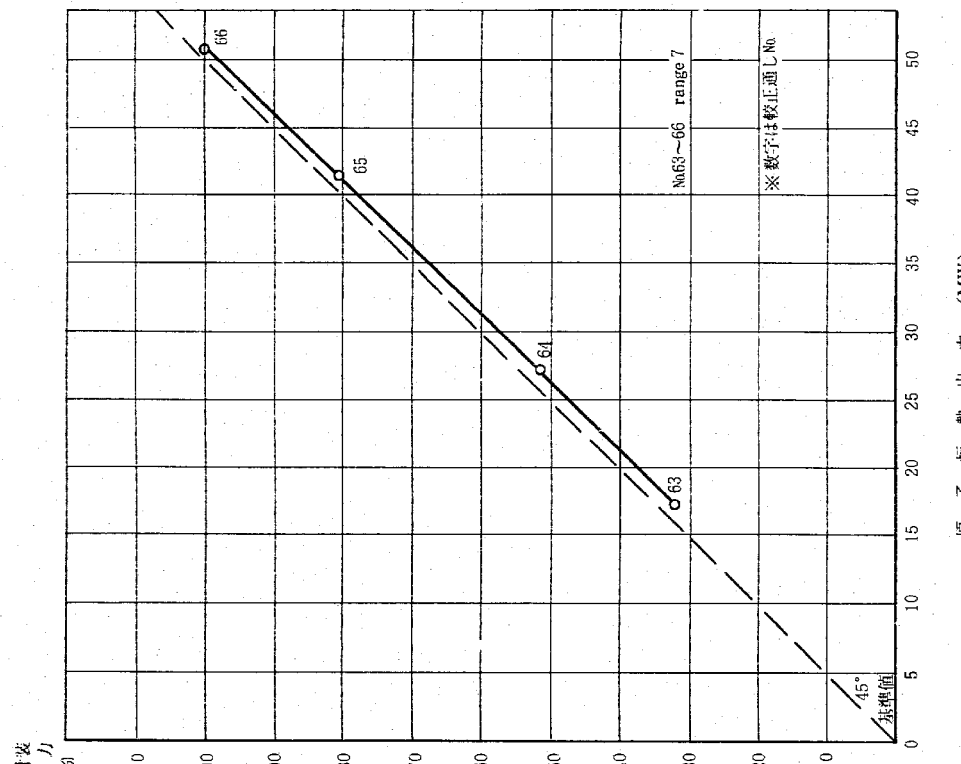


図 5-6-2 热出力校正曲線 (No.63~66)

出力系 ch.7 < 8月11日測定値, 100時間連続運転  
開始時, 7/24 第6回出力系調整後>

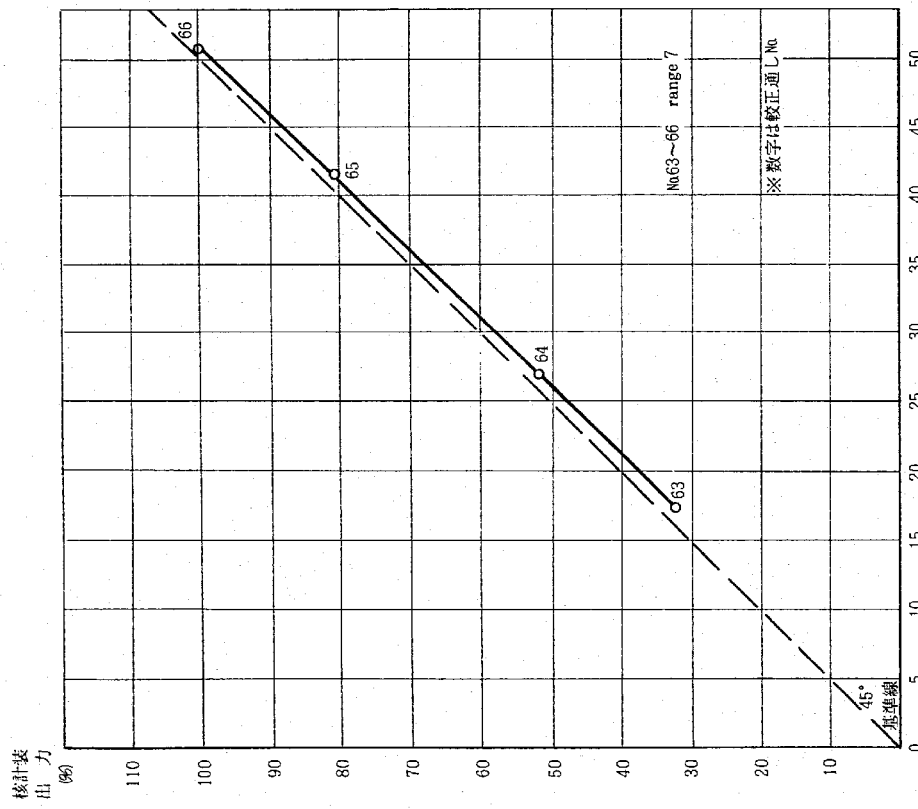
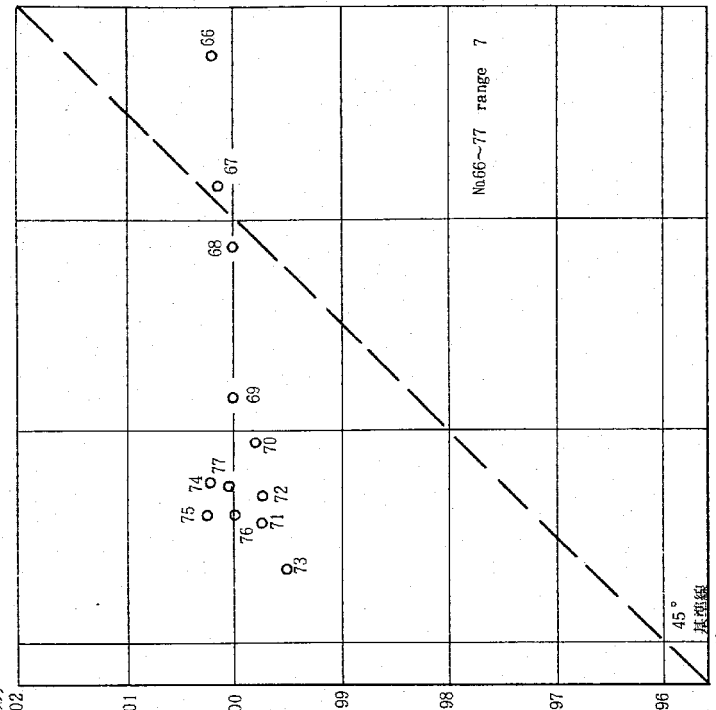


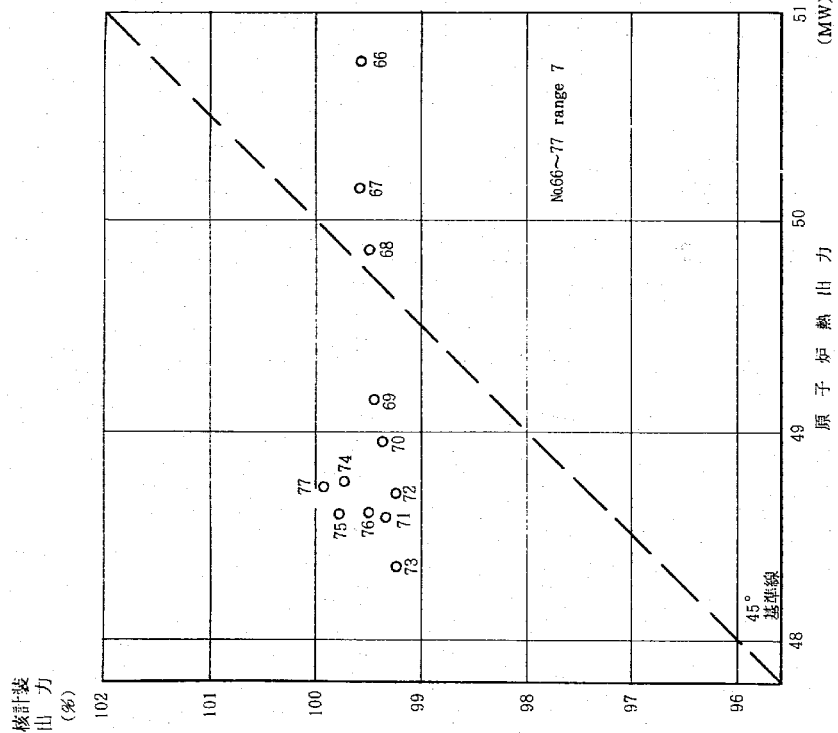
図 5-6-3 热出力校正曲線 (No63~66)  
出力系 ch.8 < 8月11日測定値, 100時間連続運転  
開始時, 7/24 第6回出力系調整後>

核計装  
出力  
(%)

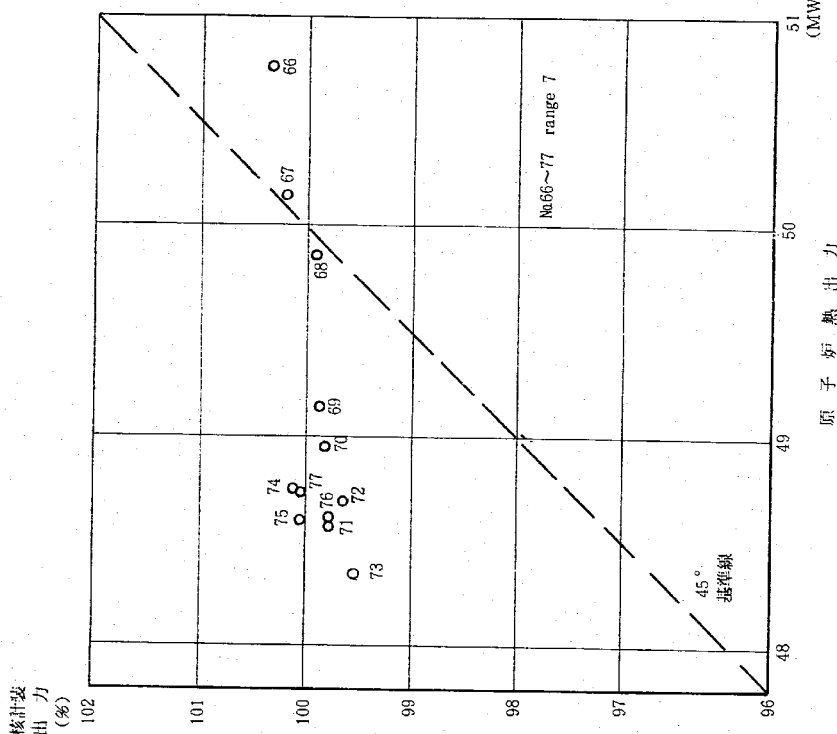
原子炉熱出力  
(MW)

図 5-7-1 热出力校正曲線 (No66~77)  
ch.6 < 8月11~16連続100時間運転時,  
7/24第6回出力系調整後>





7/24第6回出力系調  
ch.7 < 8月11～16日連続100  
熱出力較正曲線 (ta66～77)



5-7-3 熱出力較正曲線 (No.66~77)  
ch. 8 < 8月11~16日連續 100 時間運転時  
7/24第6回出力系調整後

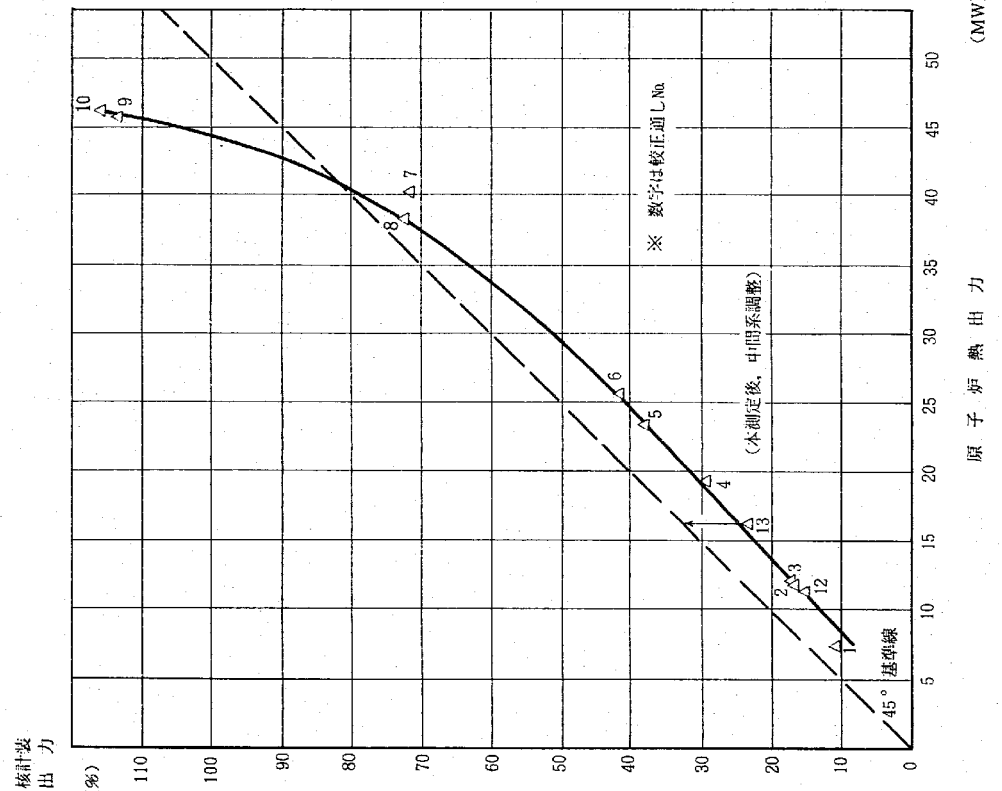
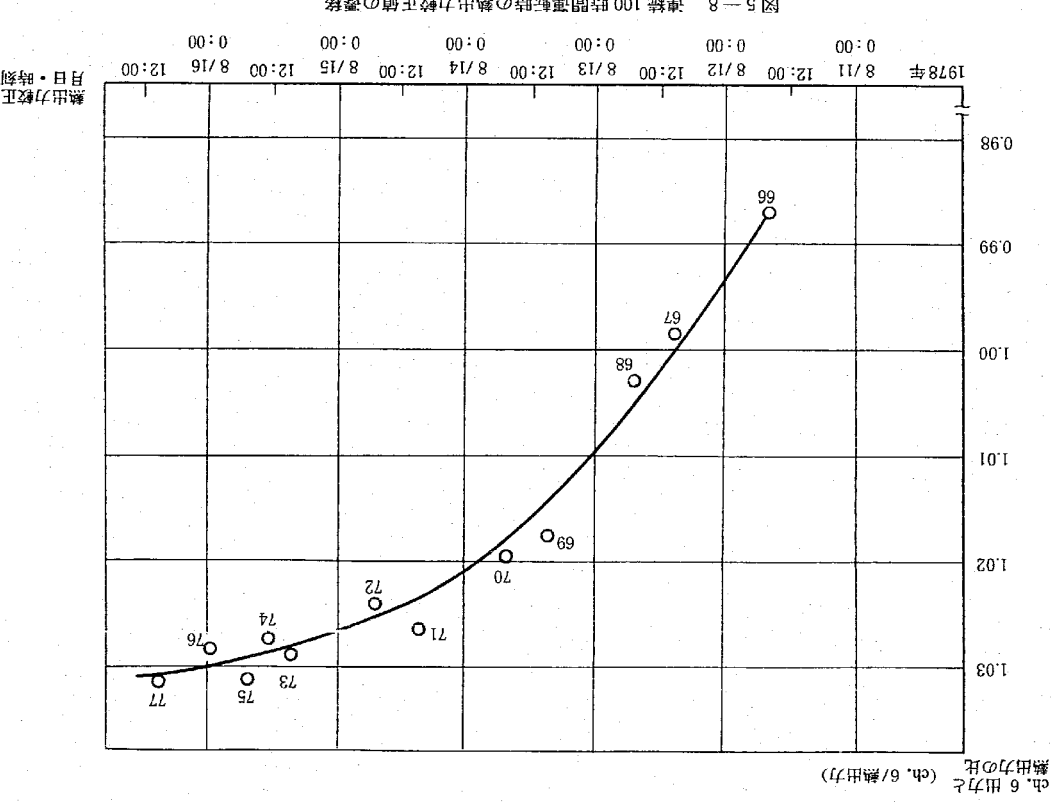


図 5-9-1 热出力校正曲線 (No.1 ~10, 12~13)  
中間系 ch.3 < 7月 8 日の調整以前>

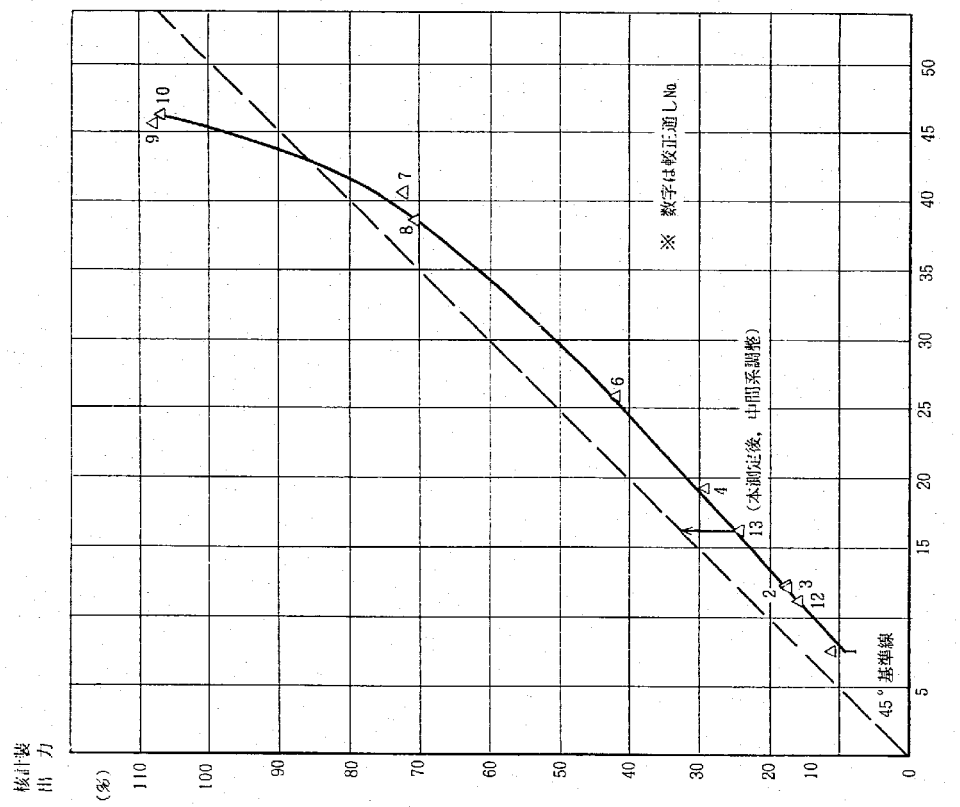


図 5-9-2 熱出力較正曲線 (No 1~4, 6~10, 12~13)  
中間系 ch.4 < 7月8日の調整以前>

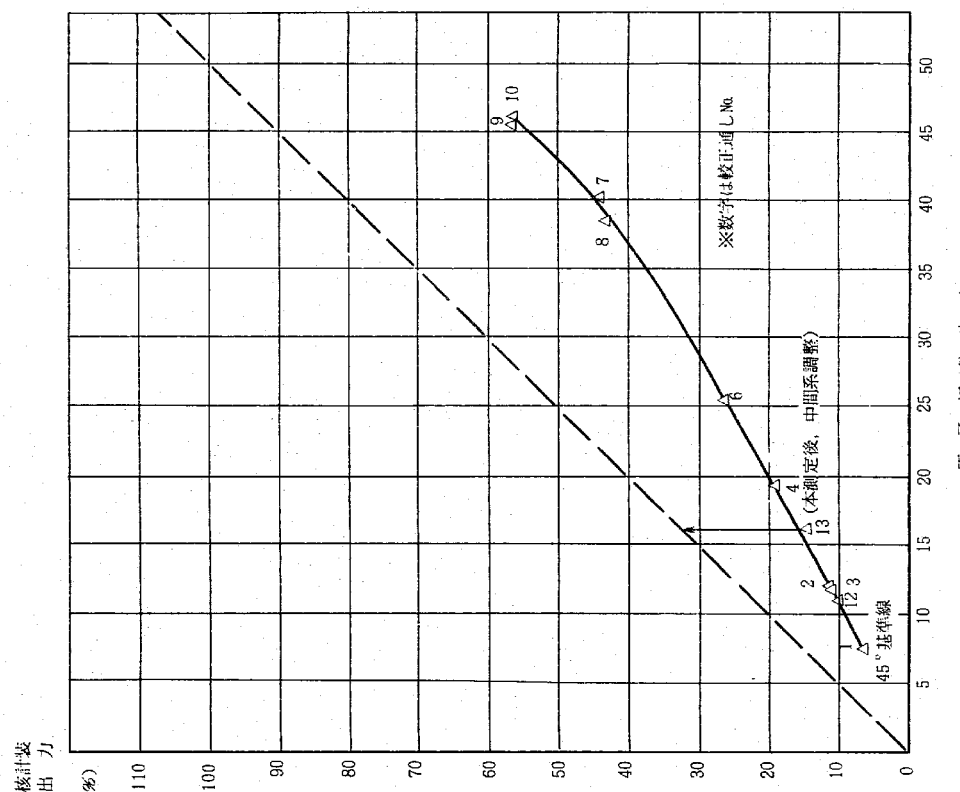


図 5-9-3 熱出力較正曲線 (No 1~4, 6~10, 12~13)  
中間系 ch.5 < 7月8日の調整以前>

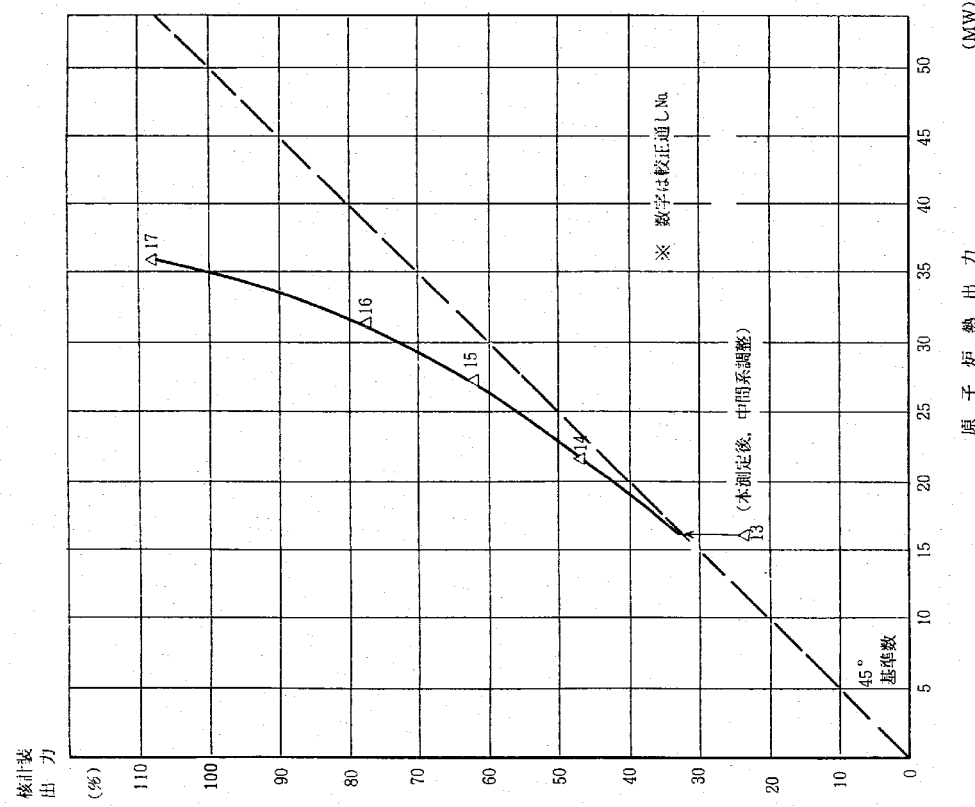


図 5-10-1 热出力較正曲線 (No.13~17)  
ch.3 < 7月8日測定値, 7/8中間系調整後>

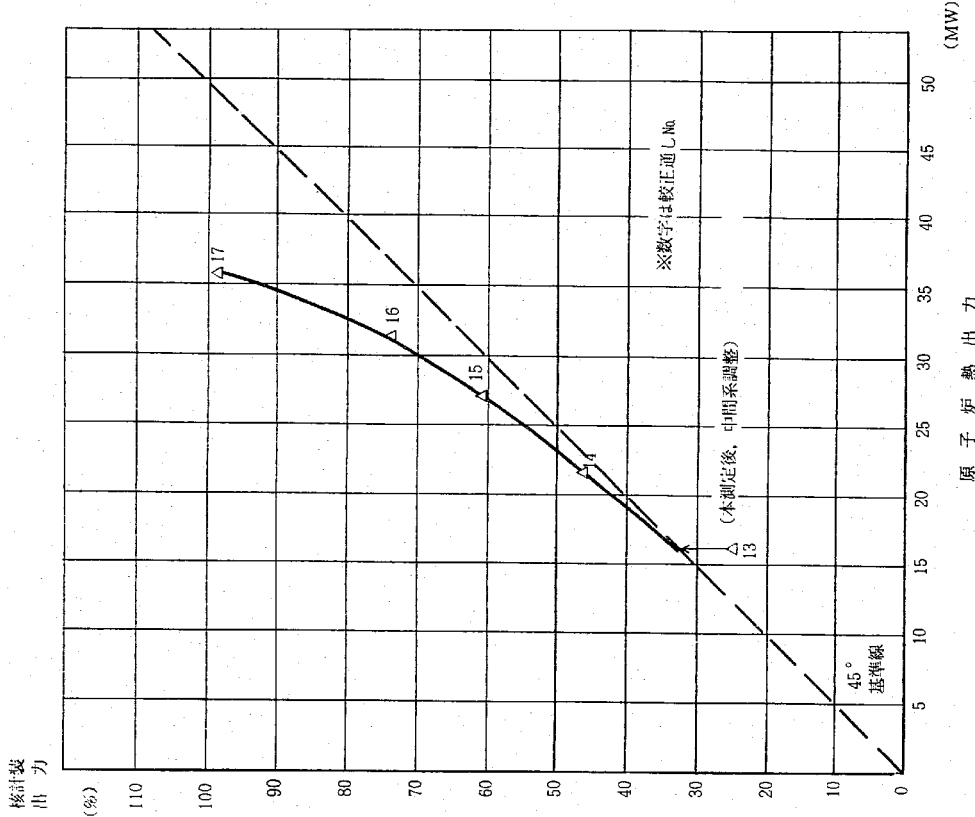


図 5-10-2 热出力較正曲線 (No.13~17)  
中間系 ch.4 < 7月8日測定値, 7/8中間系調整後>

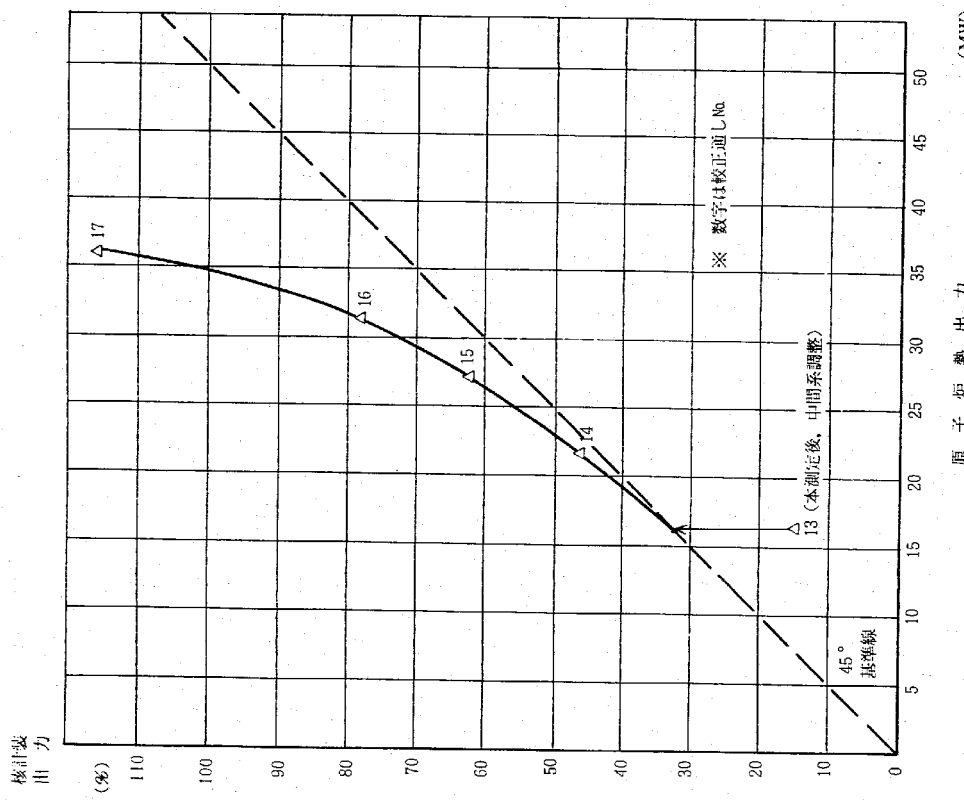


図 5-10-3 热出力較正曲線 (No.13~17)

中間系 ch.5 &lt; 7月8日測定値, 7/8中間系調整後&gt;

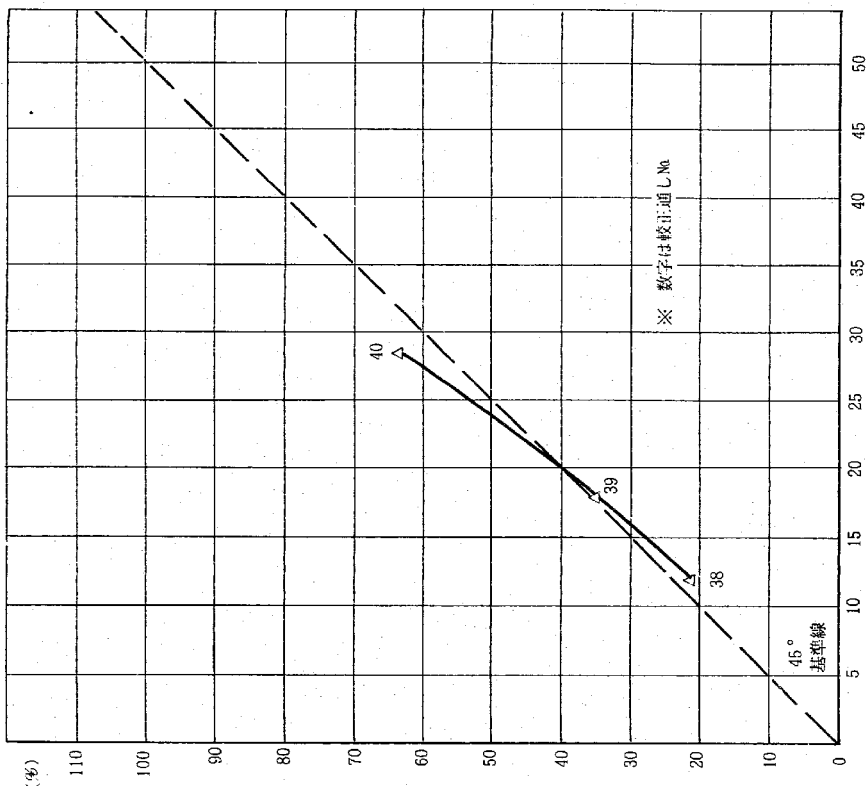
核計装  
出力 (%)

図 5-11-1 热出力較正曲線 (No.38~40)

中間系 ch.3 &lt; 7月21日測定値, 7/8中間系調整後&gt;

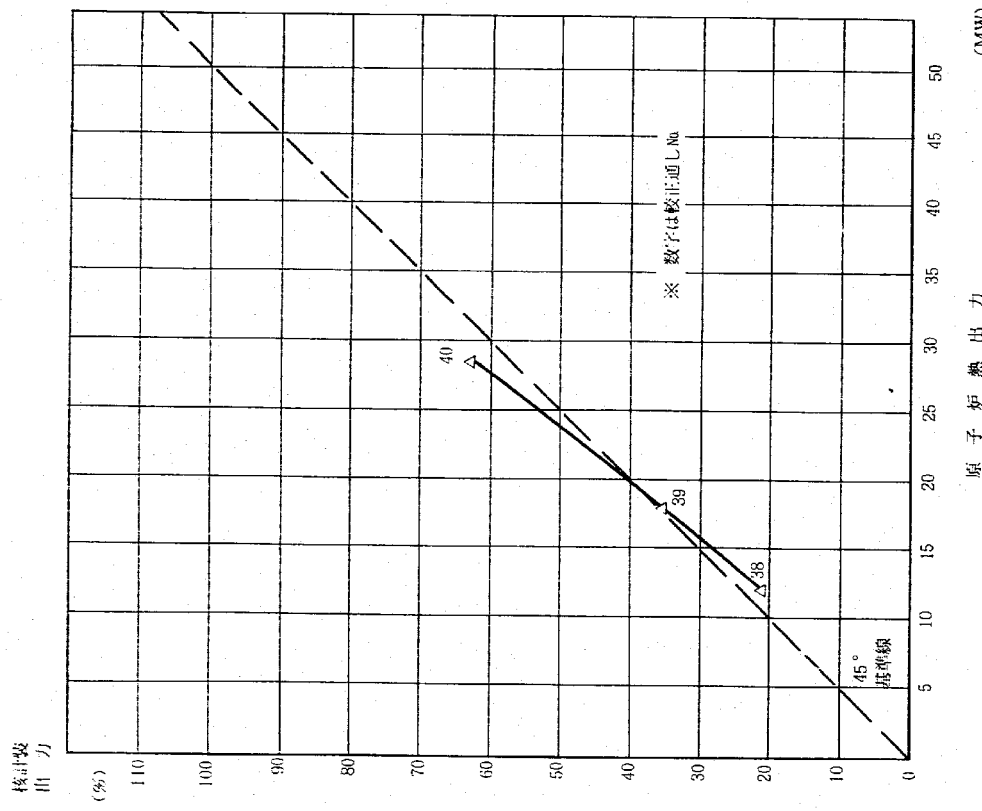


図 5-11-2 热出力校正曲線 (No.38~40)

中間系 ch.4 < 7月21日測定値, 7/8中間系調整後 >

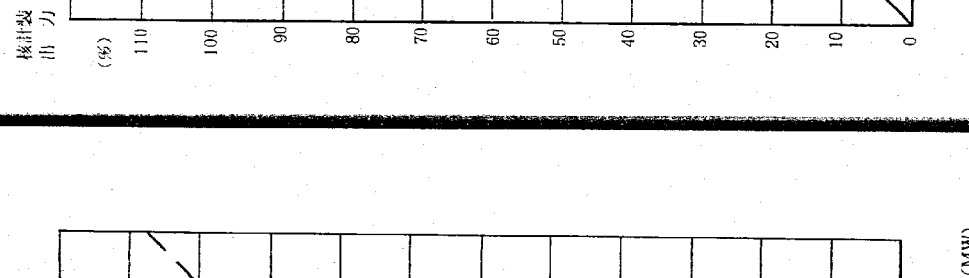


図 5-11-3 热出力校正曲線 (No.38~40)

中間系 ch.5 < 7月21日測定値, 7/8中間系調整後 >

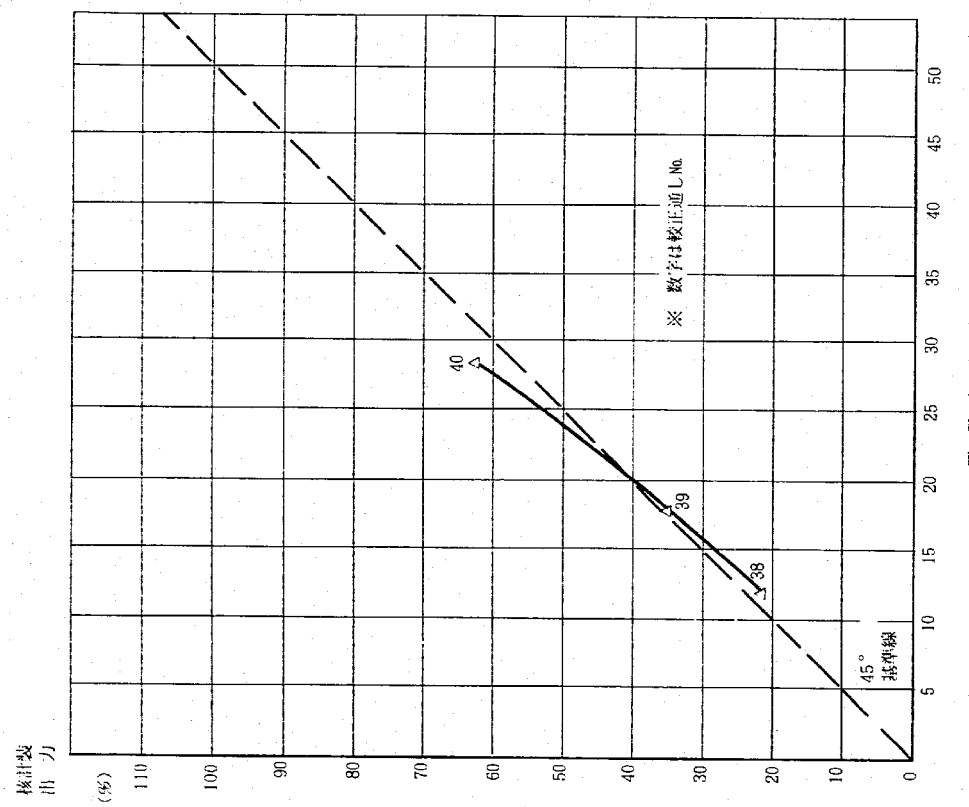
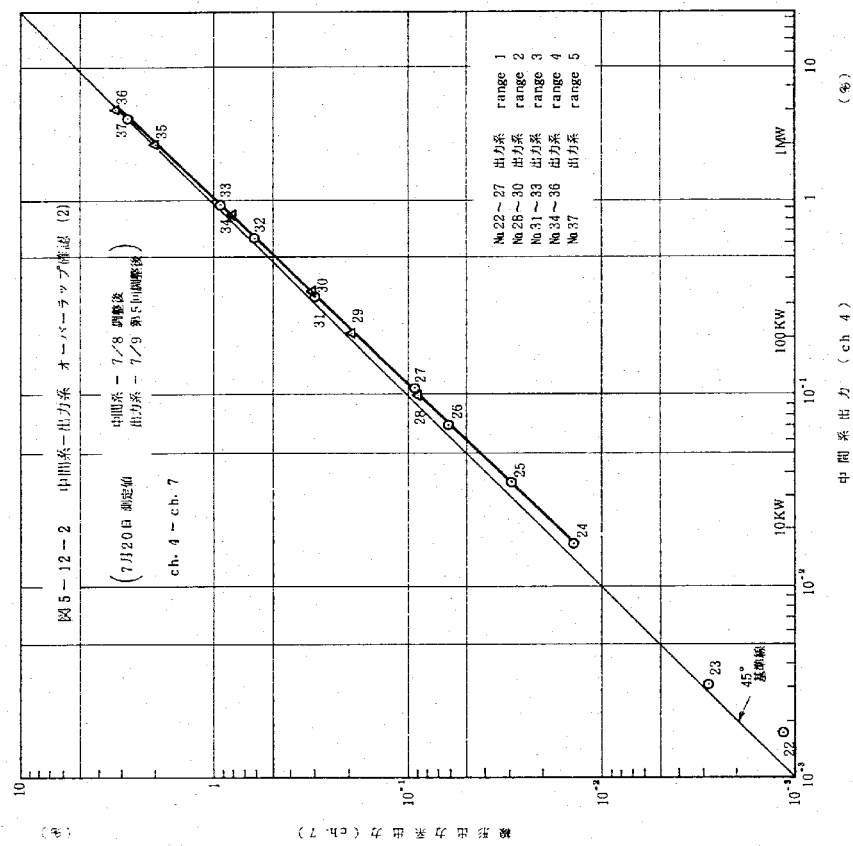
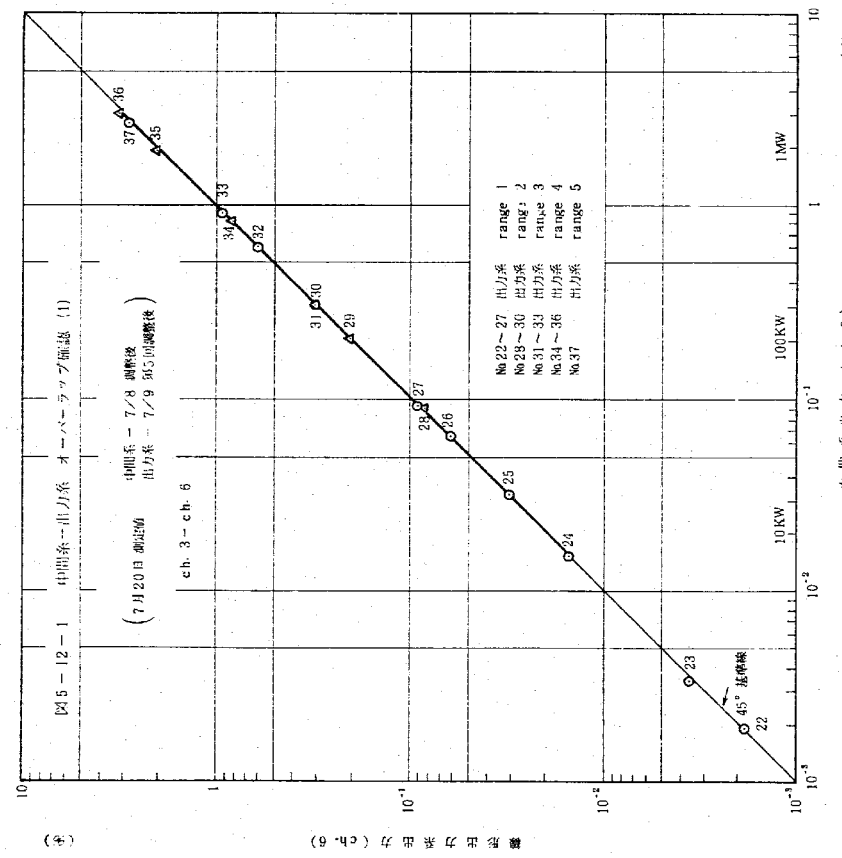


図 5-11-4 热出力校正曲線 (No.38~40)

中間系 ch.7/8 < 7月21日測定値, 7/8中間系調整後 >



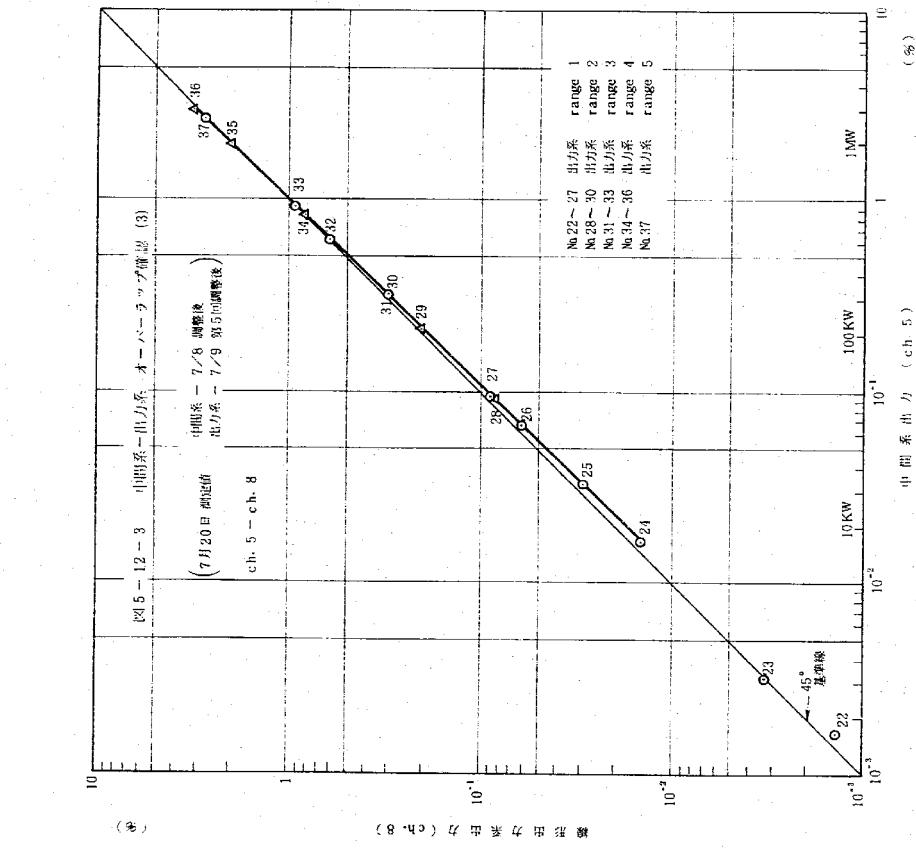
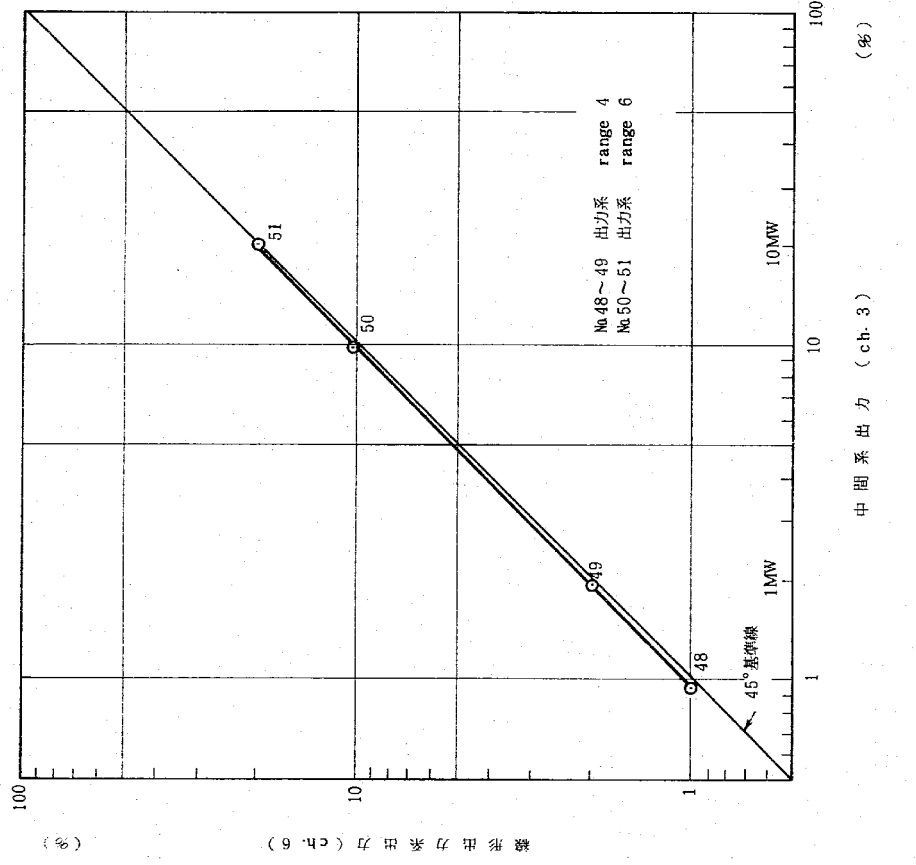


図 5-13-1 中間系-出力系オーバーラップ確認 (局立時 1)  
(7月26日 測定値)  
中間系 - 7/8 調整後  
出力系 - 7/24 第6回調整後  
ch. 3 → ch. 6



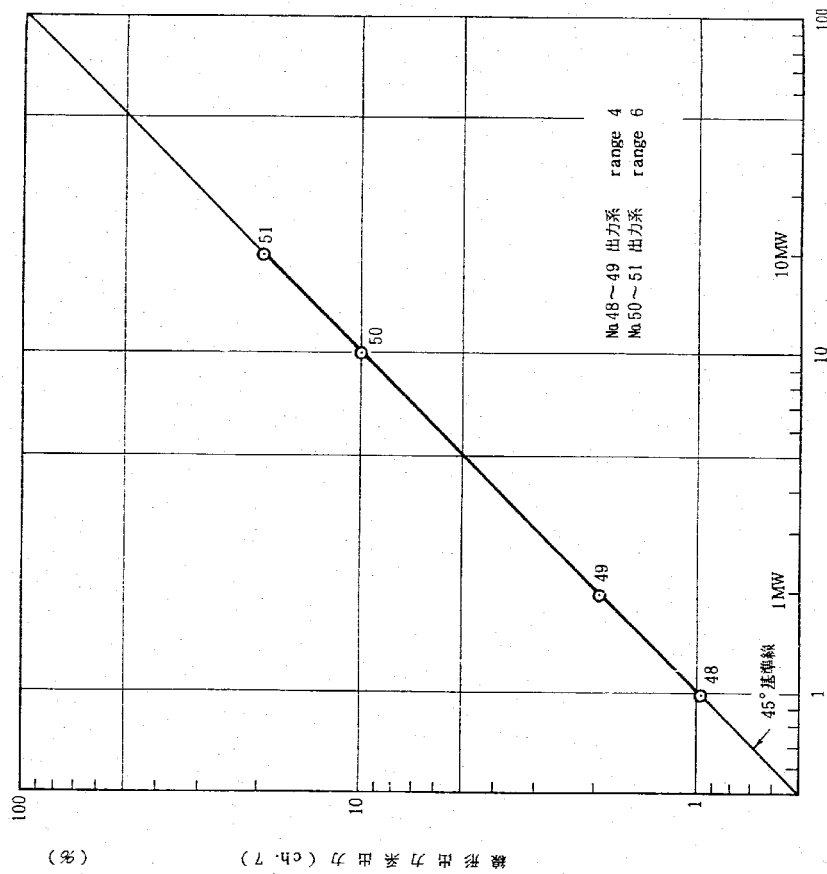


図 5-13-2 中間系一出力系オーバーラップ確認（局立時2）

（7月26日 測定値  
中間系 - 7/8 調整後  
出力系 - 7/24 第6回調整後）

ch. 4 - ch. 7

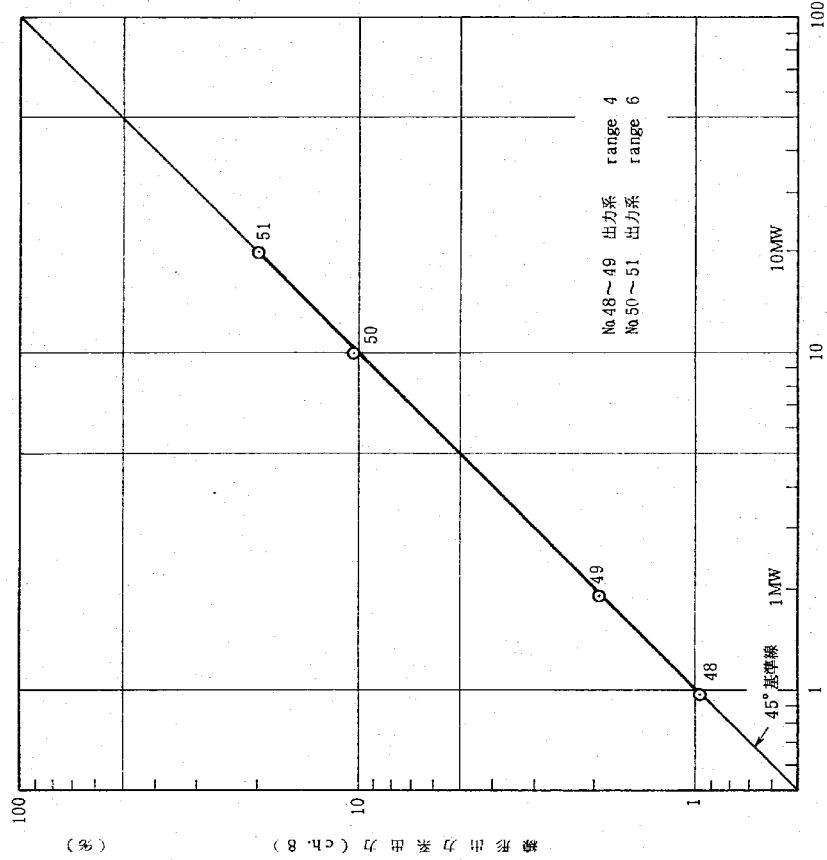
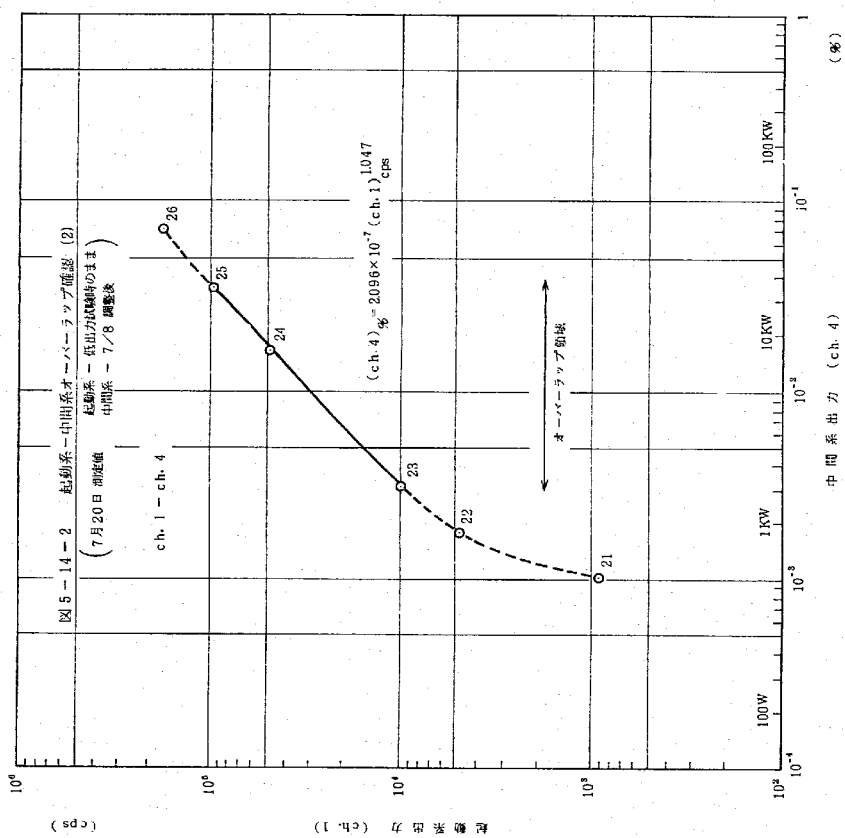
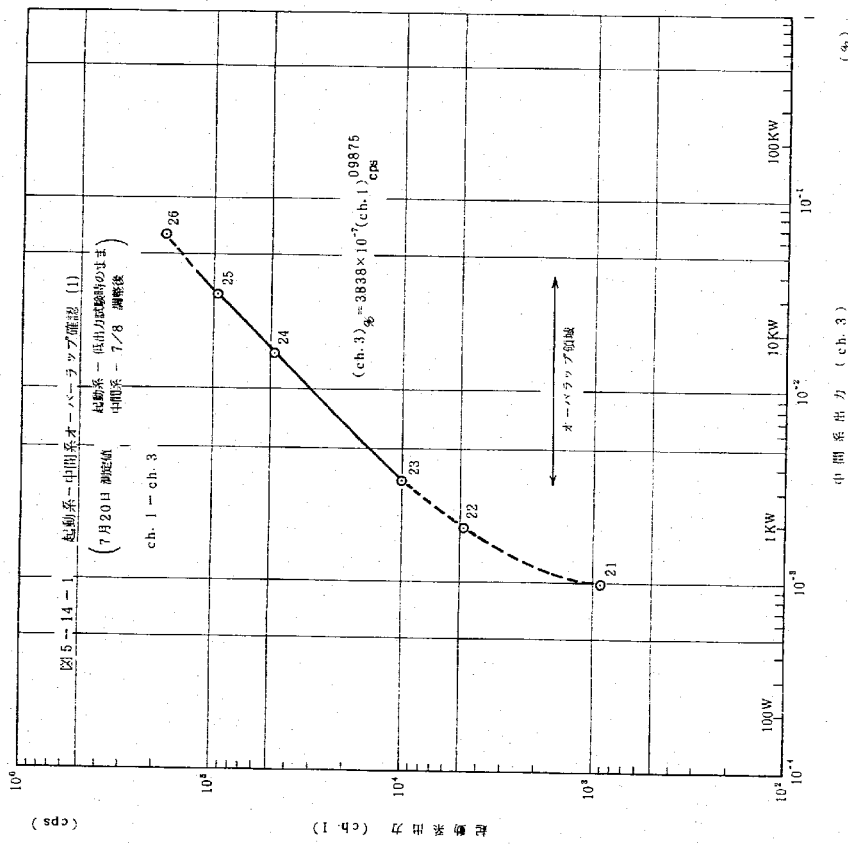


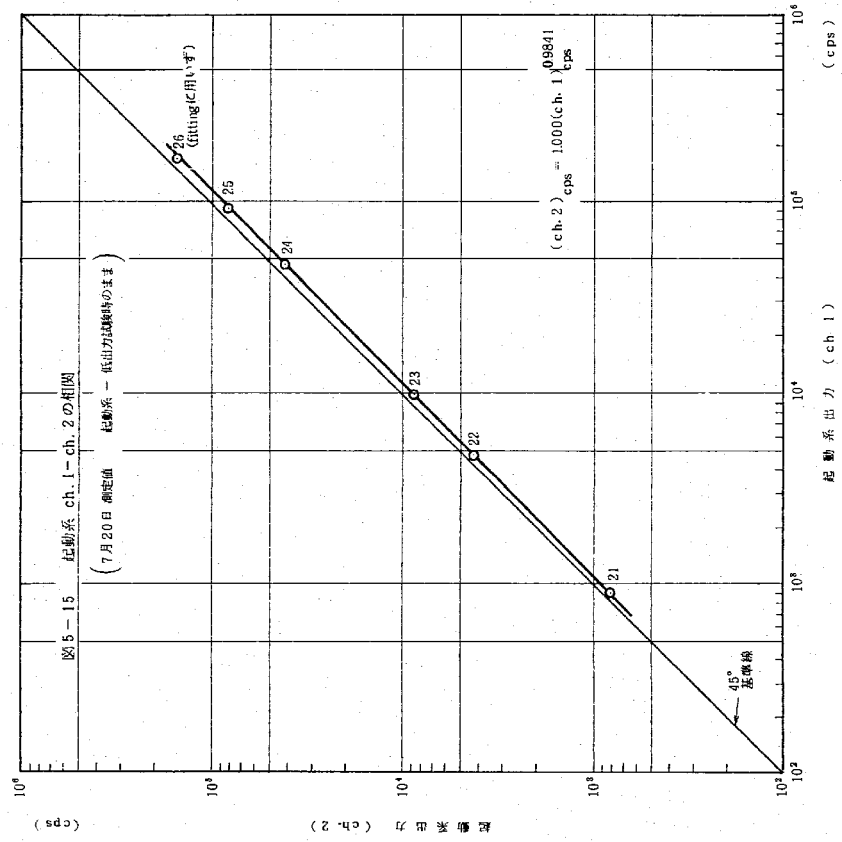
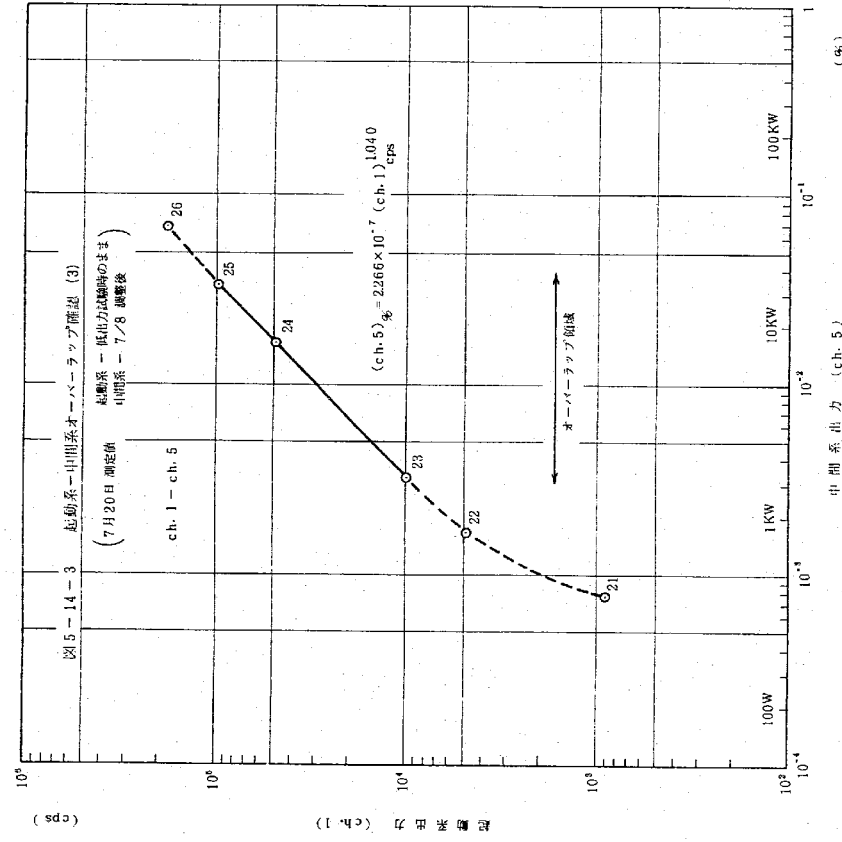
図 5-13-3 中間系一出力系オーバーラップ確認（局立時3）

（7月26日 測定日  
中間系 - 7/8 調整後  
出力系 - 7/24 第6回調整後）

ch. 5 - ch. 8



中間系出力 (ch. 4) (%)



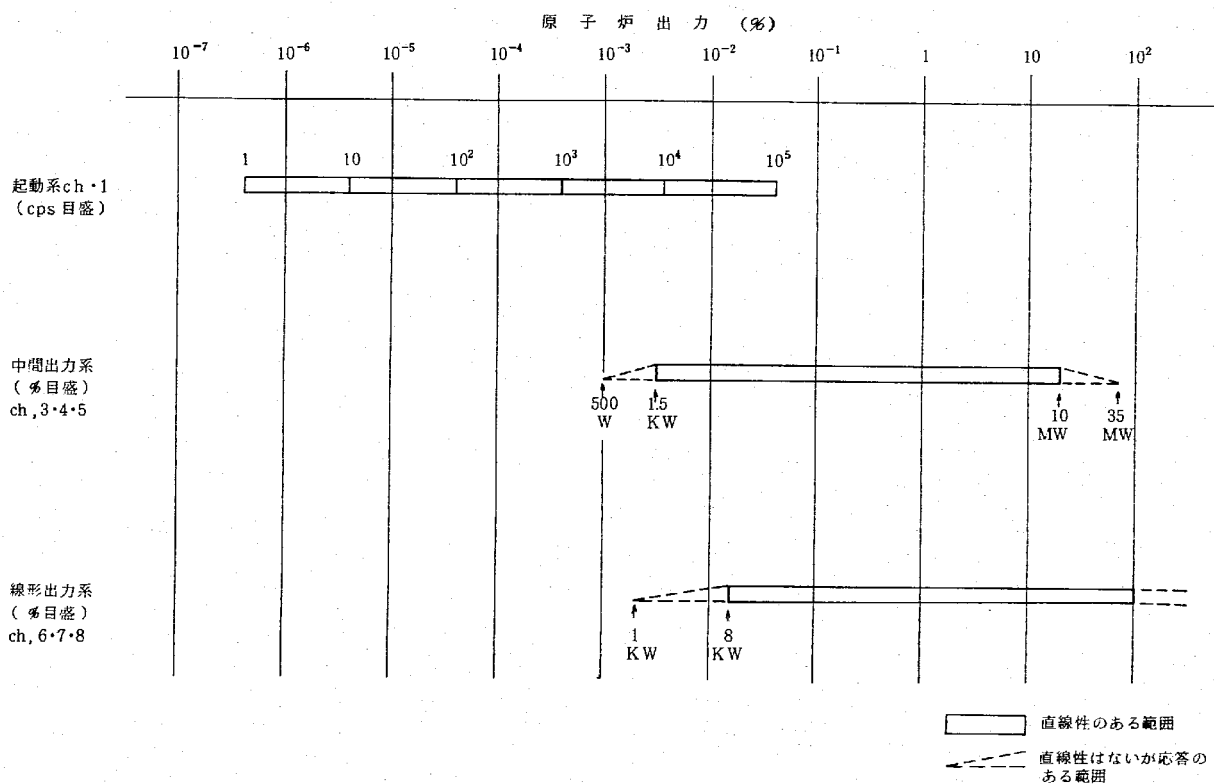


図 5-16 中性子計装設備測定範囲(測定結果)

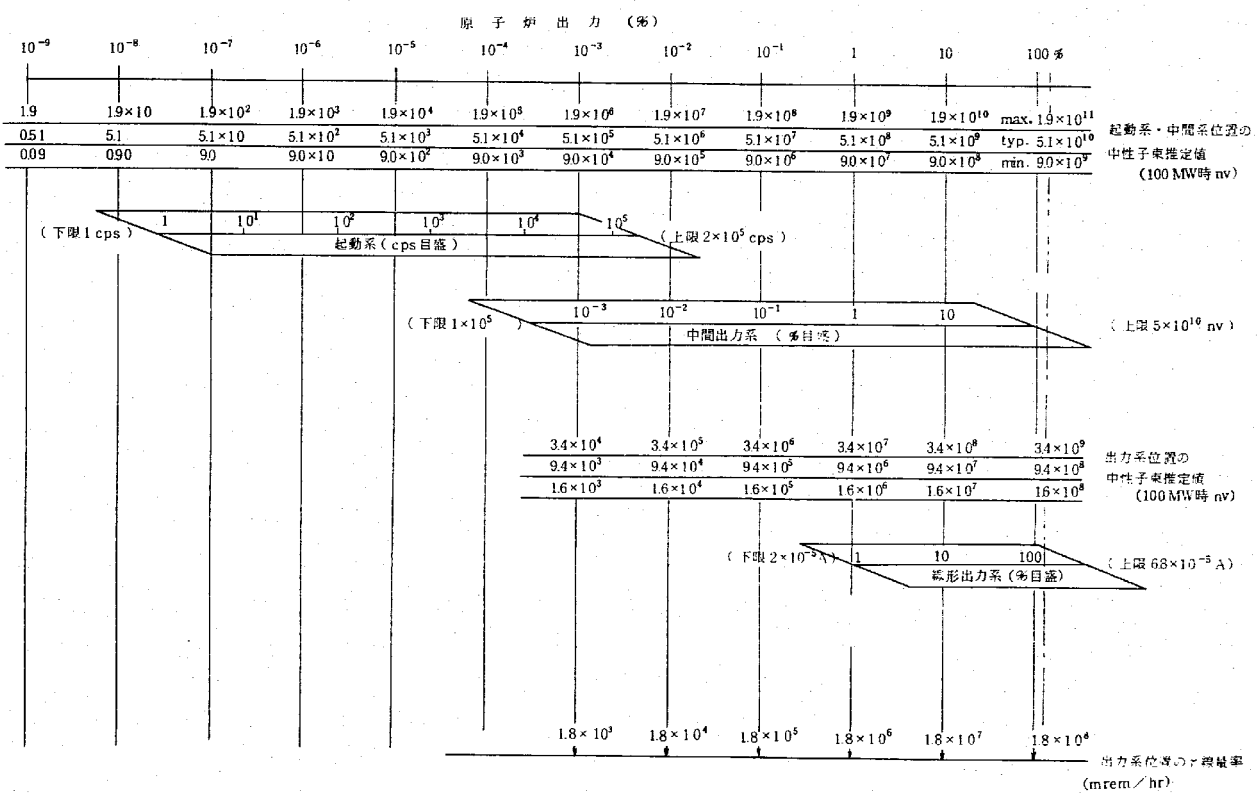


図 5-17 仕様による中性子計装設備測定範囲(参考図)

## 第6章 測定の誤差評価

本章では、熱出力校正試験における測定値の誤差を評価する。測定項目は、原子炉熱出力と出力系指示値である。

原子炉熱出力については、Na温度測定とNa流量測定の両者からの誤差が含まれるが、ここで、誤差として以下の2種を考えることとする。ひとつは、熱出力測定の絶対値に関する誤差であり、この主要要因は、熱電対および電磁流量計の製造時の校正誤差である。これは測定に系統的に含まれるものであり、測定計器精度の向上等の手段では取り除けない。もうひとつは、前者が「系統的誤差を取り除いたものであり、測定値のばらつきに対する誤差、即ち測定の再現性誤差」とでも呼ぶべきものである。出力系指示値については、熱出力の測定値に一致するようにアンプゲインを調整しているので、前項で述べた第2の再現性誤差のみを考えればよい。

### 6.1 热出力の測定誤差

熱出力を測定した際の測定誤差の要因としては、以下の項目が考えられる。

- (1) Na 温度測定
  - ① 热電対起動力 +0.12~-21.2°C
  - ② 極償導線 ±1.5°C
  - ③ 計 器 ±0.4°C
  - ④ 読み取り ±0.1°C
- (2) Na 流量測定
  - ① 流量校正 ±2.2%
  - ② mV→m³/hr換算 ±0.5%
  - ③ 読み取り ±0.2%
  - ④ 計 器 ±0.01%

以上の項目から算出すると、熱出力測定の絶対値に対する誤差は50MWまでの全領域において、±2.6MWとなつた。

又、測定間のばらつき(再現性)に関する誤差は、より小さく、±0.32MWである。

以下に、誤差算出の詳細を記す。

#### 6.1.1 热出力の測定誤差

原子炉熱出力は、下式より求めている。

$$Q_R = Q_A + Q_H \quad [\text{Kcal}/\text{h}] \\ = r(T_{A_1}) W_A (I(T_{A_1}) - I(T_{B_2})) + r(T_{B_1}) W_B (I(T_{B_1}) - I(T_{B_2})) \quad (3.1 \text{ 参照のこと})$$

ここで、直接測定値は、温度  $T_{A_1}$ ,  $T_{A_2}$ ,  $T_{B_1}$ ,  $T_{B_2}$  と流量  $W_A$ ,  $W_B$  である。(アは比重、1はエンタルビ)

従って、熱出力の確率誤差  $R_{Q_R}$  (以下)の式で与えられる。

$$R_{Q_R}^2 = \left( \frac{\partial Q_R}{\partial T_{A_1}} \right)^2 r_{TA_1}^2 + \left( \frac{\partial Q_R}{\partial W_A} \right)^2 r_{WA}^2 + \left( \frac{\partial Q_R}{\partial T_{B_2}} \right)^2 r_{TB_2}^2 + \left( \frac{\partial Q_R}{\partial W_B} \right)^2 r_{WB}^2 \\ + \left( \frac{\partial Q_R}{\partial T_{B_1}} \right)^2 r_{TB_1}^2 + \left( \frac{\partial Q_R}{\partial W_B} \right)^2 r_{WB}^2$$

ここで、 $r_i$  (は測定値  $T_{A_1}$ ,  $T_{A_2}$ ,  $W_A$ ,  $T_{B_1}$ ,  $T_{B_2}$ ,  $W_B$ ) の確率誤差である。

また、Na密度  $r(T)$ , Naエンタルビ  $I(T)$  は、3.3.2に示したように温度  $T$  の多项式で表わされているので、 $r_i$  を求めれば、 $R_{Q_R}$  が算出される。

### 6.1.2 測定データからの誤差算出

7月25日の50 [MW] 時のデータから熱出力の確率誤差を求める。

$$\begin{aligned} T_{A_1} &= 369.7 \text{ [°C]} & r_{TA_1} &= 1.67 + 1.6 = 3.3 \text{ [°C]} \\ T_{A_2} &= 435.4 \text{ [°C]} & r_{TA_2} &= 0.12 + 1.6 = 1.7 \text{ [°C]} \\ W_A &= 12560 \text{ [m}^3/\text{h}] & r_{WA} &= 1256.0 \times \frac{2.26}{100} = 28.4 \text{ [m}^3/\text{h}] \\ T_{B_1} &= 370.6 \text{ [°C]} \\ T_{B_2} &= 433.3 \text{ [°C]} & r_{TB_1} &= 2.02 + 1.6 = 3.6 \text{ [°C]} \\ W_B &= 12667 \text{ [m}^3/\text{h}] & r_{TB_2} &= 2.12 + 1.6 = 3.7 \text{ [°C]} \\ r_{WB} &= 1266.7 \times \frac{2.26}{100} = 28.6 \text{ [m}^3/\text{h}] \end{aligned}$$

$$\begin{aligned} \text{熱出力 } Q_R &= 4269 \times 10^7 \text{ Kcal/h} \\ &= 49.6 \text{ MW} \end{aligned}$$

$$\begin{aligned} \text{確率誤差 } R_{Q_R} &= 2.248 \times 10^7 \text{ Kcal/h} \\ &= 2.61 \text{ MW} \end{aligned}$$

同様にして、25 [MW] 時の熱出力の確率誤差を求める。

$$\begin{aligned} T_{A_1} &= 370.0 \text{ [°C]} & r_{TA_1} &= 3.3 \text{ [°C]} \\ T_{A_2} &= 406.4 \text{ [°C]} & r_{TA_2} &= 1.7 \text{ [°C]} \\ W_A &= 125285 \text{ [m}^3/\text{h}] \\ T_{B_1} &= 370.4 \text{ [°C]} & r_{WA} &= 125285 \times \frac{2.26}{100} = 283 \text{ [m}^3/\text{h}] \\ T_{B_2} &= 404.7 \text{ [°C]} & r_{TB_1} &= 3.6 \text{ [°C]} \end{aligned}$$

$$W_h = 126542 \text{ [m}^3/\text{h}] \quad r_{TB_2} = 3.7 \text{ [ }^\circ\text{C}]$$

$$r_{WB} = 126542 \times 2.26 / 100 = 28.6 \text{ [m}^3/\text{h}]$$

$$\text{熱出力} Q_h = 2.352 \times 10^7 \text{ Kcal/h}$$

$$\approx 27.3 \text{ MW}$$

$$\text{確率誤差} R_{Qh} = 2.165 \times 10^6 \text{ Kcal/h}$$

$$\approx 2.52 \text{ MW}$$

ゆえに、熱出力測定の絶対確率誤差には出力依存性はなく  $\pm 2.6 \text{ MW}$  としてよい。

### 6.1.3 棟山端の測定誤差

#### (1) 温度測定誤差

① 熱伝対極電力（電圧力較正試験結果）—誤差として評価する。

A ループ出口 約 + 0.005 [mV] at 435 [ ]

$$+ 0.005 / 0.0424 = + 0.12 [ ]$$

A ループ入口 約 - 0.07 [mV] at 370 [ ]

$$- 0.07 / 0.0420 = - 1.67 [ ]$$

B ループ出口 約 - 0.09 [mV] at 435 [ ]

$$- 0.09 / 0.0424 = - 2.12 [ ]$$

B ループ入口 約 - 0.085 [mV] at 370 [ ]

$$- 0.085 / 0.0420 = - 2.02 [ ]$$

② 補償界限  $\pm 1.5 [ ]$  (JIS精密級)

③ デジタルマルチ温度計  $\pm (0.05 \% \text{ of rdg} + 0.02 [ ])$

$$\text{at } 435 [ ] \pm (\frac{0.05}{100} \times 435 + 0.02) = \pm 0.4 [ ]$$

$$\text{at } 370 [ ] \pm (\frac{0.05}{100} \times 370 + 0.02) = \pm 0.4 [ ]$$

④ 讀取り（後掲）  $\pm 0.1 [ ]$

※ 温度測定誤差

(1) A ループ原子炉人口温度

測定値 [ ]	残差 v	$v^2$
36.9	+ 0.2	0.04
36.9	+ 0.0	0.00
36.94	- 0.3	0.09
X <sub>0</sub> = 36.97	$\Sigma  v  = 0.5$	$\Sigma v^2 = 0.13$

算術的平均値

$$X_0 = 36.97$$

直値に対する算術的  
平均値の誤差

$$\delta = \sqrt{\frac{\Sigma v^2}{n(n-1)}} = \sqrt{\frac{0.13}{3(3-1)}} = 0.1472$$

各測定値の確定誤差

$$r = 0.6745 \sqrt{n} \delta = 0.6745 \times \sqrt{3} \times 0.1472 = 0.1720$$

算術的平均値の確率  
誤差

$$r_0 = \frac{\gamma}{\sqrt{n}} = \frac{0.1720}{\sqrt{3}} = 0.099$$

$$X = X_0 \pm r_0 = 36.97 \pm 0.1$$

(2) A ループ原子炉出口温度

測定値 [ ]	残差 v	$v^2$
43.62	+ 0.0	0.00
43.64	+ 0.2	0.04
43.60	- 0.2	0.04
X <sub>0</sub> = 43.62	$\Sigma  v  = 0.4$	$\Sigma v^2 = 0.08$

$$X_0 = 43.62$$

$$\delta = \sqrt{\frac{0.08}{3(3-1)}} = 0.1155$$

$$r = 0.6745 \sqrt{3} \times 0.1155 = 0.1349$$

$$r_0 = \frac{0.1349}{\sqrt{3}} = 0.078$$

$$X = 43.6 \pm 0.1$$

(2) 流量測定誤差

① 流量校正精度  $\pm 2.2 \text{ (%)}$

② mV → m<sup>3</sup>/h換算式精度  $\pm 0.5 \text{ (%)}$

③ 読取り（後掲）  $\pm 0.2 \text{ (%)}$

④ 高精度デジタル高圧計  


$$\begin{aligned} \text{確率誤差} &= \pm \sqrt{(1)^2 + (2)^2 + (3)^2 + (4)^2} \\ &= \pm \sqrt{2.2^2 + 0.5^2 + 0.2^2 + 0.01^2} \\ &= \pm 2.26 [\%] \end{aligned}$$

※流量誤差例

(1) A ループ流量 (7月8日, 50MW)

測定値 m³/h	残差 v	v²
1258.4	+0.8	0.64
1256.8	-0.8	0.64
1257.5	-0.1	0.01
X₀ = 1257.6	Σ v  = 1.7	Σv² = 12.9

$X₀ = 1257.6$

$\delta = \sqrt{\frac{1.29}{3(3-1)}} = 0.4637$

$r = 0.6745\sqrt{3} \times 0.4637 = 0.5417$

$r₀ = \frac{0.5417}{\sqrt{3}} = 0.3128$

$\frac{r₀}{X} = \frac{0.3128}{1257.6} = 0.025 \times 10^{-2}$

(2) A ループ流量 (7月25日, 50MW) … バラツキの大きいデータ

測定値 m³/h	残差 v	v²
1252.6	-3.5	12.25
1252.5	-3.5	12.25
1263.0	+7.0	49.00
1256.0	Σ v  = 14.0	Σv² = 73.5

$X₀ = 1256.0$

$\delta = \sqrt{\frac{73.5}{3(3-1)}} = 3.500$

$r = 0.6745\sqrt{3} \times 3.500 = 4.089$

$r₀ = \frac{4.089}{\sqrt{3}} = 2.361$

$\frac{r₀}{X} = \frac{2.361}{1256.0} = 0.18 \times 10^{-2}$

相対誤差 = 0.2%とする。

## 6.1.4 热出力测定の再现性誤差

熱出力の再现性を論じる場合の誤差の要因は、以下のものとする。

## (1) Na 温度测定

- ① 計器 ± 0.4°C  
② 讀取り ± 0.1°C

$\text{①+②の確率誤差} = \pm \sqrt{0.4^2 + 0.1^2} = \pm 0.41^\circ\text{C}$

## (2) Na 流量测定

- ① 計器 ± 0.01 %  
② 讀取り ± 0.2 %

$\text{①+②の確率誤差} = \pm \sqrt{0.01^2 + 0.2^2} = \pm 0.203\%$

6.1.2 と同様に、7月25日の50MW時のデータから、熱出力の再现性の誤差を求める。

$$\begin{aligned} T_{A_1} &= 369.7 [\text{°C}] & r_{TA_1} &= 0.41 [\text{°C}] \\ T_{A_2} &= 435.4 [\text{°C}] & r_{TA_2} &= 0.41 [\text{°C}] \\ W_A &= 1256.0 [\text{m}^3/\text{h}] & r_{WA} &= 1256.0 \times \frac{0.20}{100} = 2.6 [\text{m}^3/\text{h}] \\ T_{B_1} &= 370.6 [\text{°C}] \\ T_{B_2} &= 433.3 [\text{°C}] & r_{TB_1} &= 0.41 [\text{°C}] \\ W_B &= 1266.7 [\text{m}^3/\text{h}] & r_{TB_2} &= 0.41 [\text{°C}] \\ r_{WB} &= 1266.7 \times \frac{0.20}{100} = 2.6 [\text{m}^3/\text{h}] \end{aligned}$$

$\text{確率誤差 } R_{QR} = 2.821 \times 10^6 \text{ Kcal/h}$

$= 0.328 \text{ MW}$

同様にして、7月25日の25MW時のデータから、熱出力の再现性の誤差を求める。

$$\begin{aligned} T_{A_1} &= 370.0 [\text{°C}] & r_{TA_1} &= 0.41 [\text{°C}] \\ T_{A_2} &= 406.4 [\text{°C}] & r_{TA_2} &= 0.41 [\text{°C}] \\ W_A &= 1252.85 [\text{m}^3/\text{h}] & r_{WA} &= 1252.85 \times \frac{0.20}{100} = 2.6 [\text{m}^3/\text{h}] \\ T_{B_1} &= 370.4 [\text{°C}] \\ T_{B_2} &= 404.7 [\text{°C}] & r_{TB_1} &= 0.41 [\text{°C}] \\ W_B &= 1265.42 [\text{m}^3/\text{h}] & r_{TB_2} &= 0.41 [\text{°C}] \\ r_{WB} &= 1265.42 \times \frac{0.20}{100} = 2.6 [\text{m}^3/\text{h}] \end{aligned}$$

$\text{確率誤差 } R_{QR} = 2.763 \times 10^6 \text{ Kcal/h}$

$= 0.321 \text{ MW}$

ゆえに、全出力範囲にわたって、熱出力測定の再现性誤差は ± 0.33 MW としてよい。

## 6.2 核計装の測定誤差

核計装の誤差を考える場合、これは、熱出力のような絶対値測定ではない事に注意する。核計装のモニタ出力は、測定された熱出力に合わせるように、アンプのゲインを調整して決定されるため、誤差要因としては以下の3項目を考えればよい。

- (1) アンプ調整誤差
- (2) 測定計器誤差
- (3) モニタ出力読み取り誤差

この他に、測定系の経時変化、例えば、アンプのゲインのシフト等が考えられるが、これらのデータはないので、ここでは無視する。  
また、①のアンプ調整誤差については、調整法が、モニタ出力を読み取りながら、ゲインを調整して熱出力に合わせる方法であるため、数値としては、③のモニタ出力読み取り誤差と同じと考えてよい。

## (1) 出力系測定の確率誤差

- (1) アンプ調整誤差 土 0.39%
- (2) 測定計器誤差 土 (0.01% of rdg + 0.001 f.s.) ± 1 digit 土 0.01%
- (3) モニタ出力読み取り誤差 土 0.39%

(後掲)

ゆえに、

$$\text{確率誤差} = \pm \sqrt{\text{(1)}^2 + \text{(2)}^2 + \text{(3)}^2}$$

$$= \pm 0.55\%$$

## (2) 中間系測定の確率誤差

- (1) アンプ調整誤差 土 0.0075 volt
- (2) 測定計器誤差 土 0.01% ± 0.001 volt
- (3) モニタ出力読み取り誤差 土 0.0075 volt

(後掲)

ゆえに、

$$\text{確率誤差} = \pm \sqrt{\text{(1)}^2 + \text{(2)}^2 + \text{(3)}^2}$$

$$= \pm 0.011 volt$$

多に換算すると、

出力 100% 時	確率誤差 土 1.5%
" 10% 時	" 土 0.15%
" 1% 時	" 土 0.015%

※ 核計装モニタ出力読み取り誤差

## (4) 出力系モニタ出力

8/14 17:00 ch. 7 ..... バラツキの大きいデータ

測定値 %	残 差 v	v <sup>2</sup>
99.43	+ 0.185	0.034225
99.06	- 0.185	0.034225
X <sub>0</sub> = 99.245	$\Sigma  v  = 0.37$	$\Sigma v^2 = 0.6845$

ベッセルの公式から確率誤差  $r_0$  は、

$$r_0 = 0.6745 \sqrt{\frac{\sum v^2}{n(n-1)}}$$

$$= 0.39\%$$

直値 = 99.25 ± 0.39%

## (5) 中間系モニタ出力

7/21 14:14 ch. 3 ..... バラツキの大きいデータ

測定値 Volt	残 差 v	v <sup>2</sup>
9.678	+ 0.0075	5.625 - 5
9.663	- 0.0075	5.625 - 5
X <sub>0</sub> = 9.6705	$\Sigma  v  = 0.015$	$\Sigma v^2 = 1.125 \times 10^{-4}$

$$\text{確率誤差 } r_0 = 0.6745 \sqrt{\frac{\sum v^2}{n(n-1)}}$$

$$= 0.0075 \text{ volt}$$

出力 100% 時 確率誤差 土 10.3%

" 10% 時 " 土 1.03%

" 1% 時 " 土 0.103%

## 第7章 原子炉熱出力と炉心熱出力との差

表 7.1 原子炉熱出力と炉心熱出力の比較

校正測定日 No.	熱出力(1) (MW)	熱出力(1) (MW)	かかわる熱出力(2) (MW)	熱出力(1)-熱出力(2) (MW)	MW	% 差	MW	% 差	オーバーフロー系 (kW)		補助系 (kW)
									熱出力(1) (MW)	熱出力(1)-熱出力(2) (MW)	
4 5月19日	19.37	19.21	19.37	+0.16	+0.83	0.0	0.0	0.0	78	81	
5 5月25日	23.40	23.21	23.41	+0.19	+0.81	-0.01	-0.04	-0.04	89	108	
6 6月10日	25.77	25.57	25.79	+0.20	+0.78	-0.02	-0.08	-0.08	92	126	
7 6月23日	40.28	39.97	40.21	+0.31	+0.77	+0.07	+0.17	+0.17	89	148	
8 7月 4日	38.56	38.25	38.46	+0.31	+0.80	+0.10	+0.26	+0.26	73	144	
10 7月 6日	46.17	45.80	46.05	+0.37	+0.80	+0.12	+0.26	+0.26	92	159	
11 7月 7日	50.62	50.23	50.49	+0.39	+0.77	+0.13	+0.26	+0.26	88	171	
12 7月 8日	11.32	11.23	11.42	+0.09	+0.80	-0.10	-0.88	-0.88	74	118	
13 "	16.29	16.17	16.38	+0.12	+0.74	-0.09	-0.55	-0.55	95	123	
14 "	21.76	21.59	21.81	+0.17	+0.78	-0.05	-0.23	-0.23	98	125	
15 "	27.19	26.98	27.22	+0.21	+0.77	-0.03	-0.11	-0.11	109	130	
16 "	31.42	31.18	31.43	+0.24	+0.76	-0.01	-0.03	-0.03	116	134	
17 "	36.12	35.84	36.09	+0.28	+0.78	+0.03	+0.08	+0.08	114	136	
18 "	40.62	40.30	40.56	+0.32	+0.79	+0.06	+0.15	+0.15	115	141	
19 "	45.68	45.32	45.60	+0.36	+0.79	+0.08	+0.18	+0.18	116	157	
20 "	50.51	50.11	50.39	+0.40	+0.79	+0.12	+0.24	+0.24	108	167	
差を熱出力 (1)で除した ものの											

PT-11 热出力較正試験では、原子炉熱出力を、3.1に記したように、1次冷却材から中間燃焼機器を介して、2次冷却材へ伝達する熱として定義しているので、ここで、原子炉熱出力と、炉心（即ち燃料）からの発熱量（これを「かかわる熱出力」と呼ぶ）との差に關して検討を行なう。なお、本試験ではサイフォンブレーカ流量を、小さいものとして無視しているので、その評価も合わせて行なった。

以下のように、3種の熱出力を定義する。

- ① 原子炉熱出力(1)…本試験での熱出力。サイフォンブレーカ流量を無視して、主冷却系だけのヒートバランスから求めた熱出力。
  - ② 原子炉熱出力(2)…主冷却流路からサイフォンブレーカ流量を除いた流量を用いて、主冷却系だけのヒートバランスから求めた熱出力。
  - ③ 炉心熱出力…主冷却系（サイフォンブレーカ流量を考慮）、オーバーフロー系及び補助冷却系のヒートバランスから求めた熱出力であり、燃料からの発熱量としてよい。この他に、ポンプ入熱と放熱があるが、これは、直接の測定が困難であるが両者は符号が反対で、その和を考えると微少であると思われる。なので、無視する。
- 3種の熱出力を相互比較した結果を表 7.1 に示す。
- ① サイフォンブレーカ流量は、A ループで  $9.8 \text{ m}^3/\text{hr}$ 、B ループで  $99 \text{ m}^3/\text{hr}$  であり、この値は  $5/9 - 7/8$  の間で殆ど変化していない。これは、主冷却流量の 0.8 多であるので、原子炉熱出力(1)は原子炉熱出力(2)より約 0.8% 大きい。
  - ② オーバーフロー系からの除熱量は、炉出力に対する依存性が少なく、70~120 kW の間である。
  - ③ 補助系からの除熱量は、炉出力に依存していて、10 MW で約 120 kW、50 MW で約 170 kW である。
  - ④ オーバーフロー系・補助系とも流量はよく安定している。オーバーフロー系は、11~12  $\text{m}^3/\text{hr}$ 、補助系は  $-16.6 \text{ m}^3/\text{hr}$  である。
  - ⑤ オーバーフロー系・補助系の除熱量の和は、炉出力の 0.6% から 1.1% の間であり（炉出力を除く）、サイフォンブレーカ流量の 0.8% をキャンセルするので、原子炉熱出力(1)と炉心熱出力との差は、± 0.2 MW 以内になる。

表7.2.1 1次冷却系測定データ(1)

測定日時 (1978年)		4	5	6	7	較正通しNo		較正通しNo		8	10	11	12
冷却材流量	m³/h	5月19日 9時11分	5月25日 9時 分	6月10日 9時07分	6月23日 時 分	測定期時 (1978年)		7月4日	7月6日	7月7日	7月8日	9時38分	9時14分
1 次 冷却材 サイクロンブレーカ流量	m³/h	1.252.0	1.257.4	1.262.7	1.255.4	主冷却材流量	m³/h	1.257.2	1.226.1	1.257.1	1.255.2		
炉入口Na温度	°C	9.74	9.75	9.80	9.78	サイクロンブレーカ流量	m³/h	9.80	9.79	9.80	9.81		
A 炉出口Na温度	°C	37.06	37.19	36.99	37.32	炉入口Na温度	°C	37.26	36.90	36.99	37.02		
B 炉出口Na温度	°C	39.62	40.24	40.45	42.62	炉出口Na温度	°C	42.34	43.17	43.68	38.62		
ループ熱出力	MW	9.85	11.78	13.43	20.39	ループ熱出力	MW	19.58	23.58	25.78	6.18		
サイクロンブレーカ流量を除いたループ熱出力	MW	9.78	11.69	13.32	20.23	サイクロンブレーカ流量を除いたループ熱出力	MW	19.42	23.39	25.58	6.13		
主冷却材流量	m³/h	1.261.8	1.263.7	1.271.2	1.265.2	主冷却材流量	m³/h	1.267.9	1.235.8	1.268.6	1.266.6		
サイクロンブレーカ流量	m³/h	9.93	9.93	9.97	9.94	サイクロンブレーカ流量	m³/h	9.93	9.93	9.94	9.95		
炉入口Na温度	°C	36.97	37.04	37.09	37.25	炉入口Na温度	°C	37.24	36.98	37.04	37.16		
B 炉出口Na温度	°C	39.42	40.03	40.25	42.38	炉出口Na温度	°C	42.12	42.94	43.43	38.48		
ループ熱出力	MW	9.51	11.61	12.34	19.90	ループ熱出力	MW	18.82	22.41	24.65	5.10		
サイクロンブレーカ流量を除いたループ熱出力	MW	9.43	11.52	12.25	19.74	サイクロンブレーカ流量を除いたループ熱出力	MW	18.97	22.59	24.85	5.14		
オーバーフロー液上流量	m³/h	1.161	1.189	1.122	1.193	オーバーフロー液上流量	m³/h	1.206	1.201	1.194	1.205		
オーバーフロータンクNa温度	°C	37.33	37.71	37.68	40.04	オーバーフロータンクNa温度	°C	40.24	40.53	41.13	36.56		
炉出口平均Na温度	°C	39.52	40.14	40.35	42.50	炉出口平均Na温度	°C	42.23	43.06	43.56	38.55		
除熱量	MW	0.078	0.089	0.092	0.089	除熱量	MW	0.073	0.092	0.088	0.074		
1 次 補助系 IHX出入口Na温度	°C	39.08	39.14	39.25	40.54	1 次 補助系 IHX出入口Na温度	°C	40.36	40.75	41.05	38.10		
IHX入庫熱量	MW	0.081	0.108	0.126	0.148	IHX入庫熱量	MW	0.144	0.159	0.171	0.118		
原子炉熱出力(1)	MW	19.37	23.40	25.77	40.28	原子子炉熱出力(1)	MW	3.856	4.617	5.062	1.132		
原子炉熱出力(2)	MW	19.21	23.21	25.57	39.97	原子子炉熱出力(2)	MW	3.825	4.580	5.023	1.123		
炉心熱出力	MW	19.37	23.41	25.79	40.21	炉心熱出力	MW	3.846	4.605	5.049	1.142		

表7.2.2 1次冷却系測定データ(2)

測定期時 (1978年)		7月4日	7月6日	7月7日	7月8日	較正通しNo		測定期時 (1978年)		7月4日	7月6日	7月7日	7月8日
冷却材流量	m³/h	1257.2	1226.1	1257.1	1255.2	主冷却材流量	m³/h	1257.2	1226.1	1257.1	1255.2		
サイクロンブレーカ流量	m³/h	9.80	9.79	9.80	9.81	サイクロンブレーカ流量	m³/h	9.80	9.79	9.80	9.81		
A 炉入口Na温度	°C	37.26	36.90	36.99	37.02	炉入口Na温度	°C	37.26	36.90	36.99	37.02		
B 炉出口Na温度	°C	42.34	43.17	43.68	38.62	炉出口Na温度	°C	42.34	43.17	43.68	38.62		
ループ熱出力	MW	19.58	23.58	25.78	6.18	ループ熱出力	MW	19.58	23.58	25.78	6.18		
サイクロンブレーカ流量を除いたループ熱出力	MW	19.42	23.39	25.58	6.13	サイクロンブレーカ流量を除いたループ熱出力	MW	19.42	23.39	25.58	6.13		
主冷却材流量	m³/h	1267.9	1235.8	1268.6	1.266.6	主冷却材流量	m³/h	1267.9	1235.8	1268.6	1.266.6		
サイクロンブレーカ流量	m³/h	9.93	9.93	9.94	9.95	サイクロンブレーカ流量	m³/h	9.93	9.93	9.94	9.95		
B 炉入口Na温度	°C	37.24	36.98	37.04	37.16	炉入口Na温度	°C	37.24	36.98	37.04	37.16		
ループ熱出力	MW	18.82	22.41	24.65	5.10	ループ熱出力	MW	18.82	22.41	24.65	5.10		
オーバーフロー液上流量	m³/h	1.206	1.201	1.194	1.205	オーバーフロー液上流量	m³/h	1.206	1.201	1.194	1.205		
オーバーフロータンクNa温度	°C	40.24	40.53	41.13	41.3	オーバーフロータンクNa温度	°C	40.24	40.53	41.13	41.3		
炉出口平均Na温度	°C	42.23	43.06	43.56	38.55	炉出口平均Na温度	°C	42.23	43.06	43.56	38.55		
除熱量	MW	0.073	0.092	0.088	0.074	除熱量	MW	0.073	0.092	0.088	0.074		
1 次 補助系 IHX出入口Na温度	°C	40.36	40.75	41.05	38.10	1 次 補助系 IHX出入口Na温度	°C	40.36	40.75	41.05	38.10		
IHX入庫熱量	MW	0.144	0.159	0.171	0.118	IHX入庫熱量	MW	0.144	0.159	0.171	0.118		
原子子炉熱出力(1)	MW	3.856	4.617	5.062	1.132	原子子炉熱出力(1)	MW	3.856	4.617	5.062	1.132		
原子子炉熱出力(2)	MW	3.825	4.580	5.023	1.123	原子子炉熱出力(2)	MW	3.825	4.580	5.023	1.123		
炉心熱出力	MW	3.846	4.605	5.049	1.142	炉心熱出力	MW	3.846	4.605	5.049	1.142		

表 7.2.3 1 次冷却系測定データ (3)

表 7.2.4 1 次冷却系測定データ (4)

較正通し No.		13	14	15	16			較正通し No.		17	18	19	20
測定日時 (1978年)		7月8日 10時17分	7月8日 13時05分	7月8日 14時05分	7月8日 15時00分			測定日時 (1978年)		7月8日 16時10分	7月8日 17時15分	7月8日 18時34分	7月8日 20時09分
主冷却材 流量	m³/h	125.61	125.68	125.34	125.72	主冷却材 流量	m³/h	125.85	125.66	125.61	125.76		
1 サイクロンブレーカ流量	m³/h	98.1	98.2	98.1	98.2	1 サイクロンブレーカ流量	m³/h	98.1	98.0	98.2	98.0		
系統 A 売入口 Na 温度	°C	37.0.3	37.1.5	37.0.6	37.1.3	系統 A 売入口 Na 温度	°C	37.0.6	37.0.6	37.0.9	36.9.7		
系統 B 売出口 Na 温度	°C	39.2.5	39.9.6	40.6.7	41.2.8	系統 B 売出口 Na 温度	°C	41.8.0	42.4.2	43.1.0	43.6.2		
ループ熱出力 MW	MW	85.8	108.5	139.0	160.1	ループ熱出力 MW	MW	18.3.1	20.6.6	23.1.4	25.6.4		
サイクロンブレーカ流量を除いたループ熱出力	MW	85.1	0.77	1.37.9	15.89	サイクロンブレーカ流量を除いたループ熱出力	MW	18.1.6	20.5.0	22.9.6	25.4.4		
主冷却材 流量	m³/h	126.69	126.67	126.53	126.7.9	主冷却材 流量	m³/h	126.69	126.56	126.7.5	126.60		
1 サイクロンブレーカ流量	m³/h	99.5	99.5	99.5	99.6	1 サイクロンブレーカ流量	m³/h	99.5	99.5	99.5	99.4		
系統 B 売入口 Na 温度	°C	37.0.8	36.9.5	37.0.6	37.1.0	系統 B 売入口 Na 温度	°C	36.9.6	37.0.6	37.1.0	37.0.4		
系統 B 売出口 Na 温度	°C	39.0.6	39.7.5	40.4.8	41.0.6	系統 B 売出口 Na 温度	°C	41.5.4	42.2.0	42.9.0	43.4.5		
ループ熱出力 MW	MW	7.6.6	10.8.2	13.1.9	15.2.9	ループ熱出力 MW	MW	17.6.8	19.8.0	22.3.6	24.6.8		
サイクロンブレーカ流量の除いたループ熱出力	MW	7.7.2	10.9.1	13.2.9	15.4.2	サイクロンブレーカ流量の除いたループ熱出力	MW	17.8.2	19.9.6	22.5.4	24.8.7		
オーバーフロー 液上流量	m³/h	120.9	120.8	11.9.6	120.6	オーバーフロー液上流量	m³/h	120.4	120.6	11.9.1	12.0.0		
オーバーフロータンク Na 温度	°C	36.6.1	37.2.2	37.6.2	38.0.3	オーバーフロータンク Na 温度	°C	38.5.8	39.1.7	39.8.0	40.5.6		
炉出口平均 Na 温度	°C	39.1.6	39.8.6	40.5.8	41.1.7	炉出口平均 Na 温度	°C	41.6.7	42.3.1	43.0.0	43.5.4		
炉出口熱流量	MW	0.095	0.098	0.109	0.116	炉出口熱流量	MW	0.114	0.115	0.116	0.108		
1 IHX 入口 Na 温度	°C	-16.6.3	-16.7.1	-16.6.8	-16.7.3	1 IHX 出口 Na 温度	°C	-16.7.0	-16.7.3	-16.7.2	-16.7.1		
1 IHX 入口 Na 温度	°C	38.4.7	38.9.0	39.3.2	39.7.0	1 IHX 入口 Na 温度	°C	39.9.3	40.3.5	40.8.2	41.0.4		
補助系熱流量	MW	0.124	0.124	0.130	0.134	補助系熱流量	MW	0.13.6	0.14.1	0.15.8	0.16.7		
原子炉熱出力 (1)	MW	1.62.9	21.7.6	27.1.9	31.4.2	原子炉熱出力 (1)	MW	36.1.2	40.6.2	45.6.8	50.5.1		
原子炉熱出力 (2)	MW	16.1.7	21.5.9	26.9.8	31.1.8	原子炉熱出力 (2)	MW	35.8.4	40.3.0	45.3.2	50.1.1		
炉心熱出力	MW	16.3.8	21.8.1	27.2.2	31.4.3	炉心熱出力	MW	36.0.9	40.5.6	45.6.0	50.3.9		

## 第8章 热出力較正曲線の変動

出力上昇試験期間中、熱出力較正試験を相当回数にわたって行なったが、この試験を進める中で必ずしも較正結果に再現性がない事、すなわち熱出力測定値に対して出力系の指示値が、ch. 6～8とも一概に同一方向に数%ずれる現象がある事が確認された。この事は、熱出力較正の測定誤差を大きく越えている。

この現象を簡単にまとめると。

(1) 同一日に出力上昇する際には、熱出力と出力系指示値は、非常に良好な直線性を示す。

(2) 热出力較正値の変動は、殆ど例外なく運転履歴に依存している。熱出力較正試験前に2～3日以上の長い休止期間がある場合は、熱出力に対して出力系指示値は小さくなり、試験前に長期間の高出力連続運転がある場合は、熱出力に対して出力系指示値は大きくなる。その差は、最大で約6%である。

(3) 5.1.13の項で述べたように、2～3日の休止から高出力連続運転を開始した場合、(出力系指示値) / (熱出力) のrateは、運転開始直後は急激に上昇し、運転開始後約1週間経過すると、ほぼ飽和値に達するような、上に凸な单調増加のカーブをえがく。

以上の現象の整理から、変動の原因は、炉心から中性子検出器までの温度変動にあると考え、検討を始めた。

まず、炉心及び炉内Na 及び炉内Na 及び炉壁の影響はない事が判明した。これらの場所の温度はすべて運転とほぼ同時に熱的平衡状態に達し、それ以後の変動はない。

次に、検出器自体の温度効果であるが、これは極めてその温度変動量が小さく、また、検出感度に対する温度の影響はきわめて小さいことが仕様から知られており、これも無視できる。残るのが、グラフィト及び安全容器の温度効果であり、これらの原子炉運転に伴う変動の様子と、出力系指示値の変動の様子が、良く一致している事が判明した。

従って、出力系指示値変動の原因は、グラフィト及び安全容器温度の変動にあると考え、更に検討を進めた。

以下に、その詳細を記す。

### 8.1 経過

出力系指示値の変動経過の概略を記す。

- (1) 7月7日 出力系の計器較正を行なう。  
較正熱出力は 50.62 (MW) である。

- (2) 7月8日 中間系及び出力系の熱出力較正のために 10～50 (MW) 間を 5 (MW) ステップで較正する。

出力系 100 [%] で熱出力約 50.5 (MW) であった。

(3) 7月21日 周辺のリハーサルを行なう。

出力系 100 [%] で熱出力約 53.3 (MW) となり、6 [%] オーバーした。

(4) 7月24日 50 (MW) にて作復測定する。

出力系 96 [%] で熱出力約 49.6 (MW) となり、L&J(2), (3)の範間にに入る。この熱出力で再度出力系の計器調整を行なう。

(5) 7月25日 热出力較正試験の官房立会を受ける。

出力系 100 [%] で熱出力約 49.6 (MW) となり無事合格する。

(6) 8月11日～16日連続100時間運転に於いて出力系を 100 [%] に保持したが、熱出力は 50.7 (MW) から 48.5 (MW) まで徐々に減少する。

### 8.2 検討結果

#### 8.2.1 热出力較正曲線の推移

較正曲線の推移の代表例として出力系 ch. 6 の較正曲線を図8.1に示す。他の検出器についても同様に運動している。

中間系 ch. 3 の較正曲線の推移を図8.2に示す。中間系についてもその量は小さいが、出力系と同様の傾向がみられる。

#### 8.2.2 推移の原因

中性子検出器の温度は検出器自体の温度及び中性子が透過する物体の温度に依存する。そこで、50 (MW) 出力での炉体周方向の温度分布を図8.3.1～2に示す。

出力系検出器温度は7月8日と21日の間で温度差が2(℃)である。また、東芝の報告書(SJ201 74-30)によるとCIC検出器の温度による変化は殆んど無いと報告されている。よって、検出器温度の影響は無い。

同様に、原子炉出口ナトリウム温度については温度差が4(℃)以内、炉心中心レベルの炉壁温度については温度差が2(℃)以内であり炉内ナトリウム、炉内構造物、及び炉壁とも温度による検出器感度への影響は小さいと考えられる。なお、出力上昇時の炉壁温度の推移を図8.4.1～2に示す。炉壁温度は原子炉出口温度によく追従しており、出力上昇過程で熱出力較正を行なう測定に対する炉壁温度の影響は小さい。

以上から、炉壁から出力系検出器の間に存する黒鉛遮蔽体及び安全容器が検出器感度に最も影響を与えていていると考えられる。

図8.5.1に7月21日～26日の黒鉛温度の推移を、図8.5.2に8月11日～16日の推移を、炉出力と併せて示す。

### 8.2.3 温度依存性

黒鉛遮蔽体及び安全容器が爐体内であると仮定し、連続100時間運転時ににおけるデータから、各々の温度依存性を求めた。表8.1.1～2に、炉体廻り温度と熱出力・出力系の関係を整理してある。

図8.6に、出力系指標値と黒鉛温度・安全容器温度との関係を示す。測定誤差の範囲内で、非常に強い相関があることがわかる。

温度依存性は、以下のようになつた。(最小2乗法による)

- 黑鉛遮蔽体に対して 0.26 %/ °C
- 安全容器に対して 0.44 %/ °C

	8月11日 16:00	8月16日 9:30
ch 6 指示値	98.69 %	103.12 %
黒鉛温度	69.8 °C	87.8 °C
安全容器温度	50.7 °C	61.4 °C

黒鉛温度は7月14日0時に、出力上昇期間中の最高温度(TE 83-7で89.9°C)を示しており、連続100時間運転終了時においてもTE 83-7で87.9°Cと2.0°C低い温度である。89.9°Cを飽和値とする50 [MWt] 到達後飽和値に達するのに170 [h] (約1週間) 程度必要と考えられる。

### 8.2.4 ch. 9に対する効果

ch. 9とは、出力系と同種のCIC中性子検出器を用いて、黒鉛遮蔽体の内部にあるホールに挿入してあるチャンネルの事であり、ホールの位置は、黒鉛遮蔽体外径から300mm内側にある。

ch. 9から読み取った指示値と、熱出力の関係を表8.2、図8.7に示す。但し、この指示値は、水流を遮蔽出力したチャートから読み取ったものであり、精度は、あまり良くないと思われる。

図8.7を見ると、ch. 6と同様に、黒鉛温度の上昇に伴って、指示値は、概ね大きくなつており、傾向は同じであるが、その変動量は、ch. 6よりも小さい。

これは、ch. 9の位置が、黒鉛内部にあるために、300mm分の黒鉛と安全容器の効果がない事によるものと思われ、出力系指示値の変動の原因が、黒鉛温度と安全容器にあるという仮定を裏付けるものと考えられる。

表8.1.1 炉体廻り温度と熱出力の関係(その1)

	7月25日 17:33	8月11日 16:00	8月12日 9:00	8月13日 9:00	17:00
熱出力 MW	49.64	50.76	50.15	49.86	49.15
ch. 6 モニタ換算 %	100.14	100.19	100.14	100.01	99.80
ch. 7 モニタ換算 %	98.85	99.58	99.58	99.47	99.43
ch. 8 モニタ換算 %	100.96	100.32	100.19	99.91	99.88
50 MW at 50MW	100.87	98.69	99.84	100.29	101.74
ch. 7 モニタ換算 % at 50MW	99.57	98.09	99.28	99.75	101.15
ch. 8 モニタ換算 % at 50MW	101.69	98.82	99.89	100.19	101.61
炉 TE71-121 °C	394.5	393.7	394.9	394.9	394.5
壁 TE71-122 °C	390.2	388.5	390.5	390.5	390.1
TE83-5 °C	78.1	69.0	75.4	77.8	81.2
TE83-6 °C	78.3	68.5	75.0	77.4	81.0
TE83-7 °C	79.2	69.8	76.0	78.4	81.7
TE83-8 °C	87.5	78.3	85.2	87.4	90.6
TE83-15 °C	58.5	52.4	56.1	57.8	60.1
TE83-16 °C	56.4	50.7	54.1	55.7	57.6
ch. 6 出力系検出器	-	3.5	3.3	3.5	3.5
ch. 7 出力系検出器	-	3.8	3.9	4.0	4.0
ch. 8 出力系検出器	-	3.8	3.9	4.0	4.0
TE83-21	39.9	37.0	37.9	38.7	39.6
TE83-22	39.5	36.5	37.6	38.2	39.2

表 8.1.2 炉体廻り温度と熱出力の関係(その2)

	8月14日 9:00	8月15日 9:00	8月15日 13:00	8月16日 17:00	8月16日 23:30	8月16日 9:30	
燃出力 MW	48.58	48.70	48.35	48.61	48.61	48.74	
ch. 6 %	99.72	99.74	99.49	100.20	99.97	100.52	
ch. 7 %	99.33	99.25	99.22	99.75	99.77	99.48	
ch. 8 %	99.77	99.63	99.53	100.09	100.04	99.77	
50MW at 50MW	1026.3	1024.0	1028.9	1027.5	1031.0	1031.2	
ch. 7 % at 50MW	1022.3	1019.0	1026.1	1022.9	1026.2	1023.2	
換算値	1026.9	1022.9	100.93	1026.4	1029.0	1026.2	
TE71-121 °C	394.6	394.8	395.6	394.4	395.2	395.0	
TE71-122 °C	390.5	390.8	391.8	390.5	391.3	391.2	
TE83-5 °C	84.5	85.2	86.3	86.5	86.7	87.1	
TE83-6 °C	84.5	85.1	86.3	86.4	86.6	87.1	
TE83-7 °C	84.8	85.6	86.7	86.7	87.0	87.3	
TE83-8 °C	93.6	94.2	95.2	95.4	95.8	96.0	
安全容器器	TE83-15 °C	62.0	62.5	63.1	63.5	63.7	
検出器	TE83-16 °C	59.4	59.8	60.5	60.6	61.0	
力	ch. 6 °C	3.5	3.5	3.6	3.6	3.7	
ch. 7 °C	4.0	4.1	4.1	4.1	4.1	4.1	
ch. 8 °C	4.0	4.0	4.1	4.1	4.1	4.1	
炭素鋼	TE83-21 °C	40.2	40.5	40.7	40.9	41.1	
鋼	TE83-22 °C	39.8	39.9	40.2	40.3	40.5	

表 8.2 黒鉛温度と熱出力との関係(ch. 9)

	日時	熱出力 MW	黒鉛温度 ch. 9 °K × 10 <sup>-4</sup>	熱出力 MW	黒鉛温度 TE83-7 °K × 10 <sup>-4</sup>	備考
8/12 9:00		50.15	2.086	50.1	99.90	76.0
" 17:00		49.86	2.083	50.0	100.28	78.4
8/13 9:00		49.15	2.065	49.6	100.92	81.7
" 17:00		48.95	2.060	49.5	101.12	83.0
8/14 9:00		48.58	2.051	49.3	101.48	84.8
" 17:00		48.70	2.045	49.1	100.82	85.6
8/15 9:00		48.35	2.033	48.9	101.14	86.7
" 13:00		48.76	2.045	49.1	100.70	86.7
" 17:00		48.61	2.045	49.1	101.00	87.0
" 23:30		48.61	2.033	48.9	100.60	87.3
8/16 9:30		48.74	2.050	49.2	100.94	87.8

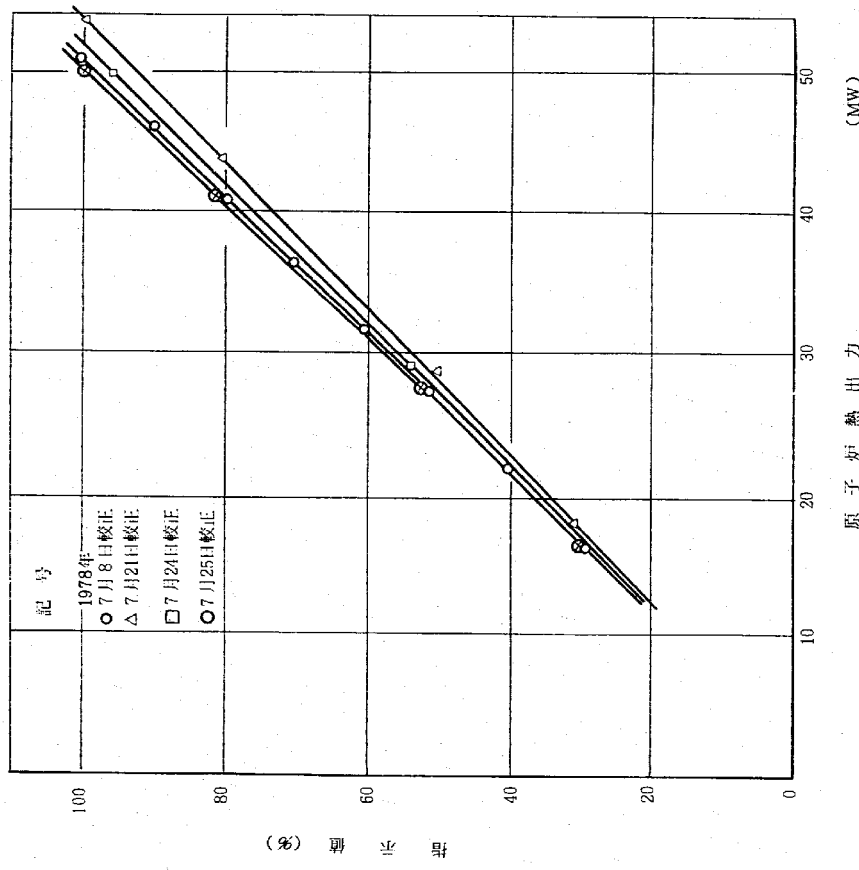


図8-1 出力系(ch.6)較正曲線

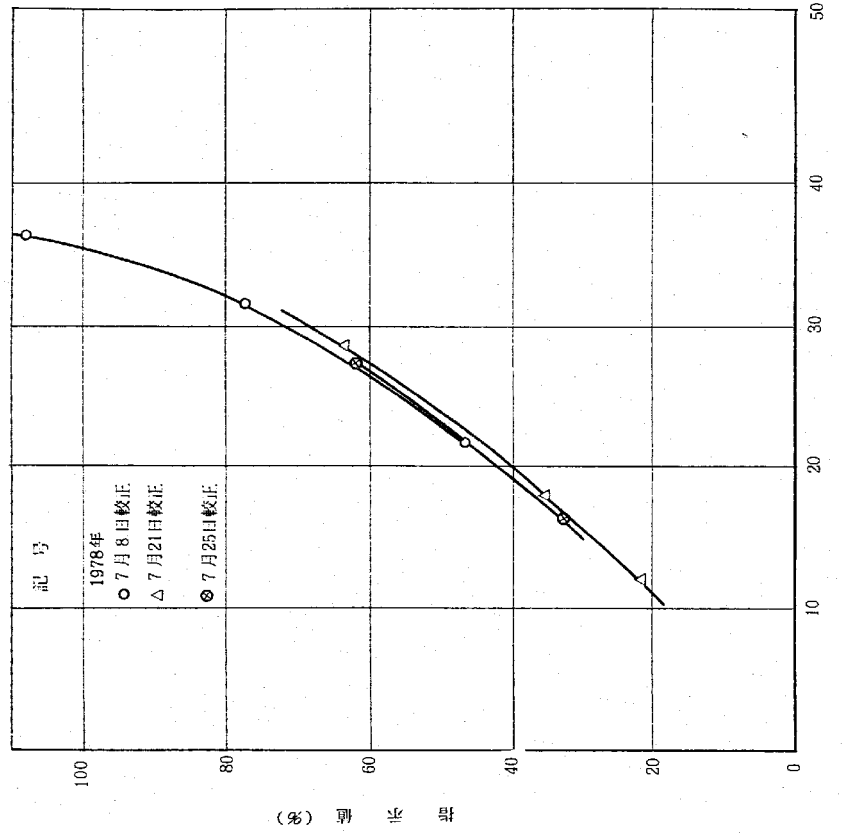


図8-2 中間系(ch.3)較正曲線

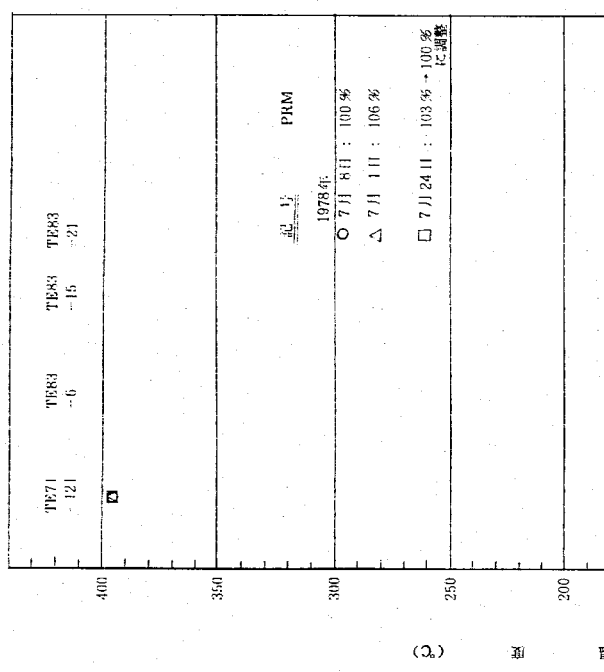


図 8-3-1 好体周方向温度分布 (GL-10860) (1)

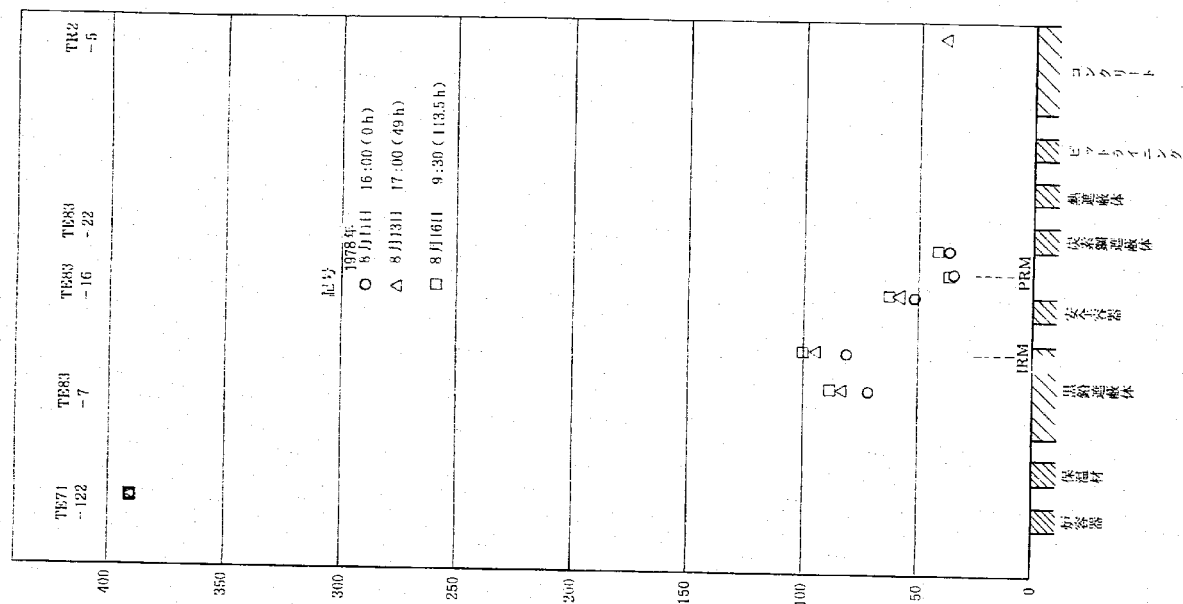


図 8-3-2 好体周方向温度分布 (GL-10860) (2)

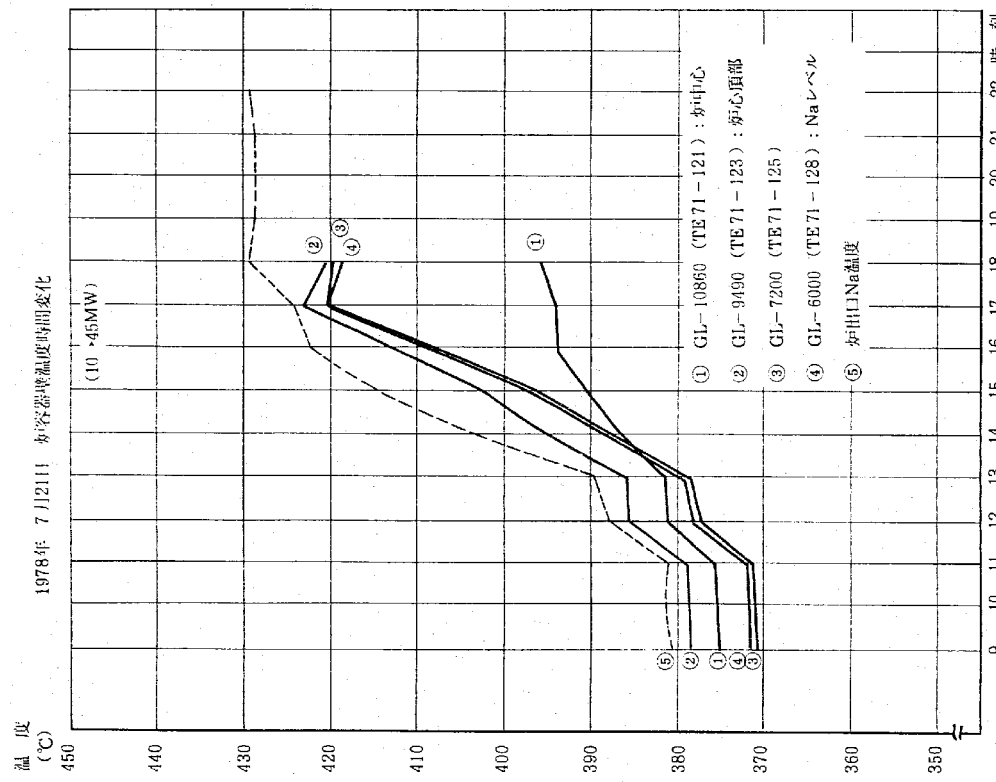


図 8-4-1 炉壁温度の推移 (その 1)

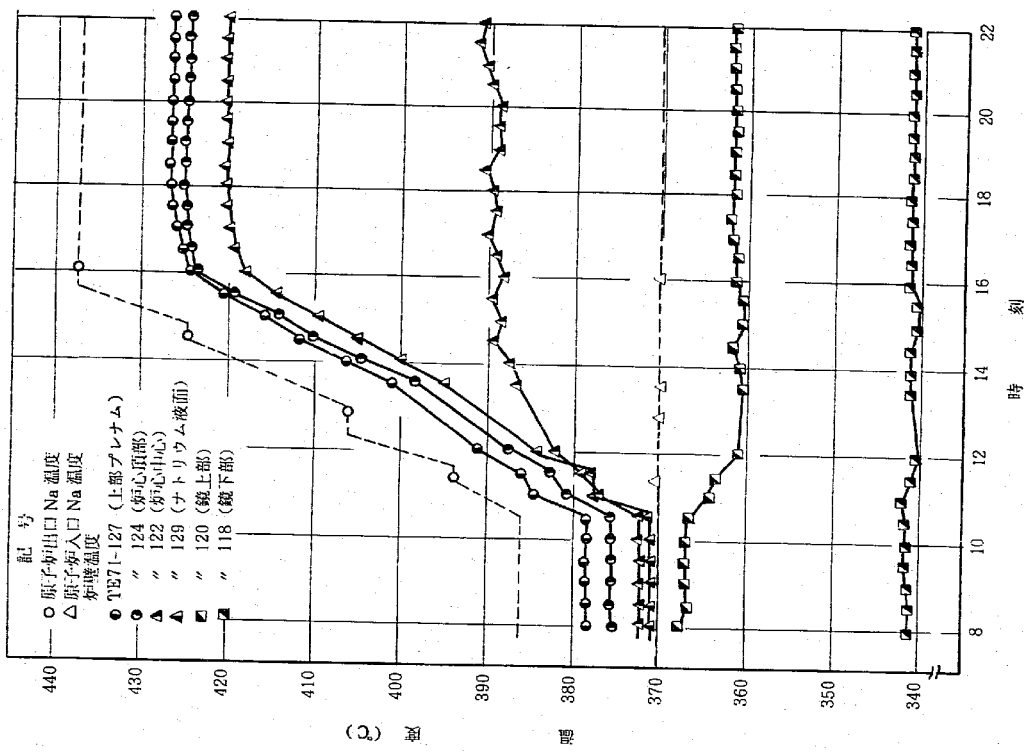


図 8-4-2 炉壁温度推移 (その 2)

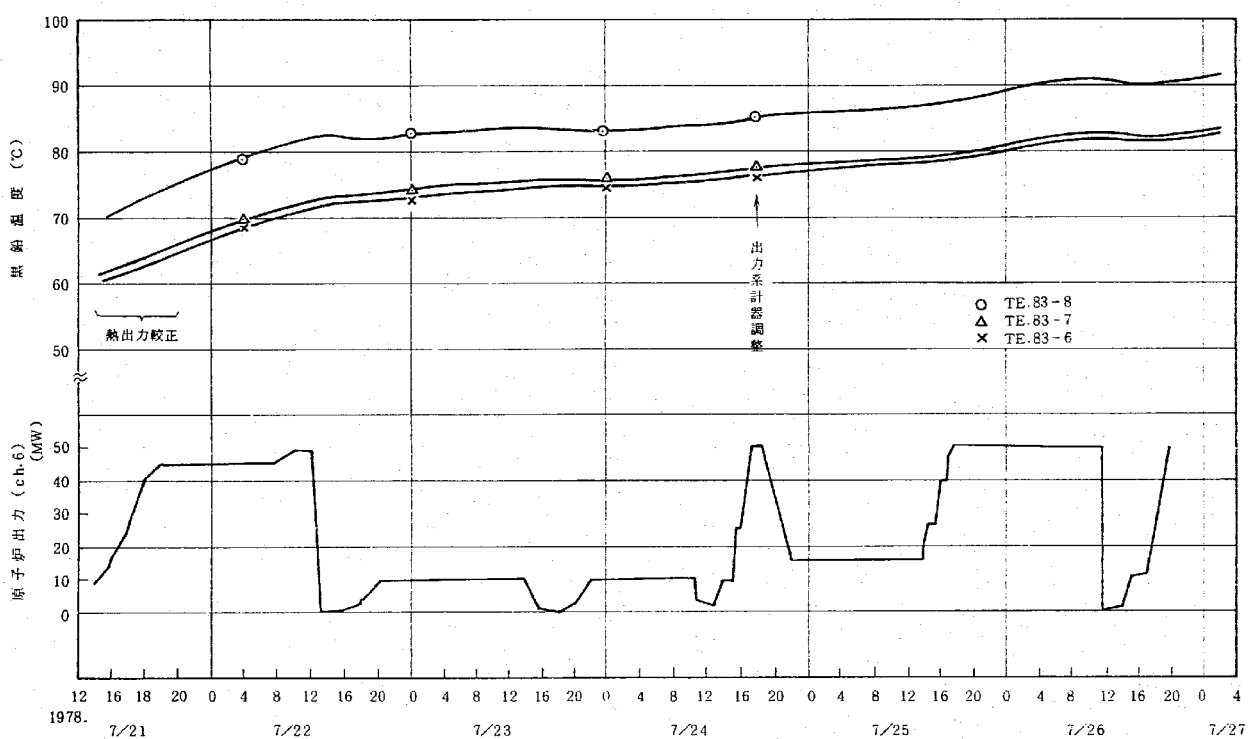


図 8-5-1 黒鉛温度の推移（その 1）

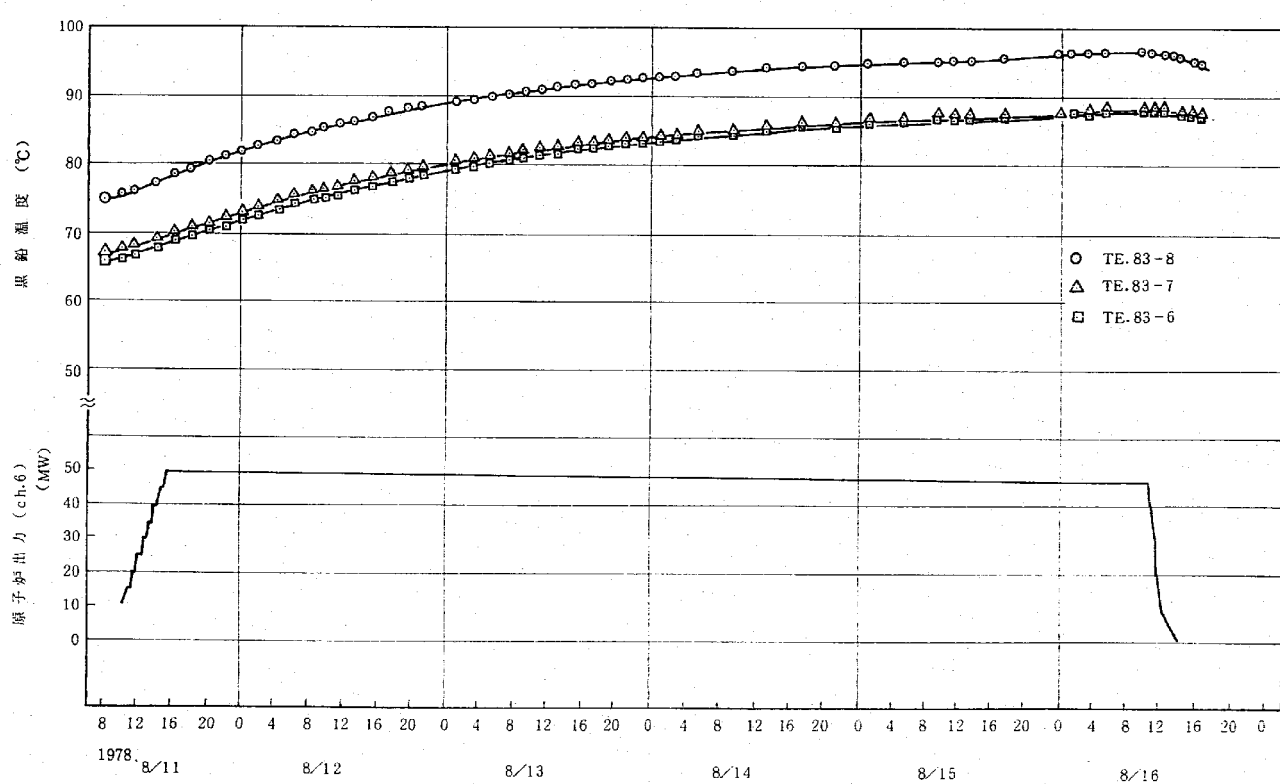


図 8-5-2 黒鉛温度の推移（その 2）

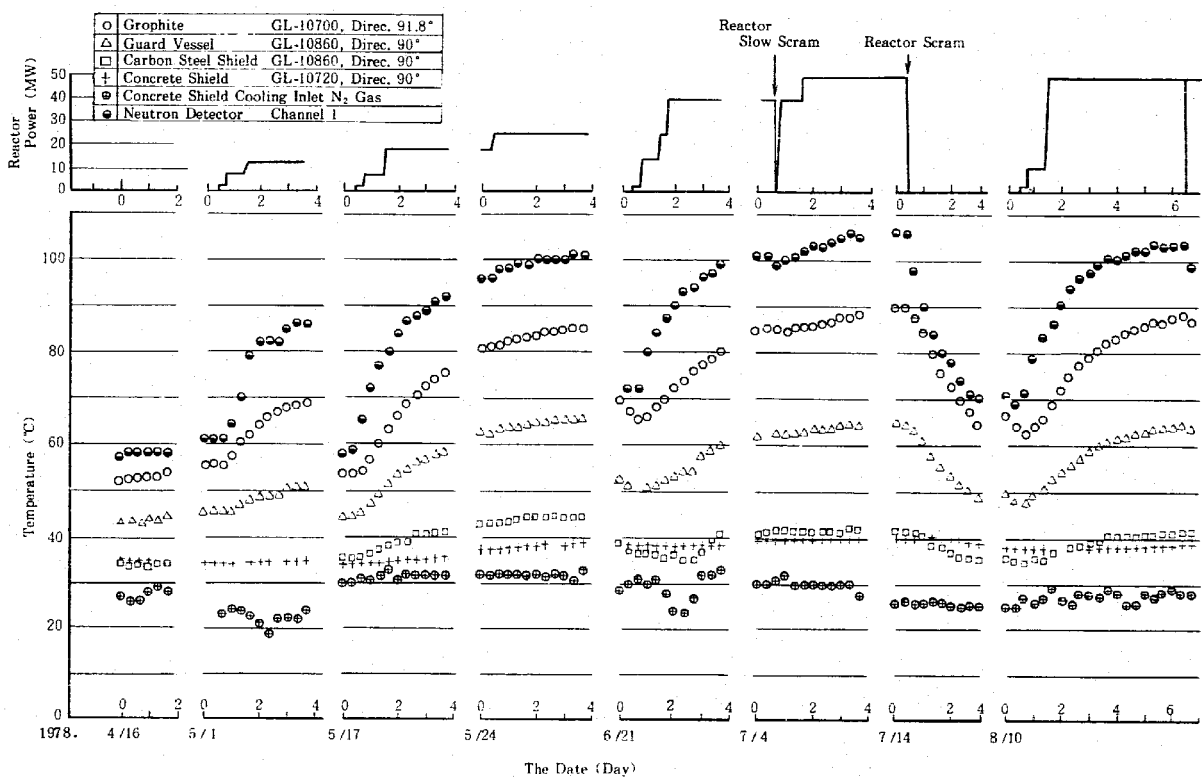


図8-5-3 Temperature Characteristics of Graphite, Guard Vessel, Carbon Steel Shield, Concrete Shield and Neutron Detector with Reactor Transient Condition.

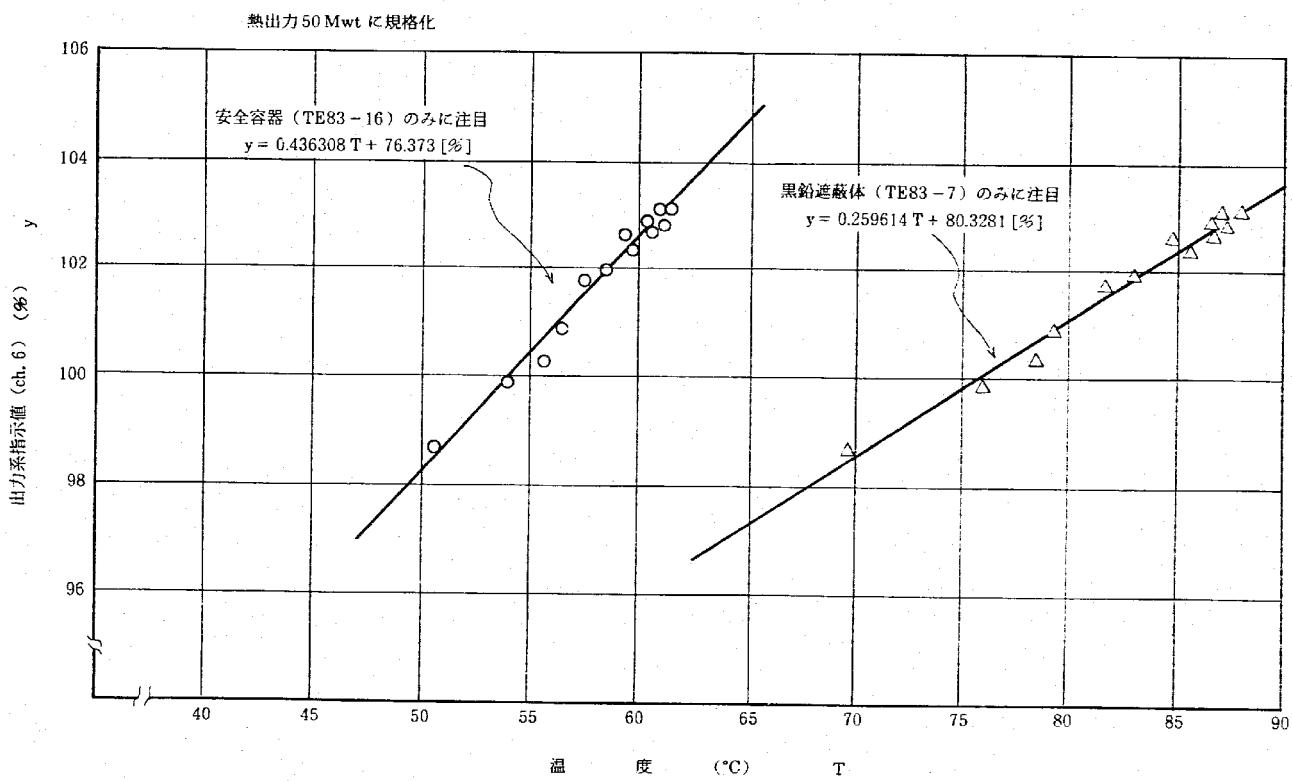


図8-6 出力系 (Ch 6) 指示値と安全容器温度、黒鉛温度との関係

## 第9章 計算機による熱出力

「常陽」性能試験では、原子炉熱出力の最確値として、端子から直接受取マルチ温湿度計及びデジタルで測定したNa温度及び流量による熱出力値をとっているが、その他、2系統の計算機により、熱出力を算出している。

第1の系統は、独立の演算処理装置をもつ熱出力計であり、温度及び流量端子から信号を取り込んで熱出力を連続的に算出し、チャートに書き出す。また、随时に操作により、温度・流量・熱出力をデジタルで打ち出せる。計算式の詳細は後述するが、主冷却系のみのヒートバランスから熱出力を求めしており、熱出力較正試験の式と同一である。

第2の系統は、現在常陽においてonline計算機としてプロセス量を取り込んでいるH-500システムの処理項目としての熱出力である。これは、ヒートバランスの対象として主冷却系の他に、補助系・オーバーフロー系・放熱・ポンプ入熱を計算に入れており、炉心発熱を求めているものである。(但し、出力上昇期間中は、サイフォンブレーキ流量を主冷却流量から差し引いていたため、炉心発熱を0.8%ほど大きく見積っていたことになる。50MW第1サイクル定期運転以後からは、サイフォンブレーキ流量を考慮できるように計算式を修正した。)以下に、各計算機熱出力の詳細及び熱出力較正値との比較結果を記す。

### 9.1 热出力計

#### 9.1.1 設備概要

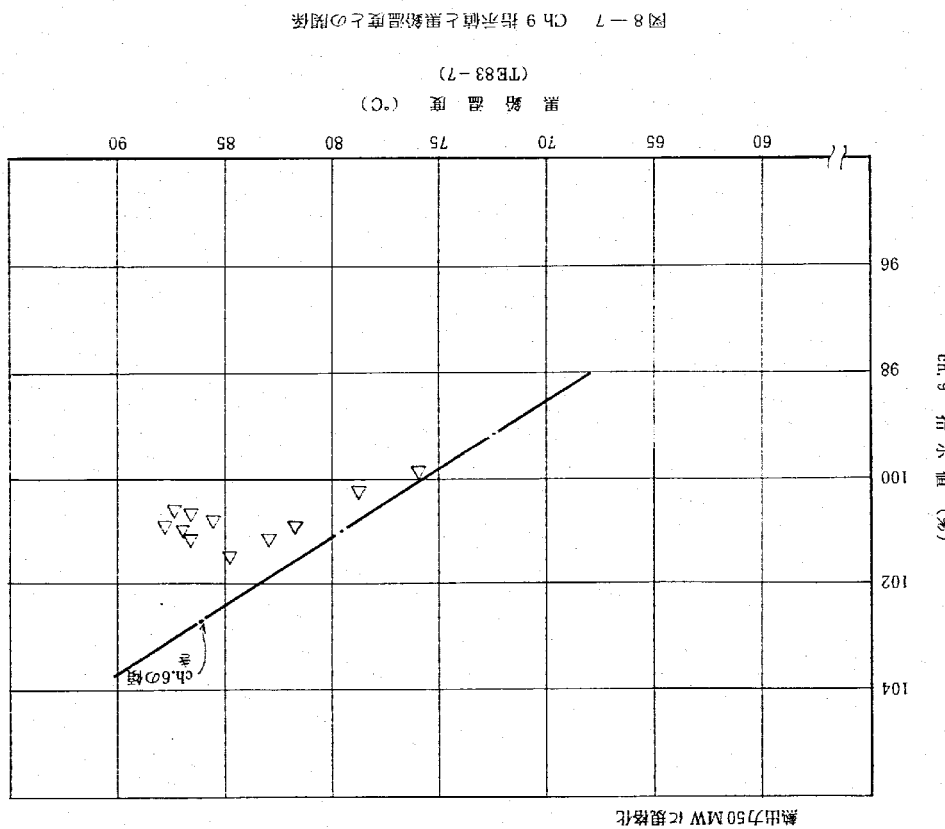
本システムは、温度及び流量計測信号を、A/D変換器によりサンプリング数値化し、所定の較正曲線に近似させた後に、エンタリピー、熱出力を計算し、結果を印字及びX/Yレコーダーに書き出す機能を有している。図9.1に熱出力計システムのプロック線図を示す。主な構成要素の機能は、次の通りである。

- ① C.P.U. 部

本システムの核となる部分で、16ビット構成のマイクロコンピュータを中心にして、4kWORDデータメモリ、及びプログラムメモリから構成されており、A/Dコンバータ及びD/Aコンバータの制御、サンプルデータの格納、レータイプライターの制御等の機能を有する。

- ② A/D 変換器

アナログデータを一定のサンプリングインターバルでデジタル化し、C.P.U. 部のデータメモリに送り込む機能を有する。6チャンネルのマルチブレクサ、及びA/O コンバータが直接バスラインに接続され、並行動作が可能である。



- (3) D/A 変換器  
演算処理した結果を、ペンレコーダに出力してグラフ化することができる様に、2 ch の D/A コンバータが用意されている。

## 9.1.2 データ処理内容

- (1) 人力信号処理  
○入力チャンネル 1 ~ 4 CA 熱電対フローティング入力  
 $0 \sim 24.91 \text{ mV} \rightarrow 0 \sim 600^\circ\text{C}$  に換算  
○入力チャンネル 5 ~ 6 流量計、フローティング入力  
 $1 \sim 5 \text{ V}, (2) \text{ の計算式により流量に換算}$   
○サンプリング間隔  
100 msec./ch.
- (2) 演算処理  
○温度校正 冷接点温度補償回路は、リニアライザによる  
校正（アナログ回路）  
○比較精度 0.4°C 以下

$$\tau_j = 950.0 - 0.2298T_{j2} - 1.461 \times 10^{-6}T_{j2}^2 + 5.638 \times 10^{-9}T_{j2}^3$$

○流量  $W_j (\text{m}^3/\text{h})$ 

$$W_A = 369.2V_A - 433.0$$

$$W_B = 370.0V_B - 428.3$$

○エンタルピ差  $\Delta U_j (\text{Kcal}/\text{kg})$ 

$$\Delta U_j = 0.3433(T_{j1} - T_{j2}) - 6.934 \times 10^{-6}(T_{j1}^2 - T_{j2}^2) + 3.685 \times 10^{-9}(T_{j1}^3 - T_{j2}^3)$$

○原子炉熱出力  $Q_j (\text{MW})$ 

$$Q_j = \tau_j W_j \Delta U_j / 8.6 \times 10^6$$

○熱損失

$$Q_{Loss} = \frac{C_1}{4}(T_{A_1} + T_{A_2} + T_{B_1} + T_{B_2})$$

 $C_1, C_2$  は、最初にテレタイプより、F 40 の入力形式でキー、イン。※ 但し、 $j$  は A, X は B $T_{A_1}$  : 原子炉出口 Na 温度 (A) $T_{A_2}$  : 原子炉入口 Na 温度 (A) $T_{B_1}$  : 原子炉出口 Na 温度 (B) $T_{B_2}$  : 原子炉入口 Na 温度 (B)

## (3) 出力結果の処理

- 2 ペン記録計への出力

ch. 1  $Q_A + Q_B + Q_{Loss}$

ch. 2  $Q_A$  又は  $Q_B$  (切替スイッチで選択)

- 記録計への出力レジ斯特リ選択

レジ 1 0 ~ 15 (MW) : 0 ~ 1 V

レジ 2 0 ~ 75 (MW) : 0 ~ 1 V

レジ 3 0 ~ 150 (MW) : 0 ~ 1 V

- レジ切替点

レジ上昇時 13.5 (MW), 67.5 (MW)

レジ下降時 60 (MW), 12 (MW)

- テレタイプライタへの印字出力

印字メッセージのキーインにより、次の項目を印字する。  
時刻、 温度、 流量、  $Q_A, Q_B, Q_{Loss}, Q_{total}$ 

図 9.2 にデータ処理の流れを示す。

## 9.1.3 取扱い方法

熱出力計の取扱いの概略を、テレタイプリストと共に図 9.3 に示す。まず、熱出力計の電源を入れると、ハード的には装置全体の電源があるが、プログラムの流れとしてはテレタイプとのインターフェイス機能を受け持つ "TIBUG" のルーチンにコントロールが移る。その後、C.P.U. 側から印字出力されるメッセージに従って時刻や係数等の初期データをタイプインする。タイブインされたデータは、即時にチェックされ、誤りがある場合にはメッセージ (※ FORMAY ERROR※) が印字される。この時は、再度タイブインをやり直す必要がある。(g)まで初期データの設定を終り、スタート鍵を押すと印字出力を要求したものと見なし、時刻、温度、流量、  $Q_A, Q_B, Q_{Loss}, Q_{total}$  の出力データが印字される。

## 9.2 ONLINE 計算機

計算式及び計算体系図を以下に示す。

$$Q_R = Q_{MAIN_A} + Q_{MAIN_B} + Q_{AUX} + Q_{OV} + Q_{LOSS} + Q_{UNP} (\text{MW})$$

(補助系) (オーバーフロー系)

ここに

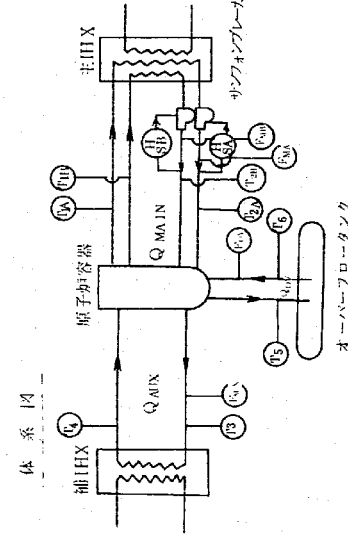
比重  $\tau_j (\text{kg}/\text{m}^3)$ 

$$\tau_j = 951.4 - 0.2392 T_j$$

エンタルピ差  $dI_i$  (Kcal/kg)

$$dI_i = 0.343(C_{T_1} - T_{T_2}) - 0.695 \times 10^{-4}(T_{T_1}^2 - T_{T_2}^2) + 0.367 \times 10^{-7}(T_{T_1}^3 - T_{T_2}^3)$$

$$Q_{LOSS} = (80 \times \frac{(T_{MA_1} + T_{MB_1} + T_{MA_2} + T_{MB_2}) / 4 - 38}{250 - 38}) / 1000$$

Q<sub>PUMP</sub> = 200(kW)を手動設定(入力点 LO 1)

### 9.3 熱出力較正結果と計算機熱出力との比較

熱出力較正試験において、熱出力測定中に、同時に計算機による熱出力もOUTPUTさせた。この比較結果を表9.1.~3に示す。

(1) 热出力計

3回以上の瞬時値の平均をとった場合、熱出力較正値とのすれば、±0.4MW以内である。  
1回だけの瞬時値でみれば、熱出力較正値に対して、1.0MWの最大のずれがあるが、これは、主に、流量のぶらつきに起因するものと思われる。

以上の事から、3回以上の平均をとれば、熱出力計は充分原子炉熱出力のモニタとして、使用できる。

(2) ONLINE計算機

H-500による熱出力は、熱出力較正値と比べて、0~0.7MW程度高い値を示した。この原因は、計算式の違いによるものであり、H-500では、オーバーフロー系と補助系による除熱を加えているためである。（この寄与量は、200~300kWである。）従って、これを考慮すれば、H-500と熱出力較正値は±0.4MWで一致する。但し、H-500では、温度を小数点以下で切り捨てて取り込んでいるため、このための誤差が50MWで1.5%最大発生する可能性がある。

これも、熱出力のモニタとして充分使用できる。（50MW第1cycle以降は、サイフォンブレーキ流量を考慮している。）

機器名 測定日時	(PT-11) 熱出力 H-500 熱出力	熱出力計			PT-11 純出力			H-500 純出力			計算機熱出力			熱出力較正結果		
		1回目	2回目	3回目	1回目	2回目	3回目	1回目	2回目	3回目	1回目	2回目	3回目	1回目	2回目	3回目
12 7/8 9:14	11.32	11.31	-	-	11.31	-0.01MW (-0.1%)	-	11.2	11.2	11.3	11.23	-0.09MW (-0.8%)	-	PT-11	PT-11	PT-11
13 " 10:17	16.29	16.34	16.35	-	16.34	+0.05MW (+0.3%)	16.2	16.2	16.3	16.23	-0.06MW (-0.4%)	-	PT-11	PT-11	PT-11	
14 " 13:05	21.76	22.07	-	-	22.07	+0.31MW (+1.4%)	21.6	21.6	21.7	21.63	-0.13MW (-0.6%)	-	PT-11	PT-11	PT-11	
15 " 14:05	27.19	27.50	-	-	27.50	+0.31MW (+1.1%)	27.2	27.2	27.1	27.10	-0.09MW (-0.3%)	-	PT-11	PT-11	PT-11	
16 " 15:00	31.42	31.43	31.73	-	31.63	+0.21MW (+0.7%)	31.7	31.5	31.7	31.63	+0.21MW (+0.7%)	-	PT-11	PT-11	PT-11	
17 " 16:10	36.12	36.42	-	-	36.42	+0.30MW (+0.8%)	36.4	36.3	36.3	36.33	+0.21MW (+0.6%)	-	PT-11	PT-11	PT-11	
18 " 17:15	40.62	41.02	40.97	-	41.00	+0.38MW (+0.9%)	41.1	40.8	41.1	41.00	+0.38MW (+0.6%)	-	PT-11	PT-11	PT-11	
19 " 18:34	45.68	45.95	-	-	45.95	+0.27MW (+0.6%)	45.9	45.7	45.7	45.76	+0.08MW (+0.2%)	-	PT-11	PT-11	PT-11	
20 " 20:09	50.51	50.60	-	-	50.60	+0.09MW (+0.2%)	50.5	50.3	50.8	50.53	+0.02MW (+0.0%)	-	PT-11	PT-11	PT-11	

表9.1.1 熱出力較正結果と計算機熱出力との対応(1)

表 9.1.2 热出力較正試験と計算機熱出力との対応(2)

較正 No	測定日時	熱出力 (PT-11方式)	H-500 热出力					熱出力計				
			1回目	2回目	3回目	平均	PT-11 との差	1回目	2回目	3回目	平均	PT-11 との差
63	8/11 11:10	17.45	17.45	17.45	-	17.45	0 MW (0%)%	17.2 17.3 17.3	17.2 17.5 17.4	-	17.32	-0.13 MW (-0.8)%
64	12:50	27.09	27.44	27.46	-	27.45	+0.36 (+1.3)%	27.1 26.9 27.0	26.8 26.9 26.8	-	26.92	-0.17 (-0.6)%
65	14:30	41.43	41.87	41.42	-	41.65	+0.22 (+0.5)%	41.1 41.2 40.9	41.3 40.8 41.3	-	41.10	-0.33 (-0.8)%
66	16:00	50.76	51.21	50.56	-	50.89	+0.13 (+0.3)%	50.5 50.2 50.6	50.6 50.7 50.5	-	50.52	-0.24 (-0.5)%
67	8/12 9:00	50.15	50.58	50.79	-	50.69	+0.54 (+1.1)%	50.4 50.0 49.6	49.5 49.9 49.8	-	49.87	-0.28 (-0.6)%
68	17:00	49.86	50.09	50.03	-	50.06	+0.20 (+0.4)%	49.7 50.0 49.7	49.8 49.7 49.8	-	49.78	-0.08 (-0.2)%
69	8/13 9:00	49.15	49.33	49.80	-	49.57	+0.42 (+0.8)%	49.4 49.0 49.2	48.6 49.2 49.0	-	49.07	-0.08 (-0.2)%
70	17:00	48.95	48.98	49.01	-	49.00	+0.05 (+0.1)%	48.9 48.9 49.1	49.2 49.1 49.4	-	49.10	+0.15 (+0.3)%
71	8/14 9:00	48.58	48.65	48.97	-	48.81	+0.23 (+0.5)%	48.7 48.9 48.7	48.8 48.9 48.2	-	48.70	+0.12 (+0.3)%
72	17:00	48.70	48.88	48.58	-	48.73	+0.03 (+0.1)%	48.6 48.6 49.0	48.6 48.7 48.6	-	48.68	-0.02 (0.0)%
73	8/15 9:00	48.35	49.04	48.99	-	49.02	0.67 (+1.7)%	48.5 48.5 48.6	48.6 48.6 48.5	-	48.55	+0.20 (+0.4)%

表 9.1.3 热出力較正結果と計算機熱出力との対応(3)

較正 No	測定日時	熱出力 (PT-11方式)	H-500 热出力					熱出力計				
			1回目	2回目	3回目	平均	PT-11 との差	1回目	2回目	3回目	平均	PT-11 との差
74	8/15 13:00	48.76	48.95	48.91	-	48.93	+0.17MW (+0.3)%	48.7 48.5 48.8	48.4 48.8 48.7	-	48.65	-0.11MW (-0.2)%
75	" 17:00	48.61	48.65	48.59	-	48.62	+0.01 (0.0)%	48.6 48.3 48.4	48.7 48.5 48.6	-	48.52	-0.09 (-0.2)%
76	" 23:30	48.61	48.70	48.63	-	48.67	+0.06 (+0.1)%	48.4 48.4 48.5	48.3 48.4 48.5	-	48.42	-0.19 (-0.4)%
77	8/16 9:30	48.74	49.30	49.23	-	49.27	+0.53 (+1.1)%	48.8 48.9 49.0	49.0 49.1 48.8	-	48.93	+0.19 (+0.4)%
78	" 12:50	12.07	11.93	11.94	-	11.94	-0.14 (-1.1)%	12.1 12.0 12.0	12.1 12.0 12.0	-	12.03	-0.04 (-0.3)%

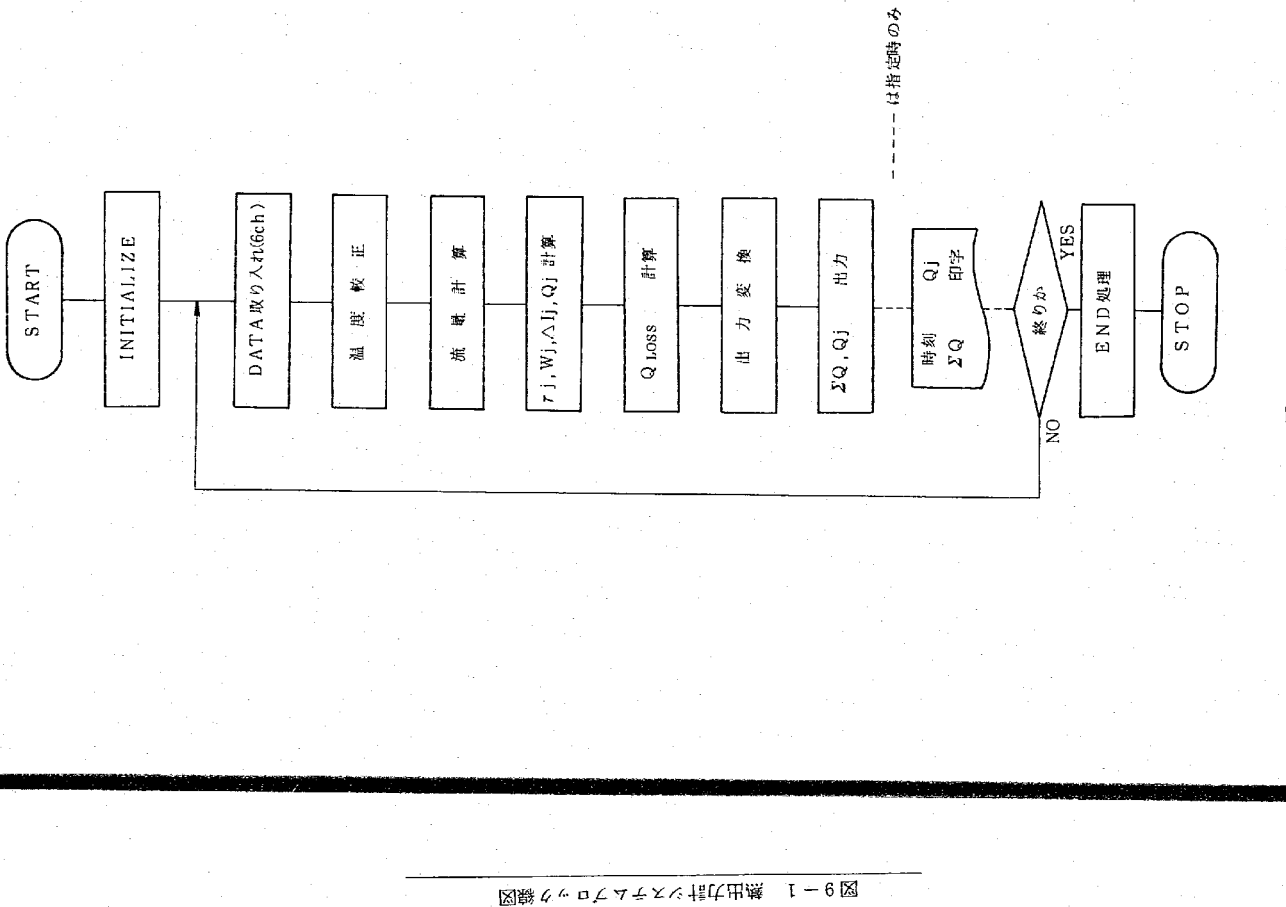
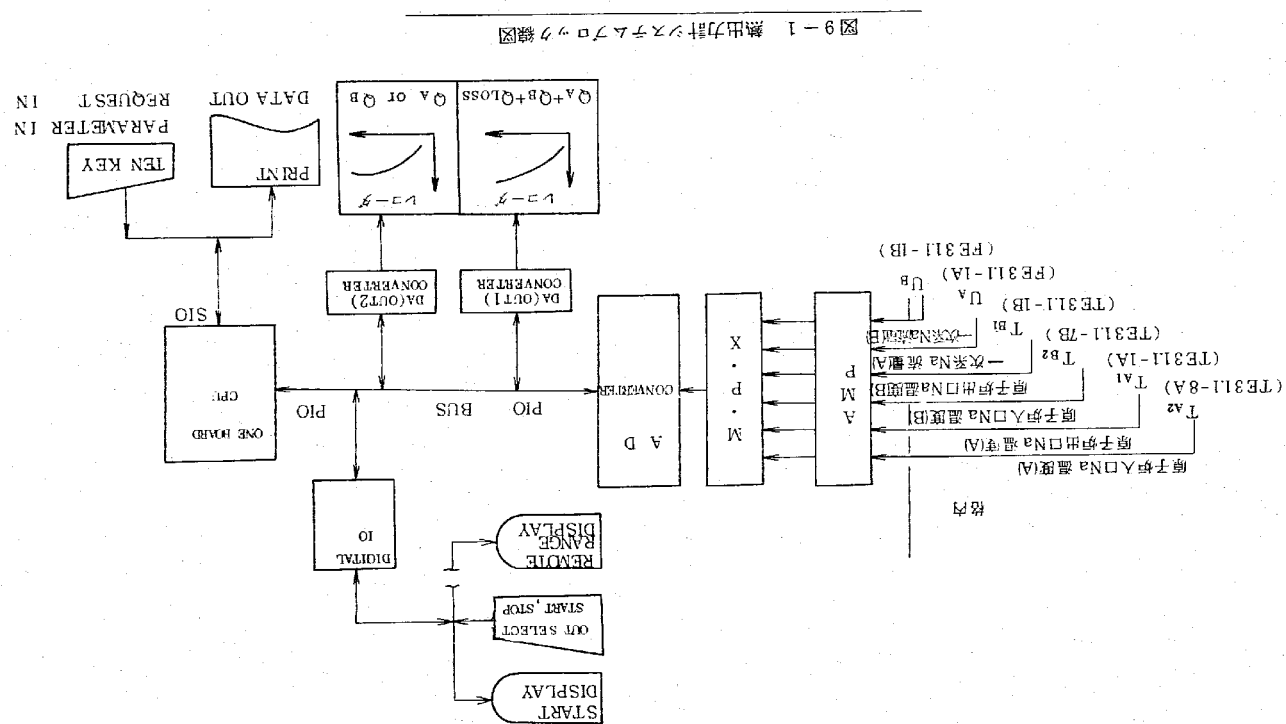


图 9-2 数据处理流程图

図 9-3  
熱出力計操作マニュアル

## 第10章 結論

(a) テレタイプ、ペントレコード、本体の端子で接続ON  
 TIBUG REV A ←  
 ?R ← 3B02 ←  
 W=1B02 3B02 ←  
 P= 4E ←  
 ?E ←  
 \*TIME,A,B TYPE IN PLEASE\* ←  
 175000,0.0,0.0 ←  
 \*START\* ←  
 TIME 17:50: 8 ←  
 \* REACTOR SODIUM TEMP AND FLOW RATE \*  
 T IN(DEG) T OUT(DEG) FLOW(M\*\*3/H)  
 A LOOP + 258.7 + 307.8 + 170.6  
 B LOOP + 253.3 + 307.2 + 182.2  
 \* REACTOR THERMAL POWER \*  
 A LOOP : + 2.7 MW  
 B LOOP : + 3.2 MW  
 LOSS : + .0 MW  
 TOTAL : + 5.9 MW  
 \*STOP\*

\*TIME,A,B TYPE IN PLEASE\*  
 175400,0.0,0.0  
 \*START\*  
 TIME 17:54: 5 ←  
 \* REACTOR SODIUM TEMP AND FLOW RATE \*  
 T IN(DEG) T OUT(DEG) FLOW(M\*\*3/H)  
 A LOOP + 266.9 + 303.9 + 169.7  
 B LOOP + 263.6 + 303.9 + 182.2  
 \* REACTOR THERMAL POWER \*  
 A LOOP : + 2.0 MW  
 B LOOP : + 2.4 MW  
 LOSS : + .0 MW  
 TOTAL : + 4.4 MW

これまでに、熱出力校正試験の結果について、その詳細を各部に分けて報告してきたが、本章においては、それらを概括し、また、定格運転以後の熱出力較正についてその見通しを述べることとする。

## 10.1 試験結果のまとめ

本試験は、1978年4月から8月まで計78回の測定、及び6回の出力系調整・1回の中間系調整が行なわれ、この結果、以下の主要諸点が確認された。

1. 出力系指示値と熱出力との間には、非常に良好な直線性がある。
2. 中間系と出力系の使用可能範囲は、3デカルド以上の充分なオーバーラップを示す。
3. 一定出力運転時において、原子炉の熱出力は非常に良く安定している。また、新しい出力レベルに達した場合、原子炉出力は、約20分以内で完全に安定する。
4. 出力系指示値は、原子炉の運転履歴に依存して変動する。試験前に2～3日以上の長期の停止期間がある場合は、熱出力に対して出力系指示値は小さくなり、長期間の高出力連続運転の後は、熱出力に対して出力系指示値は大きくなる。その差は、50MWを100%として、最大で約6%である。

5. 热出力測定の絶対値に対する確率誤差は10～50MWの範囲で、±2.6MWと見積られる。また、測定間隔のばらつき（再現性）に対する確率誤差は、より小さく、±0.33MWである。
6. 出力系指示値測定の確率誤差は、±0.55%と見積られる。また、測定された熱出力に一致させる際の出力系調整誤差は、±0.039%である。
7. 本試験で採用した一次冷却系のみのヒートバランス（但し、サイフォンブレーキ流量を無視）から求めた熱出力と、サイフォンブレーキ流量、オーバーフロー系及び補助系からの余熱を考慮して求めた原子炉殻からの発熱量は、約±0.2MW以内で一致する。
8. ONLINE計算機及び熱出力計による計算機熱出力は、本試験による熱出力と約±0.4MW以内で一致し、熱出力のモニタとして、充分使用できる。

## 10.2 定格運転以後の熱出力較正の見通し

今回の熱出力較正試験及び低出力性能試験において得られた結果から、出力系の指示値は熱出力に対して良好な直線性を示すが、しかし、そのみならず以下の諸原因で変動する事が判明した。

(1) 原子炉の運転履歴に伴う変動

第8章に示したように、起動直後の出力系指示値は原子炉熱出力に対して小さめの値を示し、

その変動幅は微小で約6%である。

- (2) 貯蔵ラック内燃料変動に伴う変動  
出力上昇試験開始は、燃料交換を行なわなかつたのでこの効果は測定されないが、付録3に示すように、低出力性能試験期間中に発生された。その変動幅は最大で約25%／軸心燃料1体（往し、佐藤の回数）である。定格運転以後は、各サイクル毎に燃料交換が必ず行なわれる所以、ラック配置も変わる可能性が大きく、この効果は重要である。

- (3) 制御棒差換に伴う変動

第5章の5.4に示したように、ch.7・8は制御棒差換により、その指示値が変動する。しかし、その変動幅は小さく、約1～2%／200 mmであり、実際の運転上は無視できる。

以上のように、出力系指示値は無視できない量の変動をするので、原子炉の運転が出力系指示値に従ってなされる以上、熱出力較正は必ず各サイクル毎に行なわなければならない。この各サイクル毎の熱出力較正の手順は、以下のような方法で考えられる。

#### （手順1） 第1回熱出力較正

起動から定格運転までの出力上昇において、炉出力が定格の50～80%になった時点で、一相出力保持をし、熱出力較正を行なう。第9章に示したように、計算機による熱出力は、性能試験により測定された熱出力と±0.4 MW以内で一致しているので、定格運転以後の熱出力較正としては、計算機出力をそのまま熱出力の測定値として、出力系の調整を行なう方法で、実用上問題がないと思われる。

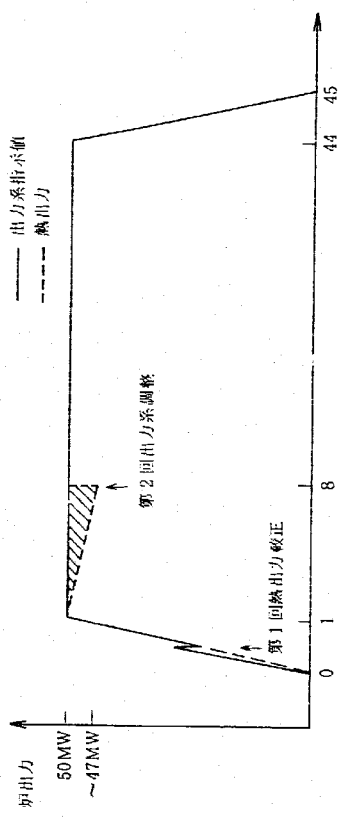
注1) 第1回熱出力較正までの出力上昇は、計算機出力を参考しながら運転していく必要がある。

注2) なお、貯蔵ラック配置の効果は非常に大きいので、燃料交換計画を立案する際には、出力系に近い貯蔵ラックにおける原子炉心燃料の配置変更は、できるだけ避け事が望ましい。

#### （手順2） 第2回熱出力較正

第1回較正後、定格出力での運転を行なうが、出力系指示値で100%一定運転を行なっていくと、原子炉運転履歴効果により、原子炉熱出力は、第1回較正後は、定格到達後約1時間で飽和するので、この飽和時点で再相熱出力較正を同様の方法で行なう。

以上の手順をとれば、出力系指示値と原子炉熱出力との誤差は、下図にみるようになる。  
50 MW 45 日定格運転を考えると、1 cycle の積算出力約2200 MWDにおいて、出力系指示値による積算出力（公称熱出力）と、熱出力による積算出力との誤差は約11 MWDであり、誤差は0.5%で問題はないと思われる。



付録1 出力系指示値変動の解析

## 1. 目的

第8章で報告したように、出力系の指示値は、グラファイト及び安全容器の温度とともに、上昇する事がPT-11鶴山炉性能試験結果から明らかになった。  
本解析は、この出力系指示値の変動の原因が、グラファイト及び安全容器の温度変動にある事を確認するために行なったものである。

## 2 解析法

- 1) 計算コードは、1次元計算用定数PANDAで行なう。
- 2) 使用定数は25群高通形用定数NNS-5である。但し、第25Grをthermal定数に入れ替えてある。
- 3) 框算モデルではN<sub>2</sub>ガス領域を模擬する事ができないので、グラファイトと安全容器の間のN<sub>2</sub>ガス領域(≈2cm)は、安全容器の原子数密度を専めて、厚さを増す事でモデル化した。  
また、出力系は、355cm位置のN<sub>2</sub>ガス中にあるが、この点のfluxを求めないので、安全容器の外端のfluxで代表させた。
- 4) 境界条件は、安全容器外端から約40cm離れた点でflux=0とした。(付図1.1～3参照)
- 5) グラファイト温度と安全容器温度として、60°Cと90°Cの2通りを考え、パラメトリックに変化させる。付表1.1に計算のケースを示す。
- 6) 60°Cと90°C体系で用いた定数を付表1.2に示す。核種の原子数密度の温度上昇による減少はグラファイト・炭素鋼のそれぞれの線膨張率から求めた。また、核種の吸収断面積の変化は、グラファイトと安全容器領域で、熱中性子束が、マックスウェル分布となっている事を仮定し、温度上昇とともに断面積が $\frac{1}{V}$ で減少する事を仮定して求めた。
- 7) 核種の原子数密度は、マルシートによるが、グラファイト中のB10については不確かさが大きい。

## 3. 解析結果

付表1.3に結果を示す。

計算結果を実際の測定値と比較する。

	(60 → 90°C) (flux 増分)	(1°C当たり増分)
Graphite + 安全容器	8.92 %	0.277 % / °C
Graphiteのみ	2.51 %	0.0837 % / °C
差し引いて		
安全容器のみ	5.81 %	0.1194 % / °C

連続100時間運転時のデータから  
8月11日 16:00 ch. 6 指示値 98.69 % (50MW換算)

8月16日 9:30 ch. 6 指示値 103.12% (50MW換算)  
その上昇量は、4.43% (測定値)

この時のグラファイト・安全容器各々の温度上昇量は、  
グラファイト 4.43% 0.256% = 17.06 °C  
安全容器 4.43% 0.4363% = 10.15 °C

(図8.6による)

計算による1°C 当たりの増分を用いると、

グラファイト  $0.0837 \times 17.06 = 1.43\%$

となり、加えて、

$$1.43 + 1.97 = 3.40\% \text{ (解析値)}$$

となる。

#### 4. 結論

解析計算において、測定値で443多出力系指示値が上昇したのに対応して、解析では、3.40% 上昇するという結果を得た。

これは、グラファイトより外側では、熱中性子束がマックスウェル分布をしているといふ仮定をすること、 $N_2$ ガス部分を近似的にしか扱えない事を考えると、数値的には、まだ詳細な詰めが必要であるが、出力系指示値の変動の主たる原因が、グラファイト及び安全容器の温度上昇にあるという事は、測定及び解析の両面から確認されたとしてよい。

付表 1.1 出力系指示値変動解析一覧

Case	Graphite温度/安全容器温度	$B_z^2$	安全容器外端並びに (メッシュ単位)	備考
01	60 °C	60 °C	[G] 3.374 -4 (150) -4	322.731 cm (150) 基準計算
02	90 °C	90 °C	同上	322.746 cm (150) グラファイト・安全容器とも 30°C上昇
03	90 °C	60 °C	同上	322.745 cm (150) グラファイトのみ30°C上昇
04	60 °C	60 °C	[G] 0.0 (150) 0.0	322.731 cm (150) 輸ベックリング効果
05	90 °C	90 °C	同上	322.746 cm (150) 同上

付表 1.2 60°C 体系と90°C 体系の比較表

	60°C 体系	90°C 体系	コメント
グラファイト熱膨張係数	$4.3 \times 10^{-6}$	$4.3 \times 10^{-6}$	$\frac{1}{E_0} \cdot \frac{dl}{dt} (20 \sim 100°C)$
炭素鋼(安全容器) 線膨張係数	$1.1 \times 10^{-6}$	" (炭素鋼用)	" (炭素鋼用)
グラファイト内表面距離	21.58116	21.58116	~理科作成より
グラファイト押さ	1.030177	1.030177	25.0°C 体系
" B10 N.D	5.0291-8	5.0272-8	
" B11 N.D	20.499-7	20.491-7	
" C N.D	8.7562-2	8.7528-2	
炭素鋼 N.D	4.0896-2	4.0855-2	→境界条件用に仮作成
グラファイト温度 (定数作成用)	33.3°C	36.3°C	
炭素鋼温度 (定数作成用)	"	"	その他は 5.23°C
B10 $\sigma^{26}_a$	31.89.70	30.65.02	
B11 $\sigma^{26}_a$	4.15.65-3	3.98.10-3	
C $\sigma^{26}_a$	2.82.64-3	2.70.71-3	
Fe $\sigma^{26}_a$	2.11.982	2.03.037	
炭素鋼領域 メッシュ幅	1.95086	1.95150	20.39/2 に炭素鋼を考慮
flux 注目距離	32.273	32.275	

付表1.3 解析結果

		メッシュ化				領域				メッシュ化	
		200°C		250°C		200°C		250°C		メッシュ化	
熱	cose. 0.1 Kw 計算 安全器と も30 deg deg. 1.0f	cose. 0.2 グラフィト安 全器とも30 deg. 1.0f	cose. 0.3 グラフィト安 全器とも30 deg. 1.0f	cose. 0.4 グラフィト安 全器とも30 deg. 1.0f	cose. 0.5 グラフィト安 全器とも30 deg. 1.0f	2.03487 / 1.27745 /	2.03657 / 1.27855 /	2.03487 / 2.03657 /	2.03487 / 2.03657 /	2.03487 / 2.03657 /	2.03487 / 2.03657 /
熱	Graphite 内端 (mech = 0.8)	1.1733-15 1.1733-15	1.1709-15 1.1709-15	1.1703-15 1.1703-15	1.1703-15 1.1703-15	1.81373 / 0.1227 /	1.81525 / 0.12275 /	1.81373 / N, S	1.81373 / 37.4448 /	1.81373 / 37.4448 /	1.81373 / 37.4448 /
熱	thermal flux peak (mech = 1.14)	5.1896- 6 5.1896- 6	5.1882- 6 5.1882- 6	5.1872- 6 5.1872- 6	5.1860- 6 5.1860- 6	0.1227 / 2.01273 /	0.12275 / 2.01441 /	0.1227 / Blanket	0.1227 / Blanket	0.1227 / Blanket	0.1227 / Blanket
性	Graphite 外端 (mech = 1.48)	9.1571- 8 9.1571- 8	9.3820- 8 9.3820- 8	9.3874- 8 9.3874- 8	9.4732- 7 9.4732- 7	1.5489- 7 2.01273 /	1.5489- 7 2.01441 /	1.5489- 7 Blanket	1.5489- 7 Blanket	1.5489- 7 Blanket	1.5489- 7 Blanket
子	安全器外端 (mech = 15.0)	2.2043- 8 2.2043- 8	2.3876- 8 2.3876- 8	2.2597- 8 2.2597- 8	3.5516- 8 3.5516- 8	3.8653- 8 3.8653- 8	3.8653- 8 3.8653- 8	3.8653- 8 3.8653- 8	3.8653- 8 3.8653- 8	3.8653- 8 3.8653- 8	3.8653- 8 3.8653- 8
東	mesh = 14.9	4.4922- 8 4.4922- 8	4.7831- 8 4.7831- 8	4.6057- 8 4.6057- 8	7.2334- 8 7.2334- 8	7.7374- 8 7.7374- 8	7.7374- 8 7.7374- 8	7.7374- 8 7.7374- 8	7.7374- 8 7.7374- 8	7.7374- 8 7.7374- 8	7.7374- 8 7.7374- 8
東	mesh = 15.1	1.0815- 8 1.0815- 8	1.1919- 8 1.1919- 8	1.1087- 8 1.1087- 8	1.7438- 8 1.7438- 8	1.9310- 8 1.9310- 8	2.01352 / 内しゃへい	2.01522 / 内しゃへい	2.01352 / 内しゃへい	2.01352 / 内しゃへい	2.01352 / 内しゃへい
底	か心 中 心	1.0005 1.0005	1.0000 1.0000	1.0000 1.0000	1.0005 1.0005	1.0005 1.0005	1.0005 1.0005	1.0005 1.0005	1.0005 1.0005	1.0005 1.0005	1.0005 1.0005
底	Graphite 内端 thermal flux peak	1.0142 1.0085	1.0043 1.0065	1.0043 1.0065	1.0157 1.0111	1.0157 1.0111	1.0157 1.0111	1.0157 1.0111	1.0157 1.0111	1.0157 1.0111	1.0157 1.0111
底	Graphite 外端 安全器外端	1.0464 1.0832	1.0251 1.0251	1.0251 1.0251	1.0514 1.0883	1.0514 1.0883	1.0514 1.0883	1.0514 1.0883	1.0514 1.0883	1.0514 1.0883	1.0514 1.0883
比	の 底	mesh = 14.9 mesh = 15.1	1.0646 1.1021	1.0252 1.0252	1.0697 1.1074	1.0697 1.1074	1.0697 1.1074	1.0697 1.1074	1.0697 1.1074	1.0697 1.1074	1.0697 1.1074

(まとめ)

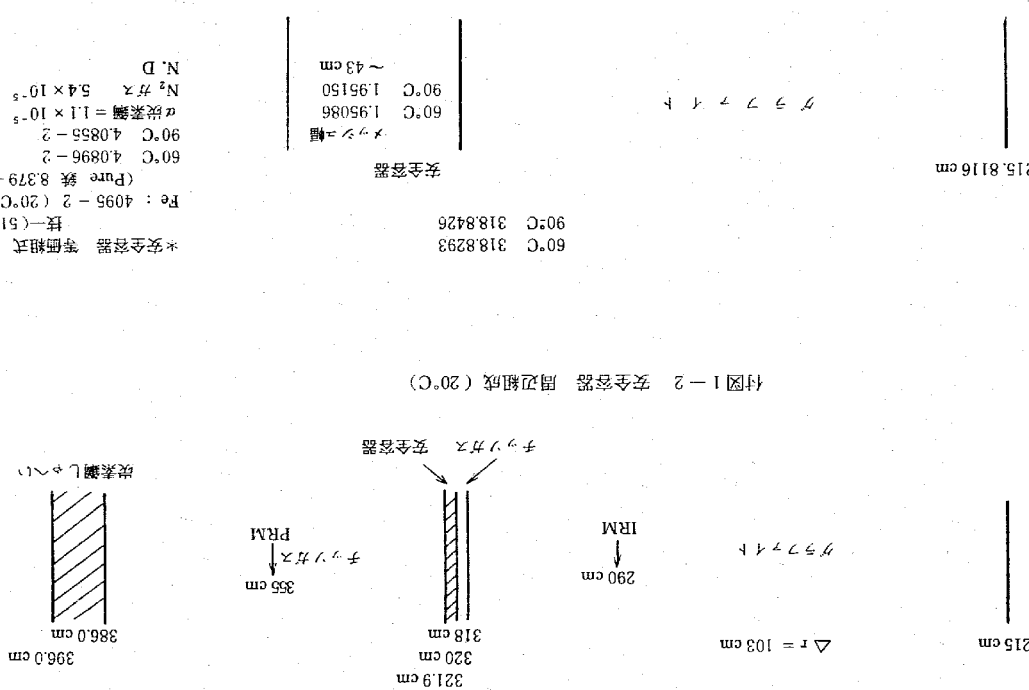
① 墓バッキングの効果はほとんどない。  
② グラフィトと安全容器の温度がともに30°C上昇した場合、安全容器外端の熱中性子束は8.32%増加する。

③ グラフィトのみの温度が30°C上昇した場合、安全容器外端の熱中性子束は2.51%増加する。

メッシュ化	200°C	250°C									
安全容器	318.8293	318.8426									
炉容器	322.7310	322.7456									
炉	148	150									
<境界>	~ 362.	~ 362.									

付図. 1-1 Graphite・安全容器温度効果解析用幾何体系

付图1-2 安全容器 固化箱成 (20°C)



付图1-3 解析用モデル

付录2 燃料集合体出口温度分布試験(NT-52)から  
求めた炉心熱出力

安全容器	90°C 318.8293
*	安全容器 等温箱成
FE : 4095 - 2 (20°C)	90°C 318.8426
其一(51) - 13.55	60°C 318.8293
(Pure 水 8379 - 2)	60°C 4.0896 - 2
90°C 4.0855 - 2	60°C 4.0896 - 2
40度素算 = $1.11 \times 10^{-5}$	90°C 1.95086
$N_2$ 分子 $5.4 \times 10^{-5}$	90°C 1.95150
$N_2$ 分子 $1.95150$	~ 43 cm

求めた炉心熱出力

**1. 目的**  
集合体炉出力温度から、各集合体の出力を求め、原子炉熱出力を算定し、PT-11 热出力校正試験による熱出力と比較する。

**2 方 法**

- (1) 各出力ステップ毎に、NT-52 燃料集合体出力温度分佈試験により、オリフィス流量計にて平均した集合体仕入 Na 温度差を求める。
- (2) ①のデータと、底出力試験時の流量計測定値から各集合体出力を求める。
- (3) 各集合体出力をSUM して、が心全体の発熱量を求める。但し、ここでは対象は軽水炉燃料と強ブランケット燃料（計257集合体）のみとし、その他の発熱部は加えていない。
- (注) 体ブランケット部外側1～3列には集合体出力温度計がないので、集合体出力をとして設計値を用いた。この部分の出力分率は、全体の約4%しかないので、誤差は少ないと考えられる。

**3 結 果**

熱出力約25・40・50MWについて、4ケースの場合を整理した。これを付表2.1～4に示す。  
まとめて、以下に表の形とする。

番号	上冷却系ヒートパラシスによる熱出力 MW	275集合体の相 当による熱出力 MW	
		偏 角	角 度
1	5.040	PT-11 热出力較 正による熱出力	5.478
2	5.00	ONLINE計算機 による熱出力	5.439
3	3.97	PT-11による熱出 力 (±0.4MW以内で 一致する)	4.280
4	2.51	PT-11による熱出 力 (±0.4MW以内で 一致する)	2.723
			1.088
			1.078
			1.085

表からわかるように、炉出力にかわらず、いずれの場合も、集合体出力の方が8～9%高い値となつた。

この原因等については、現在までのところ、不明である。  
(使用物性値)

ナトリウムエンタルピ $I$

$$I = 83.559 + 0.343253T - 6.93429 \times 10^{-6}T^2 + 3.6850 \times 10^{-8}T^4 [Kcal/kg]$$

ここで、T：温度(°C)



付表 2.2 集合体毎出力分布(2)

測定日：1978年7月7日

領域	オリフィス区分	集合体数	集合体平均出口 温度 (°C)	集合体平均流量 (kg/sec)	集合体平均出力 (MW/Ass)	(参考) 運転監視コード による集合体出力	
						位置	
炉心部	0・1列	7	468.6	7.710	0.9694	000	0.9270
	2列	12	462.2	7.386	0.8688	1A1	0.8872
	3列	12	456.9	6.882	0.7632	2A1	0.8039
	4列	24	447.8	6.252	0.6212	4A3	0.5876
	5列	15	456.0	4.830	0.5302	5A3	0.4895
径部	内側1列(5X) 除6X1)	14	424.2	1.217	0.08439	5A2	0.08077
	内側2列(6X) 除6X1)	30	418.6	0.945	0.05879	6A2	0.03104
	外側1列(7X) 加6X1)	47		0.366	*1) 0.02516		
	外側2列(8X)	48		0.366	*1) 0.01355		
	外3列(9X)	48		0.366	*1) 0.008004		
		計257	入口Na温度を 370°Cに規格化		*1) 設計出力を 換算		

ONLINE 計算機による 熱出力 50.0 MW
257 集合体の出力和 54.39 MW
rate = 1.0879

付表 2.3 集合体毎出力分布(3)

測定日：1978年6月26日

領域	オリフィス区分	集合体数	集合体平均出口 温度 (°C)	集合体平均流量 (kg/sec)	集合体平均出力 (MW/Ass)	(参考) 運転監視コード による集合体出力	
						位置	
炉心部	0・1列	7	447.0	7.710	0.7582	000	0.7360
	2列	12	442.3	7.386	0.6823	1A1	0.7044
	3列	12	437.9	6.882	0.5972	2A1	0.5491
	4列	24	431.4	6.252	0.4909	4A3	0.4666
	5列	15	437.5	4.830	0.4167	5A3	0.3887
径部	内側1列(5X)	14	412.9	1.217	0.06686	5A2	0.06413
	内側2列(6X) 除6X1)	30	408.8	0.945	0.04697	6A2	0.02465
	外側1列(7X) 加6X1)	47		0.366	*1) 0.01998		
	外側2列(8X)	48		0.366	*1) 0.01076		
	外側3列(9X)	48		0.366	*1) 0.006355		
		計257	入口Na温度を 370°Cに規格化		*1) 設計出力を 換算		

ONLINE 計算機による 熱出力 39.7 MW
257 集合体の出力和 42.80 MW
rate = 1.0781

附表2.4 累合体每出力分布(4)

付録3 計装に及ぼす影響  
貯蔵ラック内燃料の中性子

### 1. まえがき

炉内炉槽ラックに炉心燃料を挿入する事により、検出器位置の中性子束が増加する事が、性能試験及び解析の両方から確認されている。

山力上昇試験期間中は、ラック配設の変更がなかったため、この問題は、熱山力較正試験に起きた事なかつたが、今後、定格運転に入れば、燃料交換によるラック配設の変動が每サイクルあると考えられ、熱山力較正値に変動を与える要因となる。

本章は、炉内炉槽ラック効果の試験及び解析結果をまとめ、今後の熱山力較正の見通しをたてる一助とする事を目的とする。

### 2. 性能試験結果

1977年8月23日に、「常陽」低出力性能試験NT-31燃料等価反応度試験の一環として、貯蔵ラック内にある炉心燃料集合体が中性子検出系の計数率に及ぼす効果を測定するための試験が実施された。

試験は、貯蔵ラック内にある炉心燃料集合体1体を、ラック位置を変えてパラメトリックに移動させ、中性子検出系(ch.1, ch.2, ch.A, ch.B)で、中性子の計測を行ない、計数率の割分を求める方法で行なわれた。

試験時の炉心状態の概要を記す。

- ① 70体初期炉心(中性子源位置5C2)
- ② 制御棒は6体全挿入の未臨界状態
- ③ ラック位置
  - R-15に炉心燃料(PPJF3D) 1体固定
  - 炉心燃料(PPJD0N) 1体をパラメトリックに移動
- R-21 → R30, R1 → R6まで

付図3.1に炉心と検出器の配置を示す。

試験結果を付図3.2.1～2、付表3.1.1～2に示す。

炉心中心と検出器を結ぶ線上のラックに炉心燃料集合体1体が装荷された場合、検出器の計数率は、  
 $chA \cdot chB$  で 15～20 %,  $ch.1 \cdot ch2$  で 25 %  
 増加する。

### 3. 解析結果

試験に対応する体系で、1次元及び2次元の並置計算により、貯蔵ラック効果を求め、試験結果と比較した。

結果として、炉心燃料1体のラック効果最大値が試験で約25 %であるのに対して、計算では、

約 18 %となつた。また、計算では等価として対称性があるように評価されたラック効果が、測定では、対称性がやゝなくなつてゐる。特に R-3～R-5においてラック効果が大きくなつてゐる。

以下に、解析の詳細について記す。

### 3.1 計算条件

#### i) 群定数

NNS-5セット（燃熱定数はBNL 325）

エネルギー組分けは ABBN構造で 1～9/10～17/18～24/25 の 4群であり、4群目が熱定数である。

#### ii) 使用コード

JBA所有の湯湯が心設計用コードである下記のコードを使用した。

#### • EXPANDA-S

～外部中性子源を含む保系での離約定数作成

#### • ANTELOPE-B

～外部中性子源を含む体系に対する 2 次元拡散コード

#### • PANDA (EXPANDA 相当)

～1次元 25 群拡散コード。EXPANDA-S との比較を行う。

#### iii) 中性子源の条件

中性子発生数  $1.2 \times 10^{10}$  ヨ/sec

～7 級強度 5000 Curi 相当。ただし、自発核分裂に対して充分大きな数値であれば結果に影響しない。

装荷場所 5C 2 (ただし、1次元計算では、炉心領域のすぐ外側に円環状にまいている)

#### iv) 体系温度

燃料等価反応度試験の解析体系（縮約体系も）は 250°C である。

### 3.2 計算対象炉心

#### 70 本炉心制御棒全挿入体系

燃料等価反応度試験の解析であり、付図 3.3 に示す範囲でラック内の燃料 (PPJ DON) を移動し、ch1, ch2, chA, chB での計較変化を測定したものの評価を行う。

計算は 2 次元 X-Y 計算であり、計算上のラック効果はラック内燃料 30 本全挿入の状態について求める。

### 3.3 測定値のまとめ

付表 3.3 が燃料等価反応度試験として実施した 70 本炉心制御棒全挿入体系の 2 次元 X-Y および 1 次元の計算結果について示す。

### 3.4 計算値のまとめ

付表 3.3 に燃料等価反応度試験の解析として実施した 70 本炉心制御棒全挿入体系の 2 次元 X-Y および 1 次元の計算結果について示す。

### 3.5 計算値の評価と処理

計算上のラック効果はすべて、ラック内燃料 30 本全挿入の場合について求められている。  
ラック内燃料 30 本全挿入時の計算結果に基づいて、測定結果を評価するために、以下に示す手法を採用する。即ち、炉心中心とラック位置、検出器のなす角度をパラメータにして単体としてのラック効果の相対分布を計算であらかじめ求めておき、30 本全挿入時の値に絶対値を規格化することによって任意のラックパターンに対応するラック効果を重ね合せを仮定して定める方法である。

単体としてのラック効果の相対分布は、付図 3.4 に示すように 8 次の多项式として整理されているものを採用する。

ラック内燃料 30 本全挿入の場合のラック効果の絶対値は、付表 3.3 の結果に基づき、群数効果やラック内のボットの存在等の形狀の非均質効果を考慮して最確値を定める。その結果を下表に示す。

床型計算条件	床 値	補 正 項	標 準 値
1 次元 25 群 N-S 有	2.35	非比值 0.93 2 次元へ 0.95	2.08

群数効果が比較的大きい事と、同一モデルの計算値を基準として選定する事が望ましいと考えられる事から、1 次元 25 群で外部中性子源を含む体系での結果を基準とし、非均質効果と 2 次元モデルへの補正を行って標準値を定めた。

### 3.6 測定値と計算値の比較・検討

付図 3.5.1 ～ 4 に ch1 ～ chB を対象とした測定値と計算値の比較を、又付表 3.4 に同じく代表点を対象にした値を示す。主要な特徴は以下の通りである。

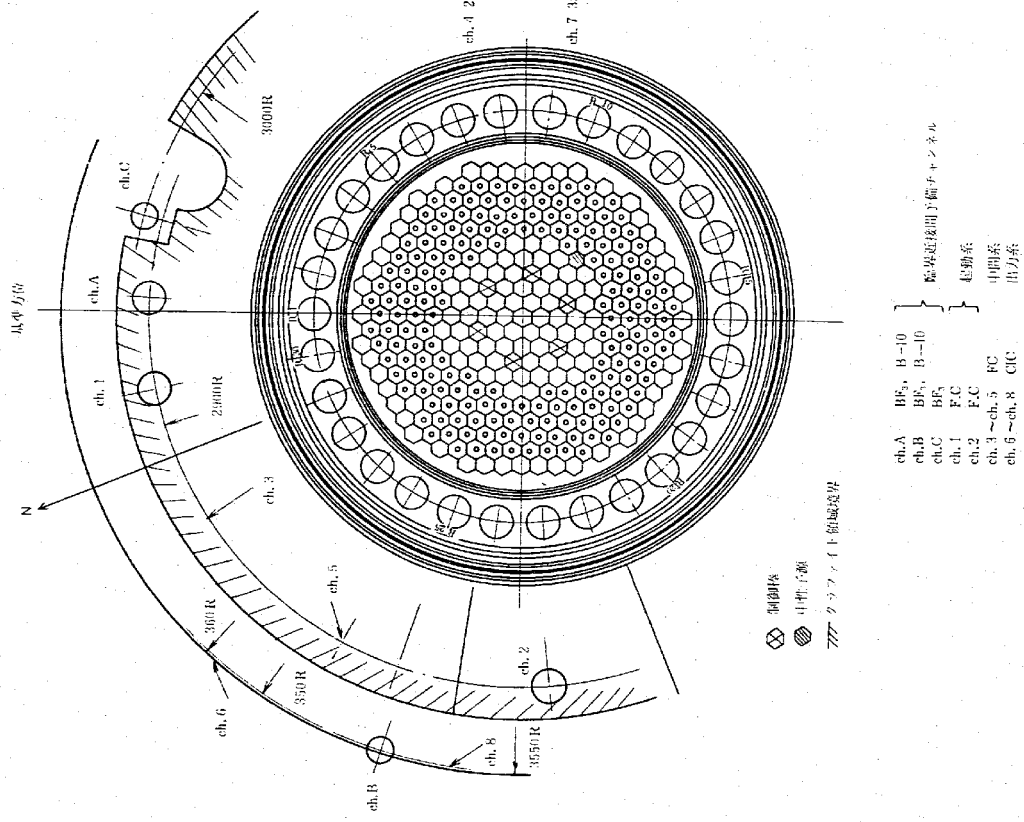
- ① 一般的に計算値は、測定値を過小評価している。特にラック効果の大きい位置 (炉心中心と検出器をつなぐ直線上近傍に位置するラック) においては  $(n_1 - n_0)/n_0$  について ~40%

$n_1/n_0$ について~6%の過小評価である。

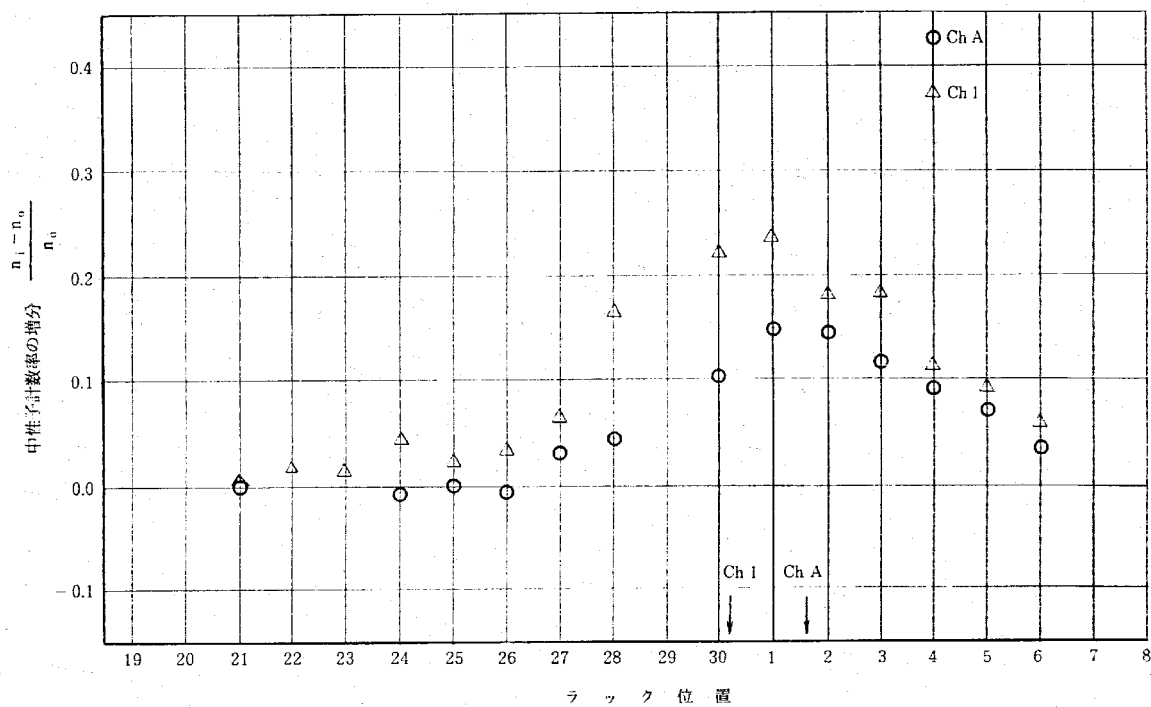
この原因として、計算値は30体全挿入時の干涉効果を含んだ値が再現出来るように規格化されており、少數本挿入時には本質的に誤差（過小評価の傾向を有する）が大きくなる方法であること、少數本挿入時のラック近傍のスペクトル変化が未評価であること等、が考えられる。

- ② 測定値には計算値にみられるラック効果に際しての対称性があまりみられず、ラック滑行の小さい方がラック効果が大きい。たとえば、付図3.5.1のch1についていえば計算上は、R26とR4のラック効果はほぼ同じ（炉心中心、検出器との位置関係において対象であり、ほぼ等価である）と評価されているが測定上はR4のラック効果がR26に比べて大きい。この傾向は、付図3.5.1～4のすべてにわたるが原因はつきりしない。中性子源と位置関係やグラファイト層の厚さ、形状の変化（特にラック3～5の外側はNa配管等によってグラファイトの構造がかなり異なる）が原因の1つと考えられるが、確認出来ていない。

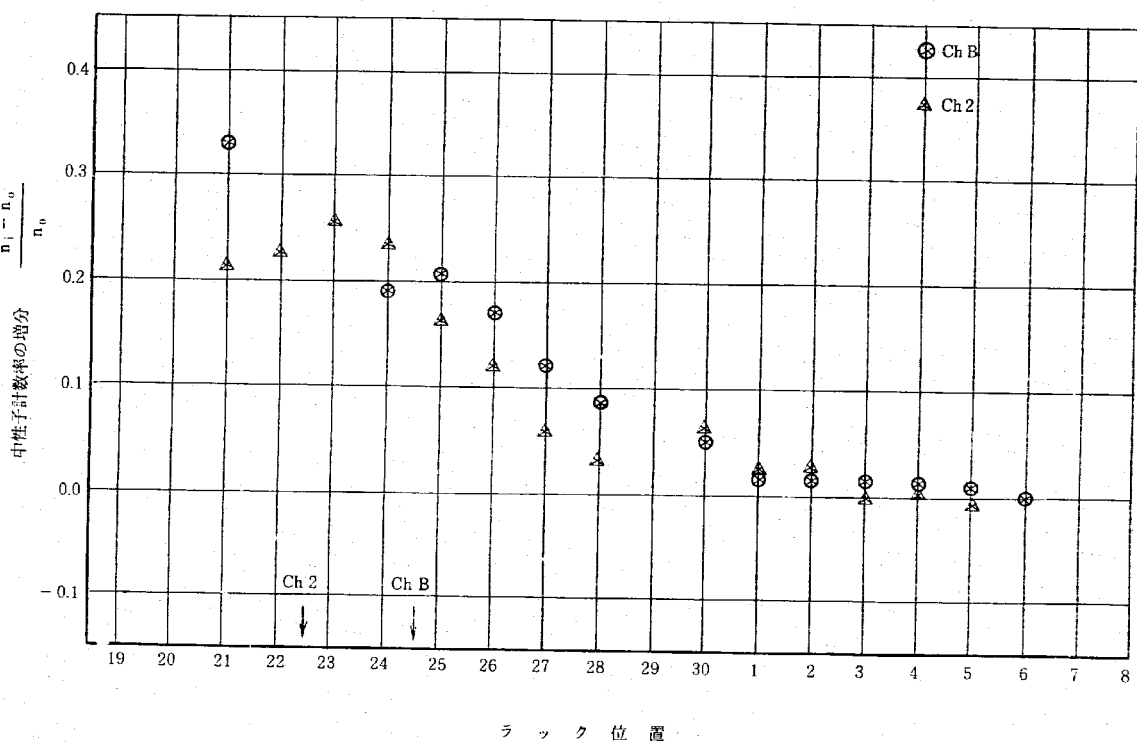
- ③ chAでは、計算値の方が測定値よりラック効果が大きく、測定値は他のch1やch2にくらべて小さめである。この原因として、ch Aの検出器が他のチャンネルと異なり、炉心中心面から80cm上方である事が考えられるが確認されていない。



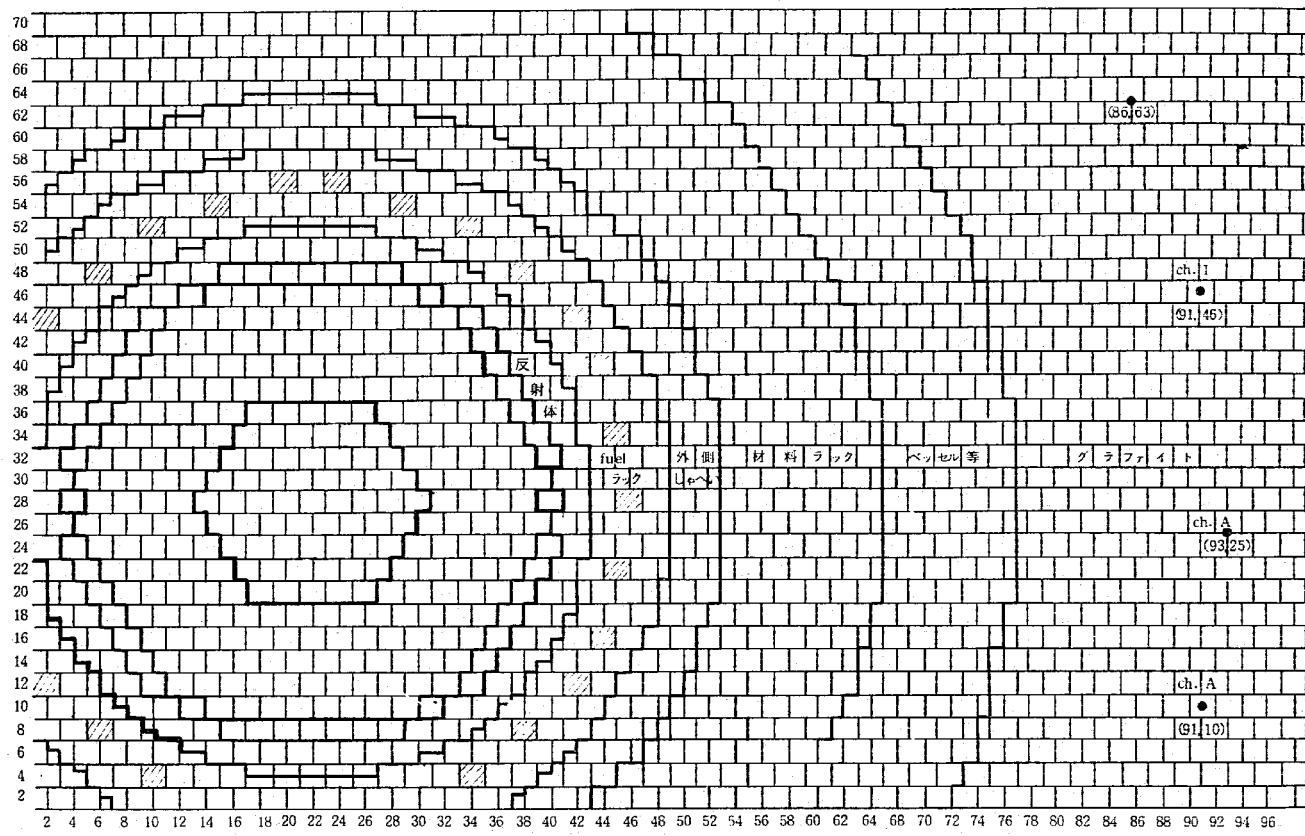
付図3-1 「常陽」低出力性能試験時 炉心・検出器配置図



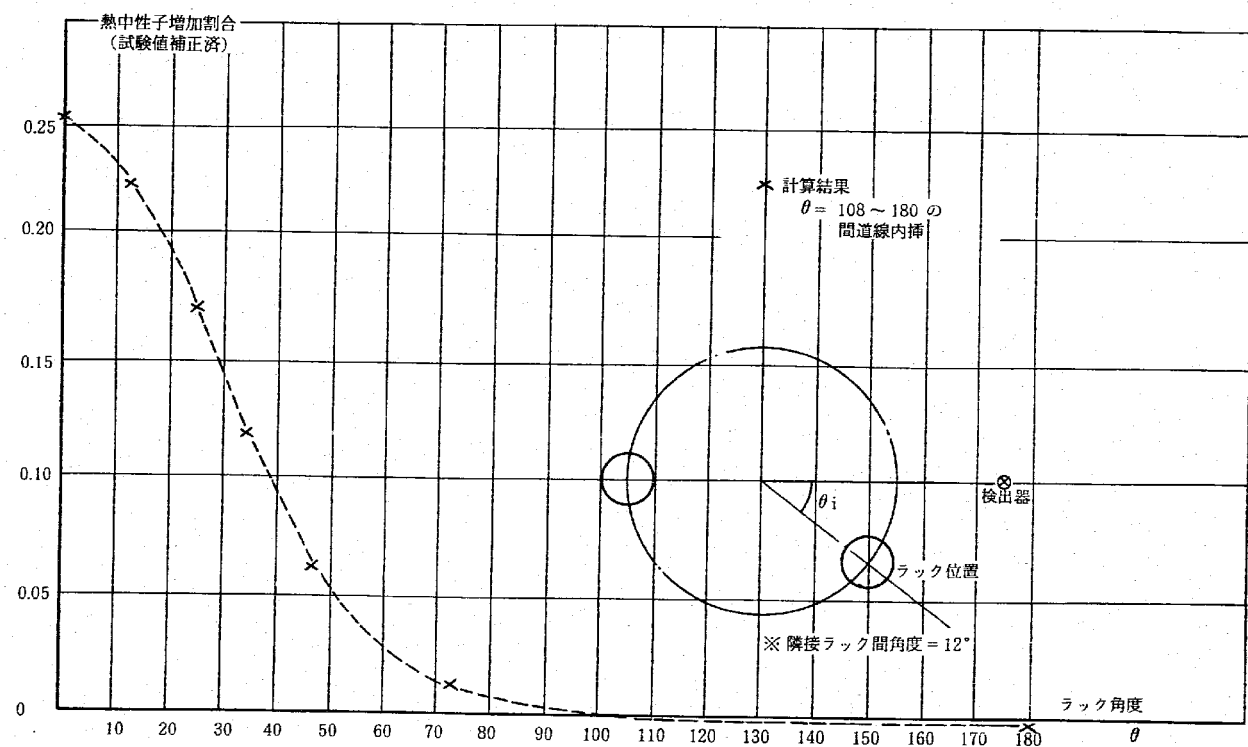
付図3-2-1 ラック内燃料装荷による中性子計数率の増分(試験結果)  
(Ch A, Ch 1)



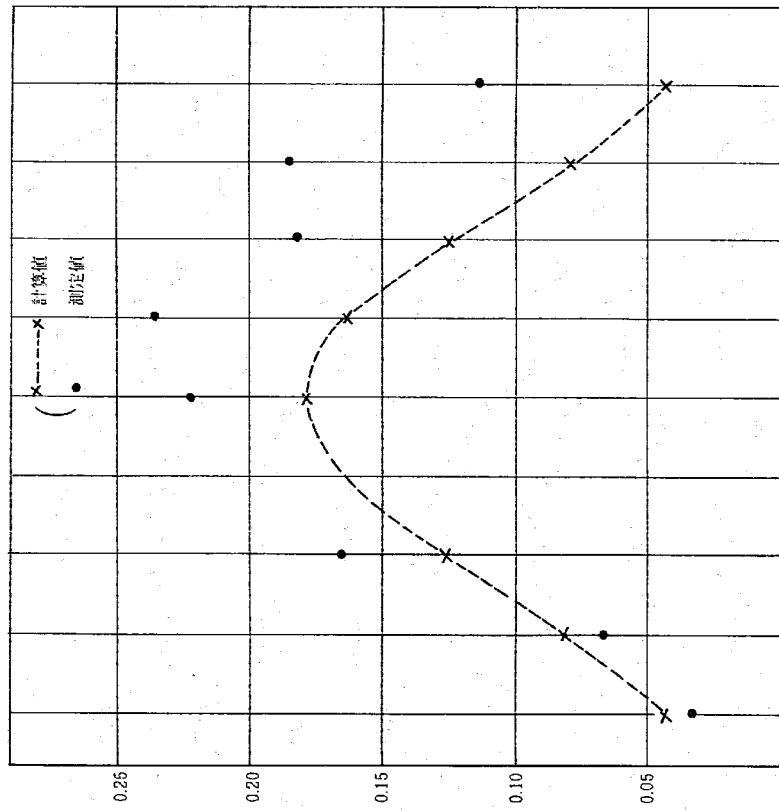
付図3-2-2 ラック内燃料装荷による中性子計数率の増分(試験結果)  
(Ch B, Ch 2)



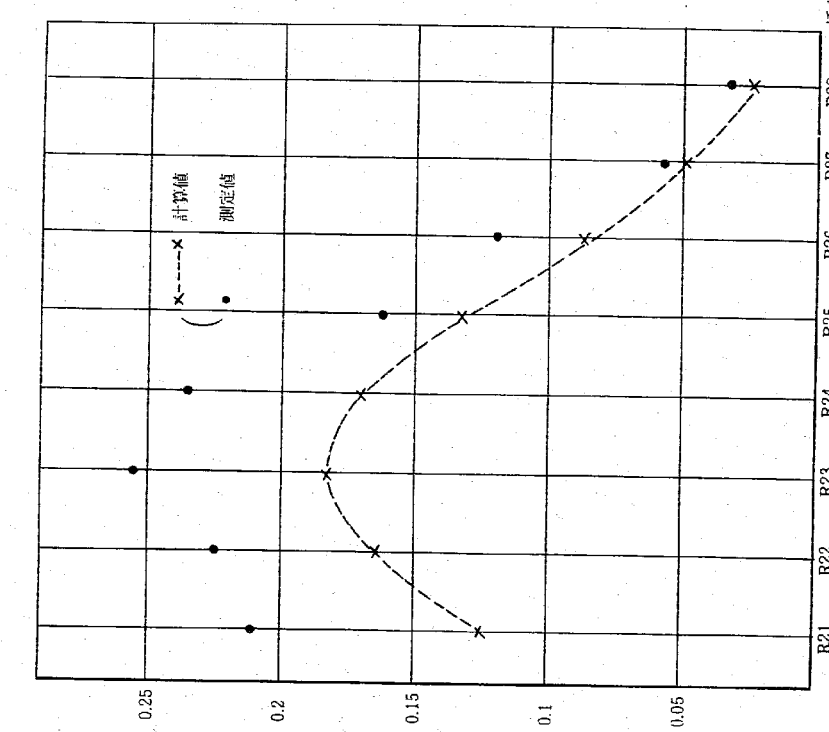
付図3-3 計算体系



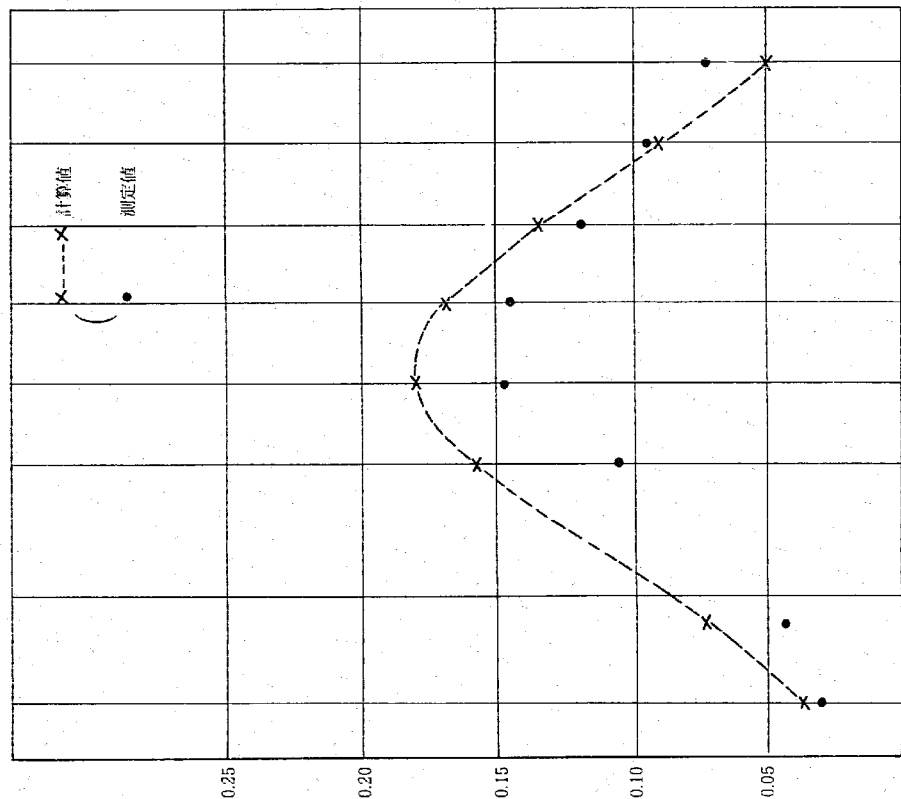
付図3-4 燃料挿入の貯蔵ラック位置と熱中性子増加率



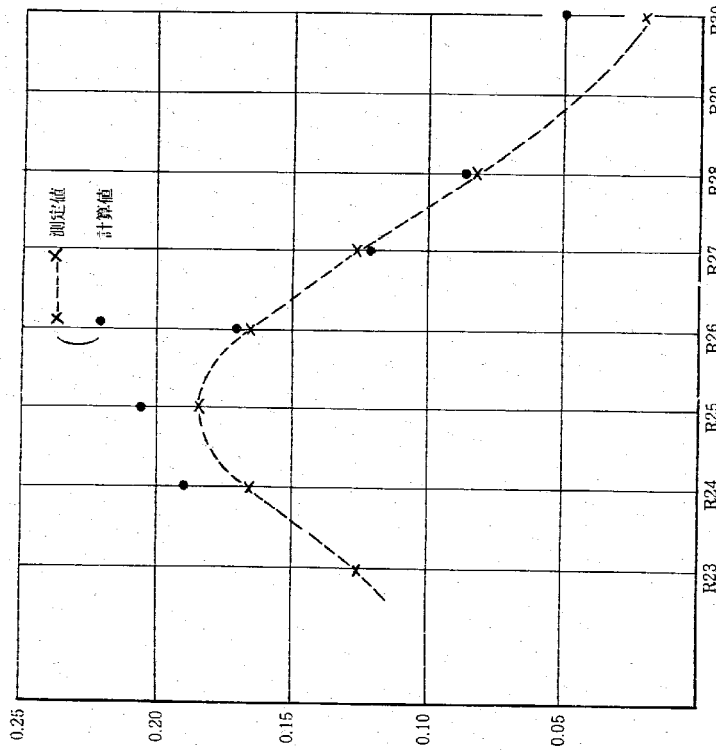
付図3-5-1 Ch 1 ラック効果の測定値と計算値の比較



付図3-5-2 Ch 2 ラック効果の測定値と計算値の比較



付図 3-5-3 Ch A ラック効果の測定値と計算値の比較



付図 3-5-4 Ch B ラック効果の測定値と計算値の比較

付表3.1.1 ラック内燃料装荷による中性子計数率の増分(1)

1977年8月23日測定

項目	Ch A		Ch B		Ch 1		Ch 2	
	$n_i$ cpm	$(n_i - n_o) / n_o$	$n_i$ cpm	$(n_i - n_o) / n_o$	$n_i$ cpm	$(n_i - n_o) / n_o$	$n_i$ cpm	$(n_i - n_o) / n_o$
基準係数 $n_o$	1280 (R-21)		1609 (R-6)		212 (R-21)		161 (R-6)	
II-04 SV R-22→R-19 1. PPJDON ② R-11→R-21 } 移動								
1. PPJDON ② R-21→R-22	1280	0.000	2139	0.329	212	0.000	175	0.211
2. PPJDON ② R-22→R-23	*	*	*		216	0.019	197	0.224
3. PPJDON ② R-23→R-24	*	*	*		215	0.014	202	0.255
NFJIOB ② R-24→R-22 4. PPJDON ② R-23→R-24								
5. PPJDON ② R-24→R-25	1272	-0.006	1914	0.190	222	0.047	199	0.236
NFJIOL ② R-25→R-23 6. PPJDON ② R-24→R-25								
6. PPJDON ② R-25→R-26	1283	0.002	1941	0.206	217	0.024	187	0.161
NFJIOC ② R-26→R-24 7. PPJDON ② R-25→R-26								
7. PPJDON ② R-26→R-27	1276	-0.003	1882	0.170	219	0.033	180	0.118
NFJIOW ② R-27→R-25 8. PPJDON ② R-26→R-27								
8. PPJDON ② R-27→R-28	1319	0.030	1804	0.121	226	0.056	170	0.056

\*ノイズにより計測出来ず。

付表3.1.2 ラック内燃料装荷による中性子計数率の増分(2)

1977年8月23日測定

	Ch A		Ch B		Ch 1		Ch 2	
	$n_i$ cpm	$(n_i - n_o) / n_o$	$n_i$ cpm	$(n_i - n_o) / n_o$	$n_i$ cpm	$(n_i - n_o) / n_i$	$n_i$ cpm	$(n_i - n_o) / n_o$
NFJIO7 8. ② R-28→R-26 PPJDON ② R-27→R-28								
8. PPJDON ② R-27→R-28	1336	0.044	1748	0.086	247	0.165	166	0.031
NFJIOY 9. ② R-30→R-28 PPJDON ② R-28→R-30								
9. PPJDON ② R-28→R-30	1415	0.105	1689	0.050	259	0.222	171	0.062
NFJIOO 10. ② R-1 → R-28 PPJDON ② R-30→R-1								
10. PPJDON ② R-30→R-1	1470	0.148	1635	0.016	262	0.236	164	0.019
II-01 11. SV R-2 → R-30 PPJDON ② R-1 → R-2								
11. PPJDON ② R-1 → R-2	1466	0.145	1635	0.016	251	0.184	165	0.025
II-02 12. PPJDON ② R-2 → R-3								
12. PPJDON ② R-2 → R-3	1432	0.119	1632	0.014	251	0.184	161	0.000
II-03 13. PPJDON ② R-3 → R-4								
13. PPJDON ② R-3 → R-4	1400	0.094	1630	0.013	236	0.113	162	0.006
II-04 14. PPJDON ② R-4 → R-5								
14. PPJDON ② R-4 → R-5	1372	0.072	1622	0.008	232	0.094	159	-0.002
II-05 15. PPJDON ② R-5 → R-6								
15. PPJDON ② R-5 → R-6	1325	0.035	1609	0.000	225	0.061	161	0.000

付表3.2 70本炉心におけるラック効果測定値のまとめ  
(燃料等価反応度試験)

PPJF3D 炉 測	PPJDON 炉 測	Ch 2	Ch B	Ch 1	Ch A
ラック	0.211	0.329	0.	0.	
22	0.224	—	0.019	—	
23	0.255	—	0.014	—	
24	0.236	0.190	0.047	-0.006	
25	0.161	0.206	0.024	0.002	
26	0.118	0.170	0.033	-0.003	
27	0.056	0.121	0.066	0.030	
28	0.031	0.086	0.165	0.044	
30	0.062	0.050	0.222	0.105	
1	0.019	0.016	0.236	0.148	
2	0.025	0.016	0.184	0.145	
3	0.	0.014	0.184	0.119	
4	0.006	0.013	0.113	0.094	
5	-0.002	0.008	0.094	0.072	
6	0.	0.	0.061	0.035	

注 ラック効果定義  
 $(n_1 - n_0) / n_0$   
 $n_0$  は ch A, ch 1 について R2,  
ch B, ch 2 について R6

付表3.3 70本初期炉心でのラック効果解析(燃料等価反応度試験)

炉心状態等	格子点	ラック内空	30本燃料棒入 <sup>*1</sup>	ラック効果
70本炉心 補助棒6体全插入	91, 10	308.7	64.22	2.08
N, S SC2	93, 25	427.8	898.8	2.10
2次元X-Y計算	93, 28	441.2	928.8	2.11
	91, 46	488.8	1041	2.13
	86, 63	326.6	698.3	2.14
同 上	123	606.3	1425	2.35
一次元計算				

\*1) 計算モデル上は  
ラック内燃料は21体分しか扱われていない。

付表3.4 測定値と計算値の比較(代表点)  
(70本炉心燃料等価反応度試験)

固 定 ラック	移 動 ラック	チャネル	測定値	計算値
15	1	2	1.019	1.003
		A	1.148	1.179
		B	1.016	1.008
			1	1.184
15	3	2	1.0	1.000
		A	1.119	1.134
		B	1.014	1.000
			1	1.094
15	5	2	~1.0	~1.0
		A	1.072	1.050
		B	~1.0	~1.0
			1	1.024
15	25	2	1.161	1.133
		A	1.002	1.006
		B	1.206	1.180
			1	1.066
15	27	2	1.056	1.049
		A	1.030	1.039
		B	1.121	1.127

付録4 H-350計算機による流量平均化プログラム

### 1. プログラムの概要

出力上昇試験の熱出力校正、定常伝熱特性に於てナトリウム流量信号をH-350に入力し、入力電圧と流量との関係式より平均化された流量を印字出力する。

### 2. 対象とする流量信号

- ① 1次主冷却系A, B ループ  
計算機入力電圧 1～5 V (0～1400 m<sup>3</sup>/h)
- ② 2次主冷却系A, B ループ  
計算機入力電圧 0.25～1.25 V (0～1600 m<sup>3</sup>/h)
- ③ 1次補助冷却系  
計算機入力電圧 10～50mV (-30～80m<sup>3</sup>/h)
- ④ 2次補助冷却系  
計算機入力電圧 0.25～1.25 V (0～80m<sup>3</sup>/h)
- ⑤ 1次オーバーフロー系  
計算機入力電圧 10～50mV (0～15m<sup>3</sup>/h)

### 3. 信号線接続要領

表1のケーブル接続要領によりH-500とH-350間のケーブル配線を行なう。

表1. 流量信号ケーブル接続要領

信号名	H-500 端子番号	H-350 端子番号	備考
① 1次冷却材流量 (A)	7 JX1A3 7 JX1A4	3 KX1B13 3 KX1B14	ノットアンドス
② " (B)	7 JX1A5 7 JX1A6	3 KX1B15 3 KX1B16	" /00F
③ 2次冷却材流量 (A)	7 JX6B3	3 KX2A13	" /016
④ " (B)	7 JX6B4 7 JX6B5 7 JX6B6	3 KX2A14 3 KX2A15 3 KX2A16	" /017
⑤ 1次補助系流量	7 LX1A11 7 LX1A12	3 KX3A13 3 KX3A14	" /026
⑥ 2次補助系流量	7 JX6B11 7 JX6B12	3 KX3A15 3 KX3A16	" /027
⑦ オーバーフロー上流量	7 LX1A9 7 LX1B01	3 KX3B01 3 KX3B02	" /028

①～⑤についてはケーブル配線略み

⑥～⑦はCO-SPEV-SBのケーブルにより配線要  
(H-350端子番号はしない)

## 4. プログラム構成

## 4.1 流量の平均化処理プログラム

7種類の流量信号をA/D変換し、指定時間の平均値をASRに印字する。入力電圧も同時に印字する。

## 4.2 Na 物性値の計算プログラム

Na温度をASRより入力し、Naの比重  $\gamma$ 、Naのエンタルビ  $H$ を計算し出力する。

なお、Naの比重  $\gamma$ およびエンタルビ  $H$ は下記の式により演算する。

$$\gamma = 950.01 - 0.229774T - 1.46065 \times 10^{-4}T^2 + 5.63796 \times 10^{-8}T^3 \quad (\text{kg/m}^3)$$

$$H = 83.559 + 0.343253T - 6.93429 \times 10^{-6}T^2 + 3.6850 \times 10^{-8}T^3 \quad (\text{Kcal/kg})$$

計算機入力電圧より流量への換算式

$$\begin{cases} A \text{ループ} & Q_{1A} = 369.107V - 427.434 \quad (V = 1 \sim 5V) \\ B \text{ループ} & Q_{1B} = 373.968V - 453.558 \quad (V = 1 \sim 5V) \end{cases}$$

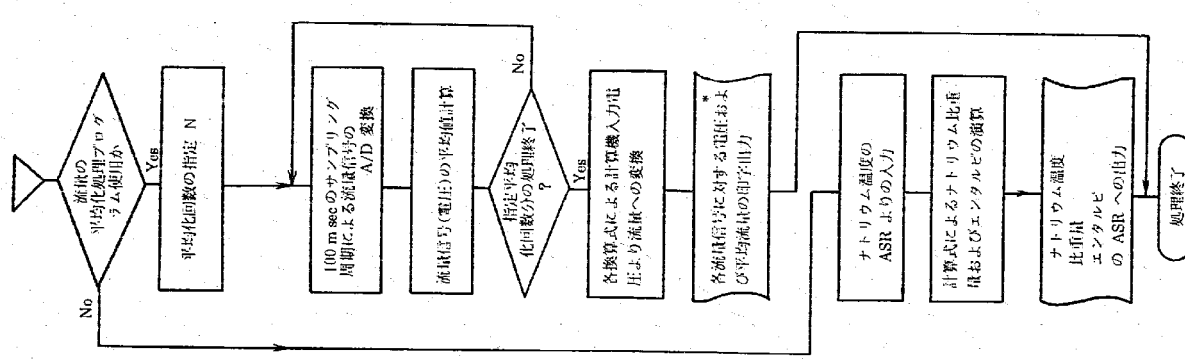
$$\begin{cases} A \text{ループ} & Q_{2A} = 1632.65V - 435.376 \quad (V = 0.25 \sim 1.25V) \\ B \text{ループ} & Q_{2B} = 1610.74V - 399.997 \quad (V = 0.25 \sim 1.25V) \end{cases}$$

$$\begin{cases} 1 \text{次主冷却系} & V \geq 21.24mV \quad Q_{1AUX} = 2787.5V - 59.207 \quad (V = 0.02124 \sim 0.05V) \\ & V < 21.24mV \quad Q_{2AUX} = 2631.5V - 55.394 \quad (V = 0.01 \sim 0.0124V) \end{cases}$$

$$Q_{2AUX} = 75.099V - 1824.9 \quad (V = 0.25 \sim 1.25V)$$

$$Q_{1OV} = 375.6V - 375.6 \quad (V = 0.01 \sim 0.05V)$$

1次オーバフロ系



## 5. プログラム General Flow Chart (GFC)

## ※用印形式案

## ① 流量平均処理の場合

NA MEAN FLOW OR GAMMA (KEY IN F OR G) : EK  
 NUMEPR OF AVERAGING TIMES : 100

TIME : START 77 05 16 17 : 18 : 45  
 END 77 05 16 17 : 19 : 45

FMF POSITION	VOLTAGE(V)	NA FLOW RATE (M * 3/H)
MAIN PRI. A LOOP	4.836	1246.5
B LOOP	4.813	1228.1
MAIN SEC A LOOP	1.216	1285.4
B LOOP	1.203	1263.8
AUX. PRI.	0.04785	60.38
AUX. SEC.	1.233	61.25
O/F PRI.	0.04831	12.53

はASRIによるキーイン

↓ : スペース

(入力データを間違えた場合は#をキーインする)

## ② 比重およびenthalpyの計算処理の場合

NA MEAN FLOW OR GAMMA (KEY IN F OR G) : GB  
 NA TEMP. (GEG) SPECIFIC WEIGHT (KG/M \* 3) ENTHALPY (KCAL/KG)

1.0786

3590

867.5

206.3

196.8

↓ : 印はキーインデータ

↓ : スペース

(RETURN) : リターンキー